

Читайте
в следующих номерах

- Ремонт блоков питания импортной аппаратуры
- Аппарат для магнитотерапии МС-92М
- Спутниковый пейджинг и пейджинг через спутник

Радиоаматор

№11 (85) ноябрь 2000

Ежемесячный научно-популярный журнал
Совместное издание
с Научно-техническим обществом радиотехники,
электроники и связи Украины
Зарегистрирован Государственным Комитетом
Украины по печати

Регистрационный КВ, № 507, 17.03.94 г.

Учредитель - МП «СЭА» 
Издается с января 1993 г.

Главный редактор: Г.А.Ульченко, к.т.н.
Редакционная коллегия: (redactor@sea.com.ua)

В.Г.Абакумов, д-р т.н.

З.В.Божко (зам. гл. редактора)

В.Г.Бондаренко, проф.

С.Г.Бунин, д-р т.н.

А.В.Выходец, проф.

В.Л.Женжера

А.П.Живков, к.т.н.

Н.В.Михеев (ред. "Аудио-Видео")

О.Н.Партала, к.т.н. (ред."Электроника и компьютер")

А.А.Перевертайло (ред. "КВ+УКВ", UT4UM)

Э.А.Салахов

А.Ю.Саулов

Е.Т.Скорик, д-р т.н.

Ю.А.Соловьев

В.К.Стеклов, д-р т.н.

П.Н.Федоров, к.т.н. (ред. "Связь", "СКТВ")

Компьютерный набор и верстка
издательства "Радиоаматор"

Компьютерный

дизайн: А.И.Поночовный (san@sea.com.ua)

Технический

директор: Т.П.Соколова, тел.271-96-49

Редактор: Н.М.Корнильева

Отдел рекламы: С.В.Латыш, тел.276-11-26,
E-mail: latf@sea.com.ua

Коммерческий

директор (отдел
подписки и
реализации): В. В. Моторный, тел.276-11-26

E-mail: redactor@sea.com.ua

Платежные

реквизиты: получатель ДП-издательство
"Радиоаматор", код 22890000, р/с 26000301361393
в Зализнычном отд. Укрпроминвестбанка г. Киева,
МФО 322153

Адрес редакции: Украина, Киев,
ул. Соломенская, 3, к. 803

для писем: а/я 807, 03110, Киев-110

тел. (044) 271-41-71

факс (044) 276-11-26

E-mail: ra@sea.com.ua

http:// www.sea.com.ua

Подписано к печати 01.11.2000 г. **Формат**
60x84/8. **Печать** офсетная **Бумага** для офсетной
печати **Зак.** 0146011 **Тираж** 6300 экз.

Отпечатано с компьютерного набора на комбинированной печати издательства «Преса Украины», 252047, Киев - 047, пр. Победы, 50

© Издательство «Радиоаматор», 2000
При перепечатке материалов ссылка на «Радиоаматор»
обязательна.
За содержание рекламы и объявлений редакция ответственности несет.
Ответственность за содержание статьи, правильность выбора и обоснованность технических решений несет автор.
Для получения совета редакции по интересующему вопросу вкладывайте оплаченный конверт с обратным адресом.

Журнал отпечатан на бумаге фирмы "Спектр"
тел. (044) 446-23-77

Подпишись на 2001 год!

СОДЕРЖАНИЕ

аудио-видео



3 Возможные замены комплектующих при ремонте телевизоров	Ю.Бородатый
3 Ремонт телевизоров ОРИОН и СЛАВУТИЧ	Н.П.Власюк
4 Компакт-диски и устройства для их проигрывания	А.Ю.Саулов
6 ЭМИ для аккомпанемента	В.В.Банников
8 Трехполосный УМЗЧ	А.Г.Зыюк
11 Удвоим количество каналов	Н.П.Горейко
11 Реанимация ламповых "ветеранов"	С.А.Елкин
12 Домашнее кино по-киевски. Новый цветной телевизор ЕМКА 28-ТК	С.С.Карнаушенко, М.В.Бурляй
14 Читатель советует	Ю.Бородатый
15 Усовершенствование цветных телевизоров 3-го – 5-го поколений. Улучшение качества изображения. Модуль цветности МЦ-107	М.Г.Лисица, Л.П.Пашкевич, В.А.Рубаник, Д.А.Кравченко
18 Видеокамера – своими руками	С.В.Кучеренко

ЭЛЕКТРОНИКА И КОМПЬЮТЕР



19 "Бегущие огни"	М.Л.Каширец
20 Секционная светодиодная гирлянда	Ю.П.Сарака
21 Пробник прохождения сигнала	О.В.Тимошенко
22 Ялинкові прикраси	А.Є.Риштун
23 Три варианта світломузики	А.Є.Риштун
24 Автомат световых эффектов	Г.К.Крупецких
26 Необходимая информация о струйных принтерах (подключение, техническое обслуживание и настройка драйверов)	А.А.Белуха
28 Типы динамической памяти компьютера	С.Петерчук, В.Власюк
30 Ремонт тестера	А.Є.Риштун
31 Микросхемы усилителей звуковой частоты фирмы National Semiconductor	
32 В блокнот схемотехника. Принципиальная схема цветного телевизора ЕМКА 28-ТК	
35 Дайджест	
38 Читайте в "Конструкторе" N9-10/2000. Читайте в "Электрике" N10/2000	
39 Цифровые мультиметры	

РАДИОШКОЛА



40 Прилад для іонізації води	Б.Працюк
40 Радіоаматорські приймачі	А.Є.Риштун
41 Беседы об электронике. Оборудование рабочего места	А.Ф.Бубнов
42 Основы микропроцессорной техники	О.Н.Партала

БЮЛЛЕТЕНЬ ЛРУ № 3



44 Любительская связь и радиоспорт	А.Перевертайло
47 Применение генератора качающейся частоты для налаживания любительской SSB радиостанции начальной категории в диапазоне 1,8 МГц	С.А.Елкин
49 Простой реверсивный усилитель трансивера с разным усиливанием в режимах приема и передачи	В.А.Артеменко
49 Реплика	

СВЯЗЬ



50 Сетевой адаптер со стабилизированным выходом для питания аппаратуры связи	Р.Н.Балинский
52 Стандарт APCO25: основные положения	А.Ю.Пивовар
53 Простой радиомикрофон	В.В.Коновал
54 Немного о Maycom EM-27: доработка модулятора и не только	С.А.Цапко
55 Двуликий Янус – новая ALINCO DR-135T	
58 Новое в технике связи	
58 Новинки на рынке профессиональных радиостанций	
59 Спутниковый Интернет у Вас дома	

СКТВ



59 Самодельное реле для коммутации антенных входов при приеме программ со спутников	Н.Черняев
60 Влияние кабельных выравнивателей на АЧХ магистральных сетей КТВ	Г.И.Постников, В.П.Шемчак

НОВОСТИ, ИНФОРМАЦИЯ, КОММЕНТАРИИ



56 Визитные карточки	
61 Радиовещанию – 80 лет	
62 3-я международная выставка электронных компонентов и комплектующих "Мир электроники – 2000"	А.Л.Кульский
62 Перелік радіоелектронних засобів, для придбання та використання яких не потрібні дозволи	
62 Абрам Федорович Иофе	Л.Подопригора
63 Книжное обозрение	
64 Книга-почтой	

6 ЭМИ для аккомпанемента	32 В блокнот схемотехника. Принципиальная схема цветного телевизора ЕМКА 28-ТК
8 Трехполосный усилитель	35 Дайджест
11 Удвоим количество каналов	40 Прилад для іонізації води
12 Домашнее кино по-киевски	47 Применение генератора качающейся частоты для налаживания любительской SSB-радиостанции начальной категории в диапазоне 1,8 МГц
15 Усовершенствование цветных телевизоров 3-го – 5-го поколений. Улучшение качества изображения. Модуль цветности МЦ-107	49 Простой реверсивный усилитель трансивера с разным усиливанием в режимах приема и передачи
18 Автомат световых эффектов	50 Сетевой адаптер со стабилизированным выходом для питания аппаратуры связи
20 Секционная светодиодная гирлянда	53 Простой радиомикрофон
21 Пробник прохождения сигнала	54 Немного о Maycom EM-27: доработка модулятора и не только
22 Ялинкові прикраси	60 Влияние кабельных выравнивателей на АЧХ магистральных сетей КТВ
23 Три варианта світломузики	
24 "Бегущие огни"	
30 Ремонт тестера	
31 Микросхемы усилителей звуковой частоты фирмы National Semiconductor	

СХЕМОТЕХНИКА В НОМЕРЕ



Уважаемый читатель!

Просматривая журналы "Радиоаматор" прежних лет, я взглянул на него глазами не редактора, но читателя - профессионального радииста и был приятно удивлен тем, насколько изменился журнал за последние два года. Он стал не просто интересным, он стал полезным, он стал дружественным к Вам, наш читатель, и главное, журнал сегодня есть то, чего Вы сами от него хотели. Может быть, не все обещания мы выполнили, не всегда удается предусмотреть все до мельчайших подробностей, но есть стратегическое направление - интересы читателей, которые и воплощены сегодня на страницах "Радиоаматора".

Подтверждают эти выводы и письма читателей, которых ежемесячно приходит не менее сотни. В них есть и благодарность за хороший журнал, за нашу работу, есть просьбы - таких особенно много, есть и критика - в этом преуспевают некоторые наши читатели, которые считают себя большими знатоками, чем авторы, редакторы и рецензенты. Но все они доброжелательны и помогают нам развиваться дальше. Спасибо всем нашим корреспондентам, всем, кто откликается на опросы и анкеты, - из Ваших ответов мы черпаем неоценимую фактическую информацию, которая показывает нам перспективу.

Нужно только быть активнее. Экспресс-опрос в РА 8/2000 не собрал большой почты. Всего двадцать человек ответили на вопросы, поэтому достоверностью выводы по опросу явно не обладают, однако показывают, что интересует наиболее активную часть читателей. Два основных направления читательского интереса - схемотехника и ремонт, неожиданно на втором месте - микропроцессоры и компьютеры, далее идет высококачественное воспроизведение звука, совсем слабо представлены любители эфира.

В таком соотношении представлены и материалы в журнале, значит, все идет правильно.

Так и будет продолжаться до тех пор, пока журнал "Радиоаматор" будут читать. Подписка продолжается, поспешите на почту, чтобы успеть получить первый номер, иначе пропустите самое интересное.

16 ноября - День работников радио, телевидения и связи Украины, поздравляем всех с этим праздником и желаем новых успехов в любимом деле!

Главный редактор журнала "Радиоаматор" Георгий Ульченко

Положение о клубе читателей «Радиоаматора»

1. Членом клуба читателей «Радиоаматора» (далее «Клуб» или сокращенно КЧР) может быть любой читатель, который подпишется на один из журналов издательства «Радиоаматор»: «Радиоаматор», «Электрик» или «Конструктор» и зарегистрируется в редакции. Членство в клубе является пожизненным.

2. Зарегистрированным считается читатель, который приспал в издательство «Радиоаматор» по адресу 03110, Издательство «Радиоаматор», КЧР, ая 807, Киев 110, Украина ксерокопию или оригинал квитанции о подписке, а также указал свою фамилию и адрес. На квитанции должно быть четко видно название журнала, срок, на который совершена подписка, оттиск кассового аппарата с указанной суммой и почтовый штемпель. По одной квитанции может зарегистрироваться один читатель.

3. При осуществлении групповой подписки или подписки на учреждение, предприятие или иную организацию членом «Клуба» состоит один представитель от группы или организации, которому делегируются права в объеме п. 5.

4. Срок действительного членства в «Клубе» исчисляется с момента регистрации и до истечения подписного периода. Продление срока действительного членства производится автоматически при поступлении ксерокопии квитанции на последующий период. При перерывах в подписке или ее окончании членство в «Клубе» не прекращается и считается условным.

5. Действительные члены «Клуба» имеют право:

- Получать скидку на приобретение литературы непосредственно в издательстве «Радиоаматор» или по системе «Книга-почтой»; однократную в размере 10% стоимости (при подписке на год) или накопительную по периодам из расчета 0,6% в месяц.

- Получать бесплатно консультацию по любым вопросам, входящим в компетенцию Консультационного центра издательства «Радиоаматор».

- Приобрести в розницу необходимые детали из ассортимента оптовых поставок фирмы «СЗА».

- Вне очереди опубликовать в одном из журналов издательства собственную статью.

- Опубликовать бесплатно свое объявление некоммерческого характера в одном из журналов издательства «Радиоаматор».

- Получить бесплатно ксерокопию статей из старых журналов «Радиоаматор», которых уже нет в продаже.

- Получить бесплатно выдержки из документов, регламентирующих радиолюбительскую деятельность.

- Через «Клуб» устанавливать деловые и дружеские контакты с другими членами клуба и авторами статей, опубликованных в журналах издательства «Радиоаматор», вступать в секции «Клуба» по интересам и принимать участие в формировании тематики журналов на очередной подписной период.

6. Условные члены «Клуба» получают статус действительных членов при

возобновлении подписки со всеми вытекающими правами.

7. Действительные члены «Клуба» должны содействовать развитию радиотехнической грамотности населения, особенно молодежи и юношества, активно пропагандировать среди них журналы «Радиоаматор», «Электрик» и «Конструктор».

8. Правление «Клуба» состоит из членов редколлегии журналов «Радиоаматор», «Электрик» и «Конструктор». Председателем Правления является главный редактор журнала «Радиоаматор».

9. Правление публикует отчет о работе «Клуба» ежегодно в последнем номере журналов «Радиоаматор», «Электрик» и «Конструктор».

10. Для поощрения своих наиболее активных членов, а также специалистов и любителей, внесших большой вклад в развитие радио и электротехники, «Клуб» учреждает знаки отличия:

«Почетный радиолюбитель Украины»;

«Почетный электрик-любитель Украины»;

«Почетный член клуба читателей «Радиоаматора».

Награждение производится по решению Правления «Клуба» и по представлению инициативных групп членов «Клуба».

Председатель Правления Клуба читателей «Радиоаматора» Главный редактор журнала «Радиоаматор» Г.А.Ульченко

Требования к авторам статей по оформлению рукописных материалов

Принимаются для публикации оригинальные авторские материалы, которые не печатались в других изданиях и не были отправлены одновременно в несколько различных изданий. **В начале статьи подается аннотация, отделенная от текста статьи. В ней указываются краткое содержание, отличительные особенности и привлекательные стороны.**

Статьи в журнал «Радиоаматор» можно присыпать в трех вариантах:

- 1) написанные от руки (разборчиво),
- 2) напечатанные на машинке,
- 3) набранные на компьютере (в любом текстовом редакторе для

DOS или WINDOWS IBM PC).

В 3-м случае гонорар за статью будет выше.

Рисунки и таблицы следует выполнять за пределами текста, на отдельных листах. На обороте каждого листа с рисунком указать номер рисунка, название статьи и фамилию автора.

Рисунки и схемы к статьям принимаются в виде эскизов и чертежей, выполненных **аккуратно черными линиями на белом фоне с учетом требований ЕСКД** (с использованием чертежных инструментов). Выполнение вышеуказанных требований ускорит выход статьи, так как снизит трудозатраты редакции по подготовке статьи к печати. Изображения печатных плат лучше выполнять увеличенными по сравнению с оригиналом в 2 раза. Можно также изготавливать **рисунки и схемы на КОМПЬЮТЕРЕ**,

однако следует учитывать возможности полиграфических предприятий по использованию компьютерных изображений в производственном процессе. Графические файлы,ываемые в редакцию, должны иметь расширение *.CDR (5.0-7.0), *.TIF, *.PCX (с разрешением 300 dpi в масштабе 1:1), *.BMP (с экранным разрешением в масштабе 4:1).

Список новых членов клуба читателей РА

Яновский В. Ю.
Герасименко В. Ф.
Сорока А. А.
Приятко Г. М.
Романюк М. У.
Осипенко В. А.
Мархотко О. Г.
Гринечко С.



Возможные замены комплектующих при ремонте телевизоров

Ю. Бородатый, Ивано-Франковская обл.

Бывает, при телеремонте под рукой нет нужных деталей, а работе надо сделать быстро и дешево. Выход есть.

В полупроводниковых телевизорах черно-белого изображения ЗУСТ-50 и ЗУСТ-61 есть стабилизатор из деталей VT9, VT10, VD8, C56, R84, R89, R94, R85, R97. Его можно заменить двухваттным резистором сопротивлением 24–27 Ом мощностью 2 Вт. Сопротивление можно набрать из нескольких резисторов (например, двух по 47,51 Ом или 56 Ом, одноваттных) и включить вместо эмиттер-коллекторного перехода транзистора VT9 типа КТ961В, чтобы напряжение в контрольной точке КТ6 было 11–13 В. Такой прием можно использовать для удешевления ремонта стабилизаторов или когда под рукой нет каких-либо деталей, например, транзистора видеосигнатора VT14 типа КТ940Б. Транзистор стабилизатора КТ961Б его заменит. Вольт-добавка в ламповых телевизорах часто выходит из строя при повышении напряжения сети. В телевизорах с диагональю 35 или 40 см в качестве вольт-добавки можно использовать конденсатор 6С9 емкостью 0,022–0,047 мкФ (фильтр сетевых помех).

В старых телевизорах "Весна", "Рекорд", "Садко" и "Янтарь" с диагональю 47 или 50 см (с ПТК-10) на плате вольт-добавки есть конденсатор С5 емкостью 0,1 мкФ на напряжение 1000 В (в более поздних моделях телевизоров такого типа с ПТК-11Д или СКМ-15 этого конденсатора нет). В таких телевизорах вольт-добавку можно набрать из двух соединенных последовательно конденсаторов емкостью 0,047 мкФ, например, из 3С3 и 6С6, без которых аппарат работает.

Во многих телевизорах второго класса ("Березка", "Славутич", "Крым", "Изумруд", "Таурус") есть конденсаторы 6С1, 6С2 и 2С29 емкостью 0,1 мкФ на напряжение 400 В. Соединенные последовательно они заменяют конденсатор вольт-добавки 5С4, а отсутствие их на штатных местах никак не сказывается на качестве работы телевизора.

Если у владельцев ремонтимемых аппаратов есть старые телевизоры, можно устраниТЬ почти любую поломку, используя детали от них. Вот примеры.

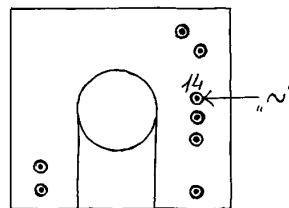
При вышедшем из строя кинескопе 61ЛК его можно заменить кинескопом 50ЛК. Для этого вырезают четыре кронштейна из перфорированных металлических кожухов ламповых черно-белых телевизоров. В качестве уплотнителя при установке кинескопа 50ЛК можно использовать уплотнитель из пористой резины (для бетонных панелей). Возможно обратная замена (кинескоп 61ЛК используют вместо 50ЛК). Для этого на телевизор больших размеров ставят меньший. Систему отклонения и плату кинескопа переставляют на кинескоп 61ЛК, удлинив провода. Высоковольтный провод питания второго анода удлиняют, тщательно изолировав место соединения. При такой замене работает меньший телевизор, а смотрят экран большего.

Трансформатором TBC-110Л можно заменить ТДКС-9.

TBC-110Л	ТДКС-9
1	3
2	18
3	1
4	14
накал*	12
накал*	13

*Для накала на феррит (помощь от катушки) следует намотать два витка провода.

Если в ТВС-110Л нет ламповогенетрона (высоковольтного диода) 1Ц21П, то вместо него подойдет перегоревший ТДКС-9 с вынутым из него ферритом (см. рисунок).



Ремонт телевизоров ОРИЗОН и СЛАВУТИЧ

Н. П. Власюк, г. Киев

1. Телевизор ОРИЗОН 51ТЦ-449Д после включения через 1 с автоматически отключается. Трудность поиска неисправности и ее необычность заключаются в том, что телевизор после очередной попытки включить его и найти неисправность иногда все-таки включается. Затем работает нормально (его можно многократно включать – выключать, делать перерывы в работе, снова включать).

Обнаружил неисправность, поочередно вынимая блоки. После снятия платы кинескопа ПК-411 телевизор запустился, когда поставил на место – не работает.

Неисправность оказалась связана с питанием накала кинескопа, который у этого неунифицированного телевизора питается не от строчного трансформатора, как у большинства современных телевизоров, а от импульсного блока питания БПИ-411, постоянным напряжением 6,3 В.

Причина отказа – значительная потеря емкости сглаживающим электролитическим конденсатором С23 (470 мкФ) в блоке питания (цепь питания накала кинескопа). По этой причине после включения телевизора напряжение накала скачком прыгало до 6,3 В и прикладывалось к нити накала кинескопа, которая в холодном состоянии имеет сопротивление 2 Ом. Бросок тока воспринимался элементами защиты блока питания как перегрузка (короткое замыкание), и они отключали БП-411.

Так как перегрузка была на пределе срабатывания защиты, то иногда телевизор включался, ток разогревал нить накала, и сопротивление ее увеличивалось до 8 Ом. После выключения телевизора нить накала остыла, и ее сопротивление в течение нескольких часов уменьшалось с 8 до 2 Ом.

После замены конденсатора С23 скачка напряжения накала уже нет, и оно плавно (за 3 с) поднимается от 0 до 6,3 В.

2. Телевизор СЛАВУТИЧ 34ТБ-412Д – черно-белый с кинескопом 34 см по диагонали. Типичная неисправность этого телевизора связана с блоком питания. По всему экрану сверху вниз плавают размытые горизонтальные полосы высотой 1 см и с расстоянием между ними 3–4 см, при этом края раstra изгибаются – явный признак увеличенного коэффициента пульсаций питающего напряжения (11 В – в блоке питания). Первая причина этого – конструкторская ошибка в расчете силового трансформатора (низкое напряжение вторичной обмотки, что приводит к завышенным пульсациям уже при напряжении сети 200–210 В [1]). Вторая причина – ухудшение параметров диодов выпрямительного моста VD1–VD2 типа КД202А. Работая при больших токах и не имея радиаторов охлаждения, диоды значительно нагреваются, что приводит (через 2–3 года эксплуатации) к ухудшению их выпрямительных свойств, и тогда полосы появляются даже при напряжении сети 210 В.

Попытка устранить неисправность увеличением емкости фильтрующих конденсаторов к успеху не приводит. Плавающие полосы исчезают, если заменить все диоды выпрямительного моста. Но, как показывает опыт, через 2–3 года неисправность может повториться вновь. Поэтому диоды лучше заменить мощным диодным мостом с допустимым током 10 А и более, подумав, как его закрепить и охладить.

Если в Вашей квартире напряжение сети уменьшается до 200 В и ниже, то в [1] рекомендуется намотать вторичную обмотку силового трансформатора на 5–10 витков.

Разработчикам телевизора следовало бы заменить модуль питания БП-434 на импульсный блок питания, что значительно повысило бы его потребительские свойства.

Еще одна типичная неисправность телевизора «Славутич 34ТБ-412Д» проявляется в том, что на изображении в верхней части экрана видны линии обратного хода (кинескоп не закрывается кадровыми импульсами). Причина – потеря емкости электролитического конденсатора С26 (220 мкФ×16 В) в субмодуле кадровой развертки А7.1.

Литература

- Флориан А. Г. Доработка телевизора «Славутич 34ТБ – 412Д» // Радиоаматор. – 1996. – №4.



Компакт-диски и устройства для их проигрывания

А. Ю. Саулов, г. Киев

(Окончание. Начало см. в РА 10/2000)

Стационарные проигрыватели среднего класса

В этих устройствах в отличие от Discman применяют не только однобитные, но и комбинированные или даже монолитные ЦАП. Это вместе с использованием цифровой фильтрации с 8-кратной передискретизацией значительно улучшает качество звучания проигрывателя. Этой же цели служит и специальный генератор шума, который позволяет маскировать дискретность сигнала ЦАП путем размывания ступенек сигнала шумом. В результате коэффициент нелинейных искажений в таких устройствах оказывается в 10...100 раз ниже, а соотношение сигнал/шум на 10...12 дБ лучше, чем в Discman. К недостатку этих проигрывателей, как впрочем, и проигрывателей более высокого класса следует отнести то, что на них можно запрограммировать последовательность воспроизведения не более 32 (а для большинства аппаратов не более 20) треков, в то время как максимальное число треков диска составляет 99.

Technics SL-PG480A. Имеет довольно "спартанский" набор функций управления. Отсутствует даже возможность повтора одной дорожки. Есть функции, облегчающие перезапись или озвучивание любительских фильмов. Характеризуется очень небольшой неравномерностью АЧХ. Но звучание довольно плоское и однообразное. Неплохое для современной музыки и заметно худшее для классической.

Sony CDP-XE510. Очень удобный в управлении аппарат отличается хорошим звучанием, как будто учитываяшим все вкусы. Очень хорошо передаются высокие частоты благодаря использованию специального гибридного преобразователя. При этом полностью отсутствует металлический призвук ударных инструментов, характерный для недорогих проигрывателей. Имеется возможность отображения CD-text, т.е. можно выводить на дисплей аппарата названия исполнителей и произведений, записанных на диске. Аппарат имеет очень большие функциональные возможности, к сожалению, не все они реализуются с пульта ДУ.

JVC XL-V230. Характеризуется зависимостью качества звучания от музыкального стиля. Он очень хорошо звучит на воле или камерной музыке, но при повышении уровня громкости создается дискомфорт и появляется утомляемость при длительном прослушивании. Укомплектован пультом ДУ с очень удобным расположе-

нием кнопок. Позволяет запрограммировать для воспроизведения 32 трека. Перезаписывать с этого проигрывателя на магнитофон не вполне удобно, он скорее ориентирован на любителей слушать диски, а не делать с них копии.

Pioneer PD-306. Характерен интересным звучанием. Стереопанorama как бы размыта, но обладает повышенной глубиной. Мягкость звучания аппарата связана со спадом АЧХ на ВЧ более чем на 2,5 дБ. По всей видимости, все эти особенности связаны с применением специального фирменного ЦАП. Предусмотрены богатый выбор функций по управлению перезаписью на компакт-кассету и отключение свечения дисплея.

Marantz CD-48. Отличается хорошим звучанием с не слишком хорошей проработкой деталей. Практически любая музыка звучит слитно и тепло. Очень хорош при работе на акустику невысокого класса. Некоторый спад АЧХ на краях диапазона. Фазовая линейность не более 3° во всем рабочем диапазоне частот. Широкие возможности для программирования режимов воспроизведения треков. Все действия пользователя отображаются сообщениями на дисплее на английском языке (в том числе сообщения об ошибках). Пульт ДУ не слишком удобен.

Что выбрать?

В ходе сравнительных испытаний сложилось впечатление, что фирмы-производители как бы подгоняют звук аппаратурой одной ценовой категории друг под друга. Поэтому выделить явного лидера или явного аутсайдера не удалось. Но все же хотелось бы отметить Sony и Marantz. Звучание Sony чистое и стабильное, слабо зависит от музыкального материала и остальной аппаратуры. Marantz можно слушать очень долго без утомления, благодаря тому что он как бы смягчает музыку. Высокими техническими характеристиками выделяется JVC.

При выборе модели проигрывателя потребителю, вероятно, прежде всего придется руководствоваться удобством управления и наличием в аппарате тех или иных необходимых для конкретного применения функций.

CD-проигрыватели высшего класса

С появлением DVD-проигрывателей (а они обеспечивают воспроизведение как CD, так и HDCD дисков) по цене около \$400 произошло резкое падение цен на CD-проигрыватели. Совершенно очевидно, что вряд ли кто-то купит CD-проигрыватель дороже, чем можно купить DVD-ап-

парат. Для обеспечения высокого качества звучания в CD-проигрывателях высокого класса используют ряд не очень дешевых технических решений. Прежде всего это относится к источнику питания: применяют торOIDальный трансформатор вместо трансформатора с броневым сердечником и раздельные блоки питания для цифровой и аналоговой частей проигрывателя. При этом источники питания выполняют с 2-4-кратным запасом по мощности. В прецизионном механизме считывания информации используют линейный двигатель. Это позволяет считывать информацию даже с дисков с записью длинее 74 мин. Особое внимание уделяется разводке проводов и печатных дорожек цифровой части проигрывателей для устранения взаимных помех.

В таких проигрывателях используют методы, позволяющие по нескольким отсчетам сигнала восстановить еще 2 или 4 разряда цифровой информации, что субъективно несколько улучшает качество звучания такого устройства. Как правило, используют 20-разрядные (т.е. с таким же количеством разрядов, как и на студии звукозаписи при оцифровке исходного сигнала) ЦАП и цифровые фильтры с 8- или 32-кратной передискретизацией. Все проигрыватели достаточно хорошо приспособлены как для проигрывания записей, так и для их перезаписи на другой носитель. Все они оснащены цифровым оптическим выходом.

Technics SL-P770D. Аппарат имеет широкие возможности по программированию режима воспроизведения и перезаписи. В том числе поиск «пика» сигнала на диске, что важно для установки правильного уровня записи на магнитофон. Предусмотрен автоматический режим подготовки треков к перезаписи. В этой модели однобитный фирменный ЦАП объединен с цифровым фильтром, а не с аналоговым, как в предыдущих моделях, что отразилось на характере колебательности тракта воспроизведения при импульсном воздействии. Характерен своеобразным стереоэффектом, при котором источники звука оказываются смещеными относительно исходной записи. Очень удобное управление. Недостаток проявился в том, что проигрыватель отказался читать CD-R диски.

Denon DCD-735. Для перезаписи предлагается автоматический режим редактирования, возможный только для дисков с не более чем 20 треками. Используется специальный процессор, восстанавливающий младшие разряды звукового отсчета и увеличивающий общую разрядность ЦАП до 20. Применен специальный линеаризатор выходного сигнала вблизи перехода аналогового сигнала через нуль. При тестовом воспроизведении единичного выброса и прямоугольного импульса аппарат показал великолепный результат: практически не было затухающих колебаний на фронтах. Проигрыватель обеспечивает пространственную яс-



Проигрыватели среднего класса

	Technics SL-PG480A	Sony CDP-XE510	JVC XL-V230	Pioneer PD-306	Marantz CD-48
Цифровой фильтр	-	8x	8x	384x	96x
КНИ, %	0,007	0,0045	0,0025	0,003	0,003
С/Ш, дБ	100	100	106	105	102
Цифровой выход	-	оптич.	-	оптич.	коаксиал.
Число про- граммируемых треков	20	24	32	24	30
Количество дополнительных функций	8	12	10	13	13
Управление по шине	-	+	+	+	+
Синхронпуск с магнитофоном	-	+	+	+	+
CD-text	-	+	-	-	-
Масса, кг	3,1	3,0	3,3	3,1	нет данных
Размеры, мм	430x93x283	430x95x290	435x85x275	420x101x267	439x74x302
Цена, дол. США	120	130	135	140	170

Проигрыватели высшего класса

	Technics SL-P770D	Denon DCD-735	Sony CDP-XB920	Yamaha CDX-593	Marantz CD-67mkII
Цифровой фильтр	8x	8x	нет данных	нет данных	32x
КНИ, %	0,0018	0,0025	0,0025	0,0025	0,0025
С/Ш, дБ	110	108	111	110	105
Коаксиальный цифровой выход	-	-	+	+	-
Число про- граммируемых треков	20	20	20	25	30
Количество дополнительных функций	14	11	16	15	15
Управление по шине	-	-	+	-	+
Синхронпуск с магнитофоном	-	+	-	+	+
Потребляемая мощность, Вт	15	10	15	20	12
Масса, кг	4	4,1	5,5	3,6	4,3
Цена, дол. США	250	265	280	280	290

Примечание. Цены указаны ориентировочные по состоянию на 30.12.99.

ность источников звука даже на низких частотах. Звучание можно назвать прозрачным.

Sony CDP-XB920. В проигрывателе фирма сосредоточила все новинки, разработанные за несколько последних лет. Следует отметить использование меха-низизма считывания с фиксированым положением лазерной головки, цифрового фильтра с переменными коэффициентами и ЦАП с токовым импульсом. Предусмотрено 4 режима работы цифрового фильтра, что позволяет изменять воспроизведение фронтов сигнала – делать их более или менее заваленными, получая при этом большую или меньшую колебательность тракта. Очень простое и удобное управление с наглядным пультом ДУ. Предусмотрена возможность чтения CD-text. При манипулировании режимами работы фильтра можно получать совершенно разное звучание одного и того же музыкального фрагмента. Аппарат характеризуется также отличным функциональным оснащением.

Yamaha CDX-593. Единственный аппарат, в котором предусмотрена индика-

ция уровня выходного сигнала. Удобное управление с пульта, имеющего необычную форму. Фирменная система цифро-аналогового преобразования, которая на основании трех последних данных вычисляет 4 младших цифровых разряда очередного отсчета, улучшая качество звучания. Кроме музыкального поиска используется поиск фрагментов по индексам. Не воспроизводит CD-R диски. Отличается своеобразным формированием объемной картины. В звучании реверберационные отголоски и затухания играют заметно меньшую роль, чем в других аппаратах.

Marantz CD-67 mkII. Отличается хорошим набором функций. Можно программировать воспроизведение не только списком желаемых, но и ненужных треков. Возможна установка записи либо под конкретный тип кассеты, либо под длительность, заданную от 1 до 100 мин. Используется цифровой фильтр с 32-кратной передискретизацией. В звучании можно отметить уверенную детализацию пространства зала. Аппарат не склонен что-либо преувеличивать или преуменьшать в акустической картинке.

Что выбрать?

Очень трудно проводить сравнение аппаратов с высокими и почти одинаковыми техническими характеристиками. Поэтому при оценке качества звучания использовались лишь субъективные показатели, проявляющиеся к тому же только при прослушивании классической музыки. При воспроизведении современной музыки все проигрыватели звучат неотличимо хорошо. Все же следует отметить, что традиционные решения в большей степени воплощены в Marantz и Technics. А вот в Yamaha и Sony больше новаторских находок. Очень хорошее, инструментально точное звучание обеспечивает Denon.

В заключение можно отметить, что из-за ограничений формата CD до сих пор не создана аппаратура, имеющая качество звучания, характерное для аналоговой техники класса High-End. Возможно, это удастся сделать с внедрением нового формата цифровой звукозаписи – DVD. В любом случае устройства записи на компакт-диски типов CD-R и CD-RW пока настолько дороги, что едва ли составят в ближайшее время конкуренцию аппаратуре магнитной звукозаписи.

Таблица 2



ЭМИ для аккомпанемента

В. В. Банников, г. Москва, Россия

(Окончание. Начало см. в РА 10/2000)

ЭМИ воспроизводит не только отдельные ноты, но и готовые аккорды в любой тональности. Управление им осуществляется всего двенадцатью кнопками. Устройство не нуждается в "классическом" УМЗЧ, обычно работающем в неэкономичном линейном режиме (хотя может работать и с ним). Выходы ЭМИ соединяют с тремя отдельными усилителями, работающими в ключевом режиме.

Проще всего устроен второй канал деления частоты, поскольку его коэффициент счета не меняется. Он содержит счетчик-демодулятор DD8 (коэффициент счета 10) и два триггера DD9.1 и DD9.2 (коэффициент счета обоих равен 4). Поэтому общий коэффициент счета канала составляет 40.

Если режимный переключатель SA2 в среднем (либо правом) положении и нажата любая кнопка SB1–SB12, на входах элемента DD5.3 низкий уровень, а на его выходе высокий. Конденсатор C5 полностью заряжен (через резистор R20), поэтому на выходе элемента DD5.4 имеется разрешающий работу триггера DD9.2 низкий уровень. Если же переключатель SA2 – в левом положении, конденсатор C5 разряжен (через резистор R18), а на выходе элемента DD5.4 запрещающий высокий уровень. В первом случае триггер DD9.2 работает в обычном счетном режиме (на выходе 2 делителя частоты возникают симметричные импульсы частотой F/40), во втором – на выходе 2 присутствует постоянный низкий уровень. Отпускание всех кнопок SB1–SB12 ведет к тому, что на входах элемента DD5.3 появляется высокий уровень, а на выходе 2 также постоянный низкий уровень.

Немного сложнее организован первый канал, содержащий два счетчика-демодулятора DD4 и DD6, два элемента DD5.1 и DD5.2, а также триггер DD7.1. Если режимный переключатель SA2 в среднем (либо правом) положении, конденсатор C5 заряжен, и на нижнем по схеме входе элемента DD5.1 – высокий уровень, поэтому обратная связь входа R микросхемы DD4 с собственным выходом 5 (через элементы DD5.1 и DD5.2) действует беспрепятственно. Это приводит к тому, что коэффициент счета микросхемы DD4 понижен с 10 до 5.

Значит, общий коэффициент счета канала, т. е. в совокупности с микросхемой DD6 (ее коэффициент счета постоянно уменьшен до 3) и триггером DD7.1 (коэффициент счета 2) равен 30. Если же переключатель SA2 переведен в левое положение, конденсатор C5 разряжается, и обратная связь через элементы DD5.1 и DD5.2 действовать перестает. Это приведет к увеличению коэффициента счета микросхемы DD4 до 10, а всего канала – до 60. Отпускание всех кнопок SB1–SB12 вызывает установку (по входу R) триггера DD7.1 в нулевое состояние.

Еще сложнее построен третий канал. За его основу взята схема по рис. 18 в [2]. Он состоит из счетчиков-демодуляторов DD10, DD12, триггера DD7.2 и элементов DD2.2–DD2.4, а также микросхемы DD11. На последней выполнен электронный коммутатор, позволяющий изменять коэффициент счета микросхем DD10 и DD12 с 24 на 25. На элементах DD2.3 и DD2.4 собран статический триггер, а элемент DD2.2 выполняет роль демодулятора состояния микросхем DD10 и DD12. Так, если режимный переключатель S2 – в среднем положении, конденсатор C4 заряжен (через R21), поэтому на верхнем входе элемента DD11.2 и входах элемента DD11.1 высокий уровень, а на выходе последнего – низкий. Это равносильно тому, что выход 4 микросхемы DD10 подключен (через DD11.2 и DD11.4) к верхнему входу элемента DD2.2. Тогда всякий раз, как только микросхемы DD10 и DD12 отсчитывают очередные 24 импульса, происходит их установка (по входу R) в нулевое состояние. Следовательно, общий коэффициент счета (вместе с триггером DD7.2) равен 48. Если же переключатель SA2 перевести вправо, конденсатор C4 разряжается (через R19), и на верхнем входе элемента DD11.2 и входах элемента DD11.1 будет низкий уровень. Поэтому теперь верхний вывод элемента DD2.2 соединен (через DD11.3 и DD11.4) с выходом 5 микросхемы DD10. Это означает, что общий коэффициент счета третьего канала увеличится до 50.

Когда же переключатель SA2 переведен в левое положение, триггер DD7.2 устанавливается (по входу R) в нулевое состояние. В нем он будет находиться, если отпущены все кнопки SB1–SB12.

Если требуется, чтобы основной тон звучал более "сочно", чем аккорд, схему делителя частоты надо дополнить узлом,

показанным на рис. 4. Его подключают к прежним выходам 1, 2 и 3 делителя частоты и конденсатору C5 (конечно, к обкладке, не соединенной с корпусом). Ноными выходами делителя частоты станут выходы 1', 2' и 3' этого узла. Он представляет собой обычный электронный переключатель.

Когда режимный переключатель SA2 находится в среднем (либо правом) положении, конденсатор C5 заряжен, поэтому осуществляется связь выхода 2 (через DD13.1 и DD13.3) с выходом 2' и выхода 3 (через DD14.2 и DD14.4) с выходом 3'. Когда переключатель SA2 переведен влево, конденсатор C5 разряжен, и выходы 2' и 3' подключаются (соответственно через элементы DD13.2, DD13.3 и DD14.3, DD14.4) к выходу 1 делителя. В результате этого основной тон проходит на выход не только первого канала, но и второго и третьего, а мощность звука увеличивается втрое. О назначении микросхемы DD15 и выходов 1", 2", 3" будет рассказано ниже.

Еще одной оригинальной особенностью ЭМИ является то, что он не нуждается в "классическом" УМЗЧ, обычно работающем в неэкономичном линейном режиме. Маломощные выходы ЭМИ соединяют с тремя отдельными транзисторными усилителями, работающими в, безусловно, более экономичном переключательном (ключевом) режиме. Каждый из усилителей нагружен на индивидуальную (для данного тона) динамическую головку.

Преимущества такого способа в следующем. Во-первых, существенно снижается потребление электроэнергии (при одинаковой громкости). Во-вторых, наиболее просто удается избежать сильных интер-

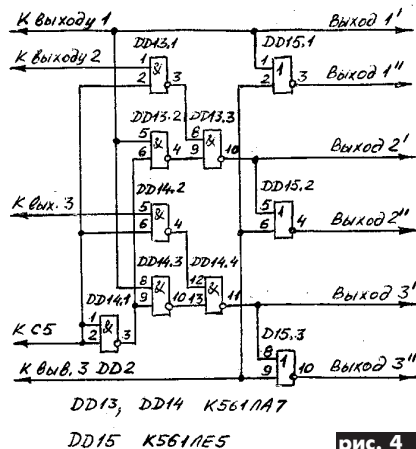


рис. 4

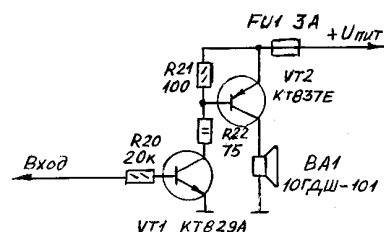


рис. 5



модуляционных искажений звука, и это несмотря на то что номинальная мощность головок может быть сравнительно невелика. Наконец, существенно сокращаются габариты и масса не только ЭМИ, но звукоусилительной аппаратуры к нему. А это весьма важно для ансамблей, часто гастролирующих на выездных концертах.

Впрочем, для этого ЭМИ вполне годится и обычный УМЗЧ, если сигналы с выходов 1, 2, 3 (или 1', 2', 3') смешать с помощью трех резисторов в несколько сот (или десятков, если вход УМЗЧ низкоомный) килоом. Тогда для регулирования громкости звука потребуется еще традиционная для клавишных ЭМИ педаль (с переменным резистором или бесконтактная – с лампочкой подсветки и фоторезистором).

Но если применить УМЗЧ, работающий в переключательном режиме, преимущества данного ЭМИ станут более очевидными. Собрать усилитель можно как по двухтактной (мостовой) схеме, так и по однотактной. На **рис.5** показана схема усилителя, состоящего из двух ступеней (на транзисторах VT1 и VT2). Нагрузкой усилителя (одного из трех) может быть динамическая головка BA1 (или две головки) сопротивлением не менее 4 Ом номинальной мощностью всего 4...10 Вт. Напряжение питания Упит не должно превышать 20 В. Регулировать громкость звука возможно, лишь изменяя (с помощью ножной педали) напряжение питания усилителя – выходное напряжение стабилизатора постоянного тока. Последний может быть любым, обеспечивающим плавное регулирование выходного напряжения почти от нуля до 20 В и выходной ток до 10 А (для трех усилителей). Стабилизатор может быть и обычным – компенсационным. Но, как известно, более экономичен ключевой стабилизатор.

Чтобы повысить громкость звука ЭМИ, от однотактной схемы усилителя следует перейти к двухтактной (см. [3, 4]). Вот тут и понадобятся выходы 1', 2', 3' (см. рис. 4). Дело в том, что, пока нажата любая кнопка SB1–SB12, сигналы на выходах 1' и 1" (или соответственно 2' и 2", 3' и 3") противофазные, а это как раз и нужно для правильной работы двухтактного усилите-

ля. Когда все кнопки SB1–SB12 отпущены (т.е. задающий генератор прекращает работу), на выходе элемента DD2.1 появляется постоянный высокий уровень, а потому низкий уровень возникает не только на выходах 1', 2' и 3', но и на выходах 1", 2" и 3". Таким образом, сразу же после пропадания импульсов задающего генератора ток в катушке динамических головок, являющихся нагрузкой двухтактных усилителей, автоматически прерывается [4]. Это не только снижает потребление электроэнергии, но и предохраняет головки от выхода из строя вследствие перегрева.

С однотактными усилителями снизить вдвое потребление тока (практически без потери громкости ЭМИ) можно, если выходную часть делителя частоты немного переработать. На **рис.6** приведен фрагмент видоизмененного делителя частоты (остальное – по рис.3). При воспроизведении основного тона подача импульсов одной и той же частоты на выходы 1–3 осуществляется (как и в схеме рис.4) с помощью элементов микросхем DD13 и DD14. А вот выходные импульсы формируются иначе.

Поскольку вход R счетчика-демодификатора DD16 (DD18 или DD19) соединен с собственным выходом 4 через элементы DD17.1 и DD17.2 (соответственно через DD17.3 и DD17.4 или DD20.1 и DD20.2), длительность импульса на выходе 1 (2 или 3) ровно в три раза меньше, чем длительность паузы между ними ($Q=4$). Средний ток, потребляемый усилителями ЭМИ, снижается в 2 раза.

Так как коэффициенты счета при такой схеме делителя частоты увеличиваются с 30, 40, 48, 50 и 60 соответственно до 60, 80, 96, 100 и 120, для сохранения уже выбранного звуковысотного диапазона ЭМИ частоту задающего генератора (см. рис. 1) придется увеличить в 2 раза. Проще всего это сделать, заменив времязадающий конденсатор (C1) емкостью 30 пФ на 15 пФ. Одновременно можно уменьшить вдвое и емкость конденсатора C2.

Остановимся на органах управления ЭМИ, так как они выполнены нетрадиционно. Кнопки SB1–SB12 могут быть стандартными клавишами рояля (**рис.7, а**). Если рычажок режимного переключателя

SA2 перевести влево по схеме, играть на такой клавиатуре можно почти как на обычном электрооргане. Разница состоит лишь в том, что для перехода в другую октаву не придется перемещать кисть руки вдоль широкой клавиатуры, а лишь просто изменить в нужную сторону положение октавного переключателя SA1. Если такой режим предполагается использовать при проигрывании более или менее продолжительных музыкальных отрывков, очевидно, что управлять одной левой рукой и переключателями SA1 и SA2 будет не очень удобно. Поэтому для постоянно включения такого режима целесообразно предусмотреть еще один тумблер, позволяющий соединить нижний вывод резистора R18 с корпусом. Тумблер можно заменить (или дополнить) педалью (для левой ноги), производящей то же самое при нажатии на нее. Тогда левая рука будет обслуживать лишь октавный переключатель SA1 (при одноголосном воспроизведении мелодии). Эта педаль полезна и при наиболее часто встречающемся аккомпанементе, когда на сильную долю такта воспроизводится тон, а на слабую миор или маор к нему.

Но фортепианная клавиатура при аккомпанировании готовыми аккордами не очень удобна, в особенности для мало знакомых с ней гитаристов. Опыт показывает, что наиболее просто воспроизводить готовые аккорды, если использовать левую клавиатуру баяна (или аккордеона). Ведь она построена так, что кнопки аккордов, встречающихся в любых музыкальных пьесах, исполняемых в какой-то одной тональности, обычно расположены по соседству. Такой порядок расположения кнопок удобен при любой тональности пьесы.

Показанная на **рис.7, б** кнопочная клавиатура представляет собой фрагмент басовой клавиатуры баяна. После небольшой тренировки такую клавиатуру легко освоить не только баянист или аккордеонист, но и гитарист. Она составлена как бы из поперечных "срезов" гитарного грифа (относительно струн с третьей по шестую). Например, левые кнопки "ля" (SB5) идут кнопки "ля" (SB10), "ре" (SB3) и "соль" (SB8), что соответствует нотам шестой, пятой, четвертой и третьей открытых

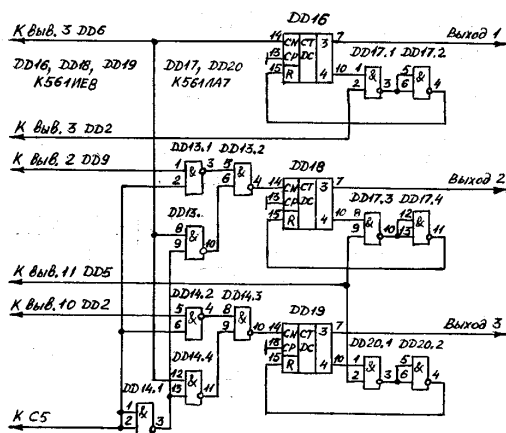


рис. 6

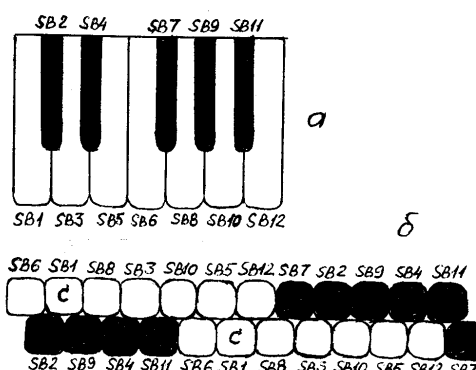


рис. 7



струн и т. д. Как легко заметить, кнопки одного ряда с некоторым смещением повторяются в другом. В частности, кнопка "до" (условное обозначение лат. "C") имеется в обоих рядах. У баяна одноименные кнопки объединены чисто кинематически, в клавиатуре ЭМИ они соединены электрически. Два ряда кнопок (вместо одного) позволяют извлекать готовые аккорды даже проще, чем на баяне. Поэтому точно вести аккомпанемент при известном на- выке сможет даже новичок.

Так как обе клавиатуры имеют определенные преимущества, в ЭМИ целесообразно применить ту и другую. Подключают их к схеме так, что вместо каждой кнопки SB1–SB12 используют по три кнопки, соединенные параллельно: одна из них задействована в клавиатуре рояля, а две других – баяна.

Режимный переключатель SA2 можно выполнить в виде тумблера (с самовозвратом в "нейтральное" положение) типа BT3 или коммутационного ключа. Его рычажок удлиняют до 50...70 мм. Октаальный переключатель SA1 может быть галетным (ПГК, ПГГ, ПН-К или ПН-Г), но лучше применить более надежный щеточный пере-

ключатель ПР. Вместо обычного в таких случаях "клювика" желательно применить рычаг длиной 120...150 мм. Фиксирующие пружины переключателя нужно слегка ослабить, чтобы действовать рычагом было легко.

Если ЭМИ дополнить переменным резистором сопротивлением 300 кОм, ось которого снабдить рычагом длиной 120...150 мм, музыкальные возможности инструмента расширятся. Этот резистор одним выводом подключают к общей точке резисторов R16 и R15, а другой через еще одну кнопку – к входам элемента DD1.1. Тогда (при нажатой дополнительной кнопке) тон ЭМИ можно плавно менять в пределах одной октавы, причем плавно изменять допустимо не только отдельный тон, но и мажорный или минорный аккорд. Звучание ЭМИ в этом режиме весьма необычно.

Собрать ЭМИ можно на микросхемах серий K561 или 564, но допустимо использовать и серию K176. Питают их от отдельного стабилизатора с выходным напряжением до 18 В (K561, 564) или до 12 В (K176). Взамен счетчиков-демодификаторов K561IE8 (564IE8, K176IE8), где это воз-

можно (кроме DD4 и DD10), допустимо применять микросхему K561IE9 (или 564IE9, K176IE9), изменив соответствующим образом разводку выводов. С некоторыми изменениями счетчики (DD3.1 и DD3.2) микросхемы K561IE10 (564IE10, K176IE10) можно заменить микросхемой K561IE16 (564IE16).

Вместо транзистора KT829A можно установить любой транзистор типа KT829 или KT972, а вместо KT837E – KT837Y, KT837F. В двухтактом усилителе можно применить пары, состоящие из транзисторов серий KT829 и KT853 или KT972 и KT973. Лучше всего установить их на небольшой теплоотвод. Взамен диода KД102А годится любой маломощный, в том числе германевый.

Литература

2. Бирюков С. Применение микросхем серии K561//Радио.–1986.–N12.– С. 42–46.
3. Виноградов Ю. Сигнальная двутональная "сирена"//Радио.–1994.–N6.–С.28.
4. Банников В. Двутональная сирена повышенной мощности//Радио.–1995.– N2.– С.34, 35.

Трехполосный УМЗЧ

А. Г. Зызюк, г. Луцк

В трехполосном усилителе с электронными разделительными фильтрами (кроссоверами) на входах полосовых УМЗЧ снижены искажения, влияющие на качество звуковоспроизведения. Устройство более "гибко" как в ремонтопригодности, так и в возможностях усовершенствования.

Одним из эффективных средств улучшения качества звуковоспроизведения является применение электронных разделительных фильтров на входах полосовых УМЗЧ. Как известно, использование LC пассивных фильтров на выходе УМЗЧ приводит к росту интермодуляционных искажений в усилителе, работающем на комплексную нагрузку, и к возрастанию различных искажений в громкоговорителях. Использование трехполосного усилителя не только повышает качество разделения сигналов, но и облегчает балансировку головок громкоговорителей по звуковому давлению, улучшает согласование головок в УМЗЧ. Ведь верность звуковоспроизведения во многом зависит от громкоговорителей.

Включение пассивных разделительных фильтров между выходом УМЗЧ и громкоговорителями многополосной акустической системы ухудшает электрическое демпфирование. Кроме этого, расчет таких фильтров достаточно сложен, поскольку к ним предъявляют требования, труднореализуемые в радиолюбительских условиях. К тому же не все фильтры с высокой крутиз-

ной скатов АЧХ обеспечивают малую неравномерность суммарной АЧХ.

Типовые разделительные фильтры даже с гладкой суммарной АЧХ нередко являются причиной возникновения фазовых искажений, влияние которых на форму выходного сигнала особенно проявляется вблизи частоты раздела такого фильтра.

Если на частоте раздела высоко- и среднечастотной полос эти искажения еще допустимы, поскольку несильно влияют на качество звучания, то в области раздела низко- и среднечастотной полос их весьма желательно устранять. В этом диапазоне частот и чувствительность слуха максимальна.

Кроме гладкой суммарной АЧХ для неискаженной передачи импульсных сигналов необходимо обеспечить одинаковую временную задержку всех составляющих сигналов при прохождении его через разделительный фильтр.

Потеря мощности в пассивном фильтре на выходе УМЗЧ, сложность согласования каждой головки громкоговорителя с выходом УМЗЧ для получения равномерной суммарной АЧХ по звуковому давлению (резистивные делители лишь снижают КПД АС и комплекса в целом, а также дополнительно ухудшают демпфирование), необходимость изготовления крупногабаритных катушек индуктивности и установка конденсаторов большой емкости – вот неполный перечень недостатков многополосных АС с разделительными пассивными фильтрами на выходе УМЗЧ.

Для широкополосного варианта (одно-канальное усиление) характерен такой не-

достаток, как необходимость большого запаса по выходной мощности УМЗЧ. Для неискаженного восприятия всей полосы звуковых частот однополосный УМЗЧ должен иметь приблизительно двойной по сравнению с трехполосным вариантом запас по выходной мощности. Вот и приходится уменьшать интермодуляционные искажения до тысячной доли процента, а то и еще меньше. Это приводит к значительному усложнению схемотехники усилителя, увеличению затрат времени и средств на его изготовление.

Большая рассеиваемая мощность выходных транзисторов требует применения крупногабаритных и массивных теплоотводов. Увеличивается масса трансформатора питания, фильтров выпрямителя и т.д.

Разделение полосы звуковых частот на три способствует весьма значительному снижению всех искажений (!) в УМЗЧ и АС: устраняются все перечисленные причины ухудшения качества звуковоспроизведения или их влияние значительно ослабляется. Весь комплекс становится более "гибким" как в ремонтопригодности, так и в перспективности его усовершенствования. Появляется, например, возможность оперативной замены громкоговорителя с быстрым выравниванием его АЧХ по звуковому давлению по отношению к двум другим полосовым громкоговорителям.

Для этого достаточно (пусть даже в грубом приближении, но очень эффективно) выставить уровень сигнала на выходе полосового УМЗЧ. В низкочастотной области, например, можно ввести электромеханическую обратную связь (ЭМОС) и избавиться от "бубнения" НЧ громкоговорителей. В этом случае обеспечивается еще и дополнительное сглаживание АЧХ НЧ громкоговорителя не только вблизи частоты

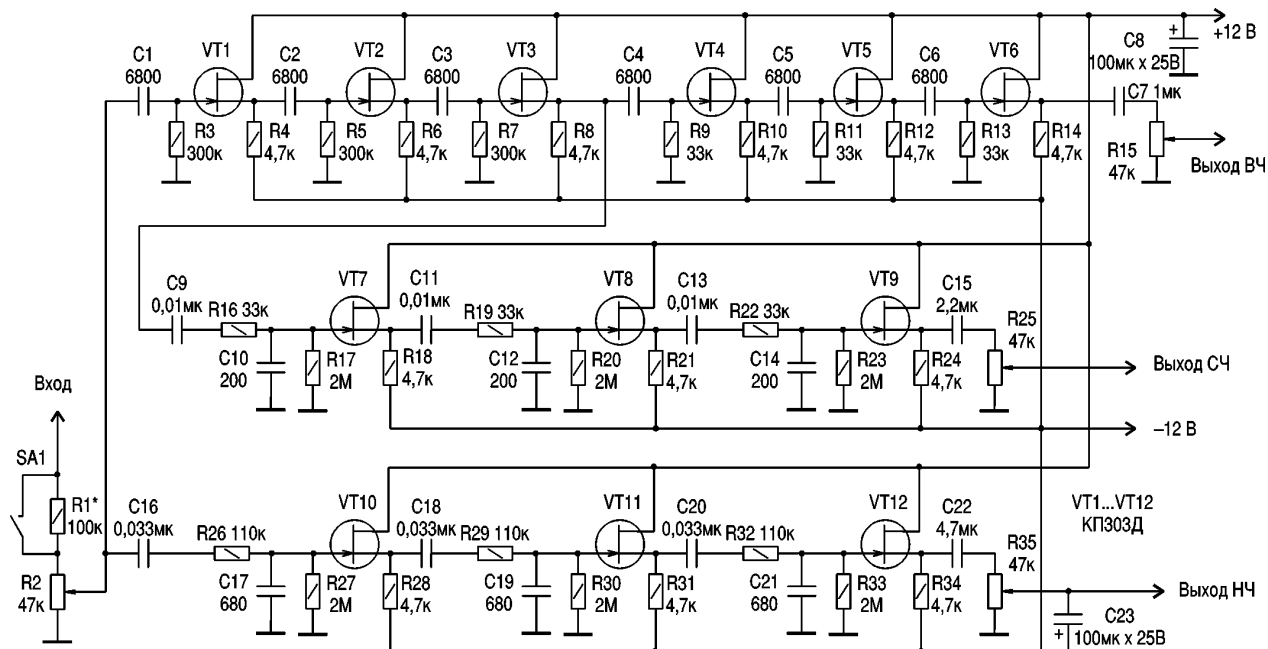


рис. 1

его резонанса, но и во всем диапазоне поршневой работы диффузора.

Разделительные фильтры на входах полосовых УМЗЧ (НЧ и СЧ) ограничивают уровень ВЧ составляющих сигнала, что уменьшает динамические интермодуляционные искажения всего комплекса. Высокочастотный же канал из-за отсутствия НЧ и СЧ составляющих имеет большой запас по линейности амплитудной характеристики, а значит, и по мощности. Поэтому и динамические искажения очень малы.

Испытано несколько вариантов электронных разделительных фильтров (кроссоверов). Схема одного из них показана на **рис.1**. Сначала была повторена схема [1]. Оказалось, что многое из сказанного о недостатках пассивных фильтров между УМЗЧ и АС справедливо и для электронных фильтров. В многокаскадных фильтрах каждый последующий каскад существенно нагружает предыдущий. Это приводит к тому, что суммарная характеристика многокаскадного фильтра уже не является простой совокупностью характеристик каскадов. Для устранения влияния каскадов друг на друга каждый предыдущий каскад должен иметь выходное сопротивление намного меньше, чем входное сопротивление последующего каскада как на **рис.1**. Такими буферными элементами являются полевые транзисторы VT1-VT12 типа КП303Д.

Переключатель SA1 предназначен для ступенчатого ослабления подаваемого на вход кроссовера сигнала.

Если для однозвенного фильтра частота среза $f_{cp} \sim 160/RC$, где R – в кОм; C – в мкФ, а частота f_{cp} – в Гц, то для трехзвенного фильтра $f_{cp} \sim 31/RC$. Аналогичная ситуация справедлива и для ФНЧ. Однозвездный ФНЧ рассчитывают по той же формуле, что и ФВЧ первого порядка ($f_{cp}=160/RC$). ФВЧ третьего порядка рассчитывают приближенно по формуле $f_{cp}=825/RC$.

Были испытаны и другие схемы фильтров: Баттерворта, Чебышева, Бесселя, Саллена

и Келя и др., а также простейшие фильтры на пассивных RC-звеньях. У фильтра Баттерворта (наиболее плоская характеристика в полосе пропускания) плохая фазовая характеристика, плоская характеристика достигается ценой уменьшения крутизны спада в полосе подавления. Фильтры Чебышева обеспечивают более крутой спад АЧХ за границей прозрачности, но вносят нежелательные равноволновые колебания АЧХ в полосе прозрачности (на средних частотах звукового диапазона лучше их вообще не применять). Фильтры Бесселя (наибольшее постоянство временно-го запаздывания) имеют наименьший спад АЧХ среди перечисленных фильтров за границей полосы прозрачности (немногим более пассивных RC-фильтров соответствующего порядка). Можно использовать фильтры и на основе звеньев второго порядка (их существует большое количество). Однако было выяснено, что фильтры, имеющие крутизну среза АЧХ за полосой прозрачности более 24 дБ/октаву, вносили свои искажения, которые субъективно воспринимались на слух, как значительное увеличение искажений в области средних частот при прослушивании одновременно трех полос. Были испытаны простые RC-звенья первого порядка (вместо фильтров третьего порядка). Несмотря на явную примитивность схемы таких фильтров, малое значение среза АЧХ (6 дБ/октаву или 20 дБ/декаду), аппаратура работала на слух лучше (и заметно лучше), чем с трехзвеными RC-фильтрами.

Необходимо приводить частоты среза фильтров к одному и тому же значению, иначе сравнение будет только субъективным. Необходимо также компенсировать затухания, вносимые многозвездными пассивными элементами фильтров и дополнительными усилителями напряжения сигнала.

На **рис.2** изображена схема одного из усилителей напряжения полосового фильтра. Такие усилители установлены после каждого фильтра. Подстроенным резисто-

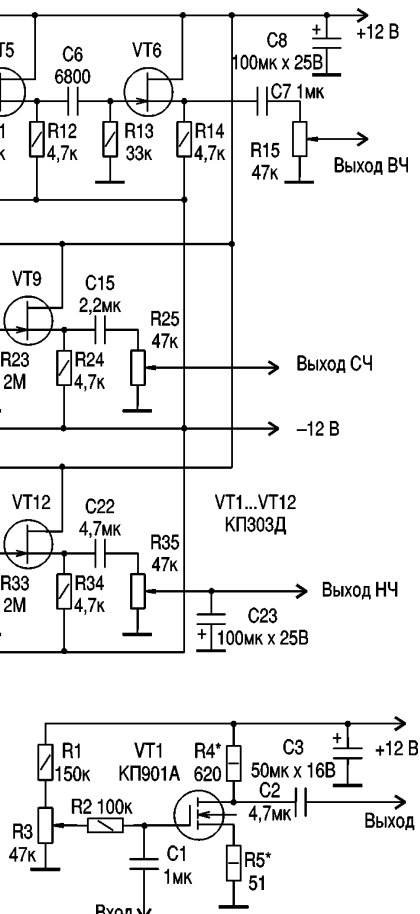


рис. 2

ром R3 нужно установить на затворе полевого МОП-транзистора VT1 постоянное напряжение, необходимое для получения на стоке этого транзистора потенциала, равного половине напряжения питания (ток стока Ic при этом равен приблизительно 20 мА). Можно для этой цели использовать и усилители на ОУ.

При выборе типа УМЗЧ лучше использовать более качественные конструкции с совершенной схемотехникой. УМЗЧ, длительное время эксплуатировавшиеся с данным кроссовером, выполнены по схемотехнике [2]. Внесенные в схему изменения позволили значительно уменьшить искажения, вносимые ОУ. Основные достоинства такого УМЗЧ – относительная простота конструкции, симметрия по выходу, значительно "укороченный" тракт усиления мощности по сравнению с аналогичными конструкциями на биполярных транзисторах, хорошие технические характеристики за счет добавки двух транзисторов на выходе ОУ, значительно расширенная полоса эффективно воспроизводимых частот (с 20 в [2] до 50 кГц). Коэффициент гармоник (КГ) уменьшен более чем в два раза (0,005 % против 0,01 %). Строго говоря, в [2] он значительно занижен и практически равен 0,02–0,03 %, а не 0,01 %).

Основной недостаток данного УМЗЧ – его малая выходная мощность, ограниченная главным образом максимально возможным выходным напряжением ОУ (из-за низкого напряжения питания ±15 В).

Более мощный вариант усилителя скон-

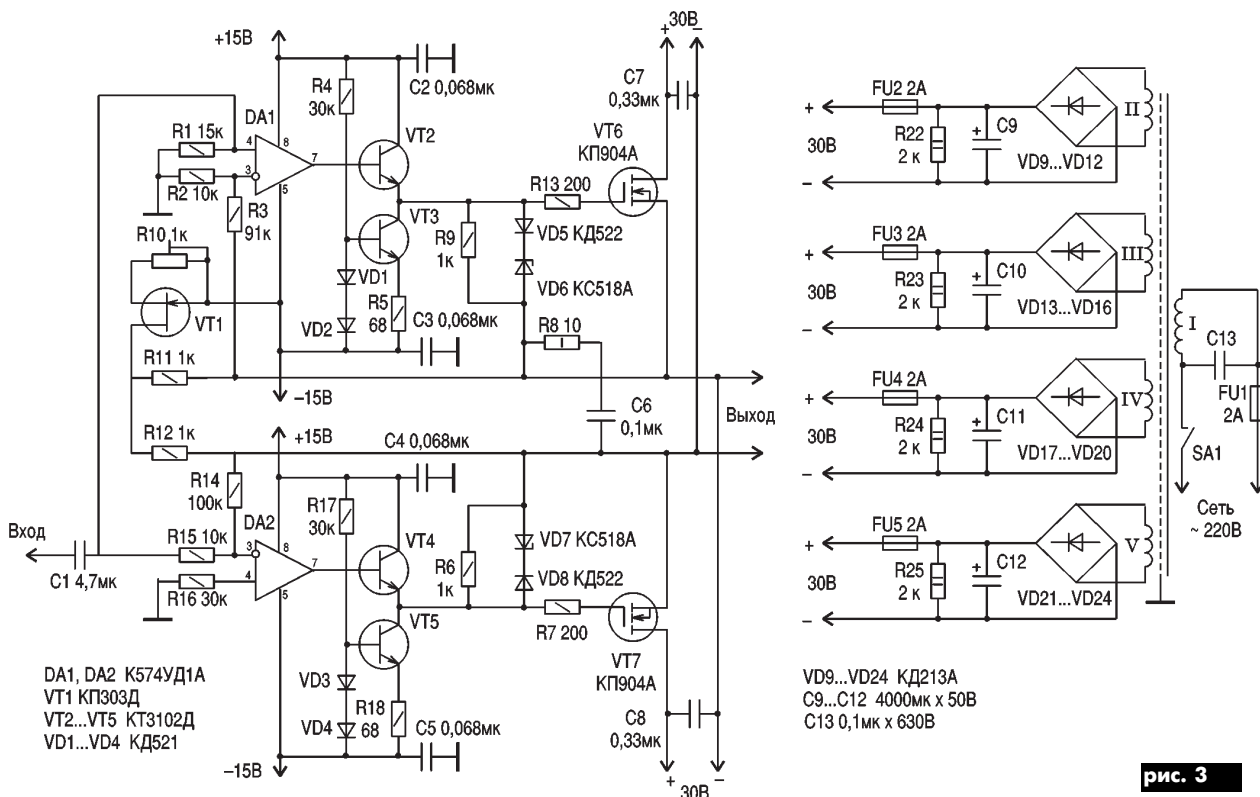


рис. 3

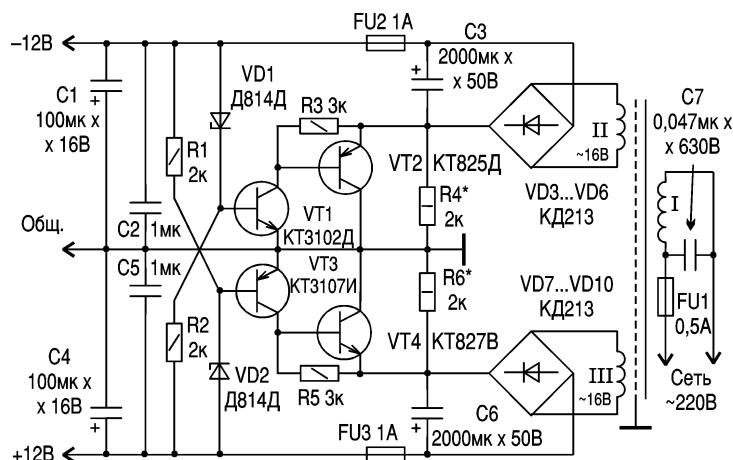


рис. 4

струирован на базе УМЗЧ высокой верности [3]. Поскольку УМЗЧ находились в непосредственной близости от громкоговорителей, то система компенсации искажений соединительных проводов ("чистая земля") и триггерная защита из схемы удалены. Схема УМЗЧ высокой верности, описанная в [4], при этом значительно упростилась практически без ухудшения технических характеристик.

Отметим, что процесс налаживания всего звукоспроизводящего комплекса для трехполосного усилителя упрощается.

О деталях. Полевые транзисторы типа КП303Д можно заменить на другие из этой серии с любой буквой или на КП307. Очень хорошо работают и полевые МОП транзисторы типа КП305, КП902 с изолированным затвором (они очень чувствительны к статическому заряду). Транзис-

тор VT1 (КП901А) можно заменить на КП904А (использовались экземпляры с начальным током стока порядка 1–5 мА). Если же $I_{\text{с.нач}} \geq 20$ мА, то, возможно, не потребуется цепь подачи положительного смещения (резисторы R1 и R3 на рис.2). Левый вывод резистора R2 при этом соединяют с общим проводом. Значительно уменьшать сопротивление резистора R4 не следует, так как будут возрастать вносимые этой схемой нелинейные искажения.

Усилитель (рис.2) неплохо согласуется с небольшим входным сопротивлением УМЗЧ (рис.3, $R_{\text{вх}} \sim 5$ кОм). Все полевые транзисторы VT1–VT12 схемы кроссовера (рис.1) можно заменить на любые полевые транзисторы с аналогичными характеристиками, в том числе и р-типа (КП103, К504НТ3 и т.п.). Сборки полевых транзисторов сокра-

щают количество используемых элементов.

Схема блока питания кроссовера изображена на рис.4. Это известное схемотехническое решение, сочетающее в себе достоинства компенсационного и параметрического типов стабилизаторов. Коэффициент стабилизации не менее 1000, выходное сопротивление несколько сотых ома. Несмотря на простоту схемного решения, блок питания имеет хорошие параметры. Конденсаторы типов КСО и К73-17, электролитические конденсаторы типа К50-35 и др. Резисторы типа МЛТ, транзисторы типа KT825 и KT827 (VT2 и VT4 на рис.4) использованы для упрощения схемы стабилизатора и повышения надежности устройства кроссовера в целом. При использовании полевых транзисторов типа КП305 и КП103 необходимо снизить питающие напряжения почти в два раза. Для КП103 необходимо поменять полярность подключения источников питания и электролитических конденсаторов C8, C23 (рис.1).

Налаживание УМЗЧ (рис.3) сводится к установке требуемого тока покоя выходных транзисторов (VT6 и VT7) в пределах 150–200 мА. Налаживать без ошибок собранный блок фильтров (рис.1) из исправных деталей не требуется.

Литература

1. Чантuria A. Трехполосный усилитель // Радио.– 1981.– №5, 6.– С.39.
2. Якименко Н. Полевые транзисторы в мостовом УМЗЧ // Радио.– 1986.– №9.– С.38.
3. Корзинин М. Схемотехника усилителей мощности звуковой частоты высокой верности // Радио.– 1995.– №12.– С.17.
4. Сухов Н. УМЗЧ высокой верности // Радио.– 1989.– №6.– С.55.



Удвоим количество каналов

Н. П. Горейко, г. Ладыжин, Винницкая обл.

Резкое расширение ТВ вещания по кабелю и в эфире в наших городах оказалось неожиданным для большинства владельцев отечественных телевизоров. Приходится крутить ручки подстройки ТВ каналов каждый день. Вместе с тем расширить количество принимаемых каналов в 2-3 раза совсем нетрудно.

Рассмотрим фрагмент блока выбора программ (рис.1). При подаче в точки 1..8 напряжения +30 В часть этого напряжения с движка "выбранного" потенциометра через свой диод подается на повторитель напряжения и далее – к варикапам настройки СКМ, СКД либо СКВ.

Для расширения количества принимаемых каналов вдвое следует подавать напряжение +30 В не на один потенциометр настройки, а на два одновременно.

Дополнительную линейку потенциометров R1..R8 необходимо снабдить "своими" диодами. Теперь осталось разрезать дорожку в блоке выбора программ, соединяющую диоды VD1..VD8 с базой повторителя напряжения, и подключить переключатель SA1 (рис.2).

После переделки нажатие кнопки выбора канала приводит к подаче напряжения на "старый" и "новый" потенциометры настройки. Переключателем SA1 остается выбрать напряжение настройки одного из двух потенциометров.

Напомним: выбор диапазонов приема, цепи коммутации каналов и индикация выбранного канала остались прежними, но это не сбивает с толку пользователя, привыкшего крутить подстроочные движки. Если в каком-то поддиапазоне нечетное

число принимаемых каналов, нужно один из номеров каналов в обоих положениях переключателя SA1 настроить на один и тот же канал. При шести кнопках в блоке выбора каналов надо из новой линейки потенциометров использовать не 8, а 6 элементов.

Если в схеме телевизора выбор каналов осуществляется подачей нулевого напряжения, то полярность включения диодов будет противоположной. Соединять линейку потенциометров со схемой телевизора удобно плоским жгутом, а крепить лучше всего снаружи на правой стенке аппарата так, чтобы нумерация канальных потенциометров шла снизу вверх (как этажи дома), так легче для запоминания.

Не советую устанавливать кнопочный переключатель – будут трудности с запоминанием. Лучше установить микротумблер на передней панели или на боковой стенке телевизора. Рычажок тумблера должен указывать в одном положении на соответствующие ручки подстройки, чтобы меньше было путаницы.

Можно установить двухсекционный переключатель (рис.3), чтобы дополнительная секция подавала питание на один из светодиодов. Светодиод, установленный возле "своей" линейки потенциометров, указает на выбранную группу каналов.

Если Вы пользуетесь ПДУ с малым количеством сигналов, можно пожертвовать функцией включения/выключения питания телевизора и подсоединить цепи контактных групп силового реле вместо переключателя SA1. Перед выполнением этой

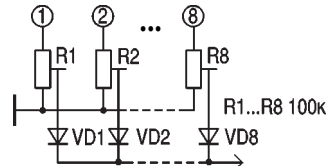


рис. 1

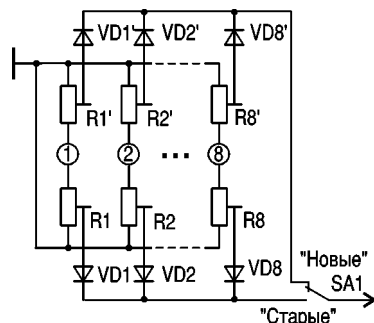


рис. 2

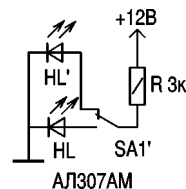


рис. 3

работы следует убедиться, что имеющееся реле способно не только замыкать, но и переключать контакты. Если переключающего контакта нет – придется установить малогабаритное реле вместо имеющегося (этот вариант даже более предпочтителен: меньше будет "возни" с цепями 220 В и меньше опасность соединения сети с низковольтными цепями блока выбора программ).

Если такая переделка не позволяет принимать все имеющиеся каналы, необходимо ввести еще одну линейку потенциометров и применить переключатель на три положения, тогда 6 кнопок позволят выбрать 18 программ, а 8 кнопок – 24 программы.

Реанимация ламповых "ветеранов"

С. А. Елкин (UR5XAO), г. Житомир

При ремонте ламповых радиоприемников (РП) в связи с "почтенным возрастом" их часто встречается весьма досадная неисправность – пропадание контакта обмоточного провода и гибкого вывода, по которому напряжение сети 220 В поступает на трансформатор. Окисление места соединения происходит, по-видимому, из-за применения и плохой промыв-

ки от активных флюсов. Проблема заключается в том, что не хочется разбирать исправный по одному из возможных напряжений питания трансформатор, да и по "закону бутерброда" окисляется именно начало второй обмотки 110 В, что предполагает при проведении ремонта снятие накального, повышающей и экранирующей обмоток. Поскольку коэффициент заполнения окна магнитопровода медью обмотки достаточно высок (требуется тщательно укладывать провод), то нужен хороший намоточный станок, обеспечивающий необходимое натяжение провода.

Если после ремонта укладывать "родной" провод, то и здесь есть свой "подводный камень" – эмаль провода после

одного, второго изгиба "сыплется", и все равно требуется полная разборка и перемотка "свежим" проводом. Выход – включение последовательно с исправной обмоткой на 127 В конденсатора емкостью 4 мкФ х 400 В (для приемников 3–4 класса с потребляемой мощностью 40–60 Вт), который "гасит" до необходимого уровня напряжение питания. Некоторое первичное изменение яркости лампочек подсветки и накала радиоламп не приводит к их выходу из строя, поскольку оно весьма недолговременно и имеет плавный характер. Для более мощных РП емкость этого конденсатора придется подобрать, ориентируясь в установленном режиме на величину напряжения накала.



Домашнее кино по-киевски

НОВЫЙ ЦВЕТНОЙ телевизор ЕМКА 28-ТК

С. С. Карнаушенко, М. В. Бурляй, г. Киев

Отечественный производитель осваивает новую "нишу" на рынке телевизоров! Киевское НПО ЭЛЕКТРОНМАШ, в прошлом один из лидеров в производстве вычислительной техники, начинает выпуск телевизора ЕМКА в классе больших диагоналей. Схемотехника телевизора не имеет "наворотов", характерных для аппаратов этого класса мировых производителей. В нем применен тот же процессор TDA8362 фирмы PHILIPS, что и в 21-дюймовом харьковском БЕРЕЗКА 54ТЦ-601Д (см. РА7/2000), а значит, нет даже корректора цветовых переходов. Однако для повышения четкости изображения в новом аппарате применен фирменный ("электронмашевский") субмодуль аналого-дискретной обработки цветоразностных сигналов и сигнала яркости (CCD). Кроме того, ЕМКА имеет тюнер с синтезом частоты (цифровой). Такая схемотехника позволила производителю выпустить телевизор в классе больших диагоналей по цене (2550 грн. или порядка \$450 по сегодняшнему курсу), характерной, скорее, для аппаратов с диагональю 25 дюймов! Благодаря такому соотношению цена/качество, ЕМКА может стать лидером среди "больших экранов" для систем домашнего театра.

Технические характеристики телевизора

Плоский экран с диагональю 28 дюймов (70 см)
Система повышения четкости изображения (CCD)
Тюнер с синтезом частоты (РЧ)
Поиск каналов "вверх" и "вниз"
Память на 100 программ
Разъем типа SCART
Автоматическое выключение через 5 мин после окончания трансляции
ПДУ с полным набором функций
Функция приглушения звука
Таймер автоматического выключения (15, 30, 45, 60, 90 и 120 мин)

Киевское НПО ЭЛЕКТРОНМАШ – крупнейшее в Украине предприятие по производству вычислительной техники, в 2000 г. приступило к производству цветных телевизоров ЕМКА 28-ТК собственной разработки с применением современной элементной базы.

Структурная схема телевизора показана на **рис. 1** (схема принципиальная электрическая – на с. 32, 33). Телевизор состоит из моноблока, платы кинескопа с видеоусилителями, платы управления с фотоприемником и кинескопа Panasonic A66ECF50X05 Super Pigment^{Plus}.

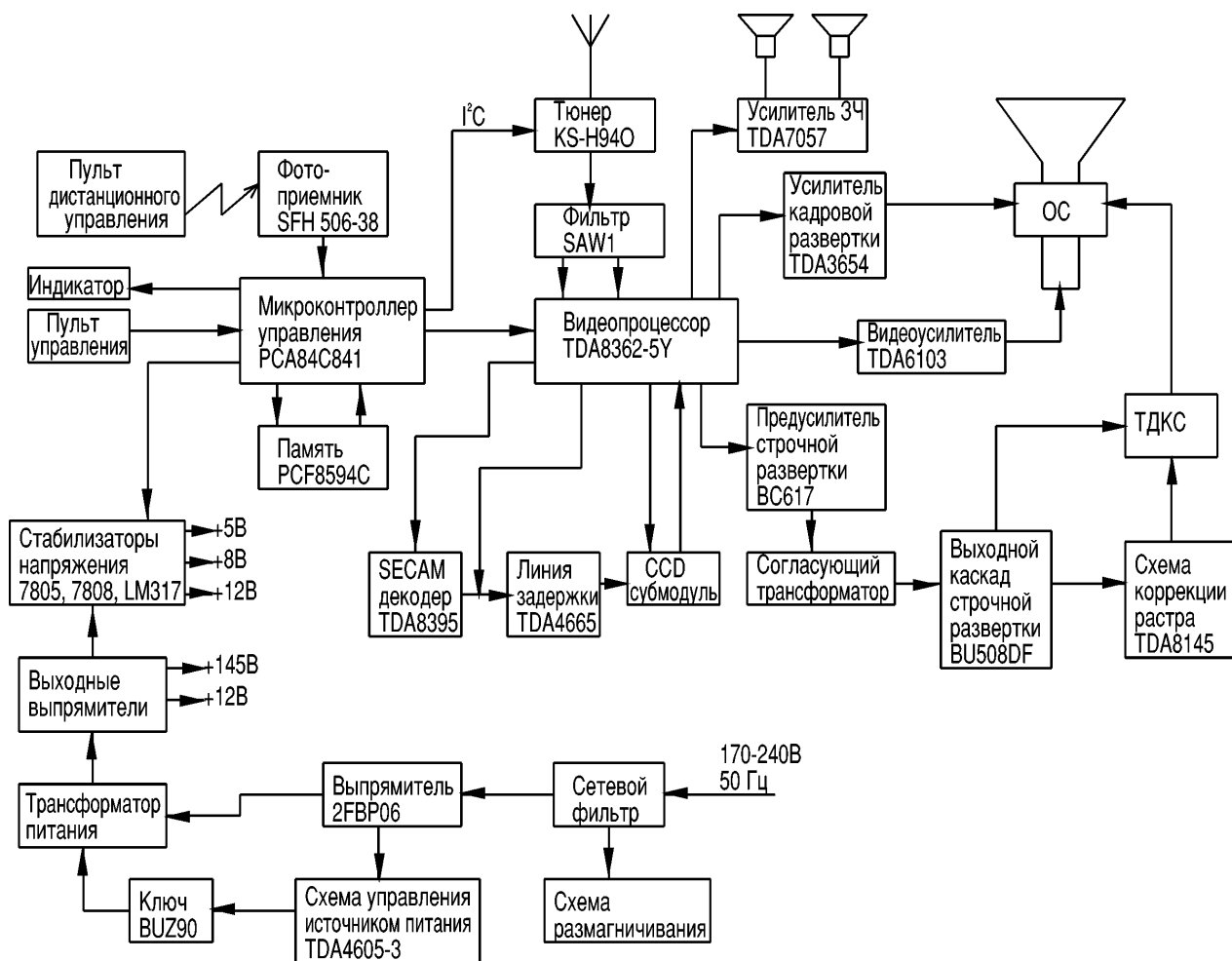
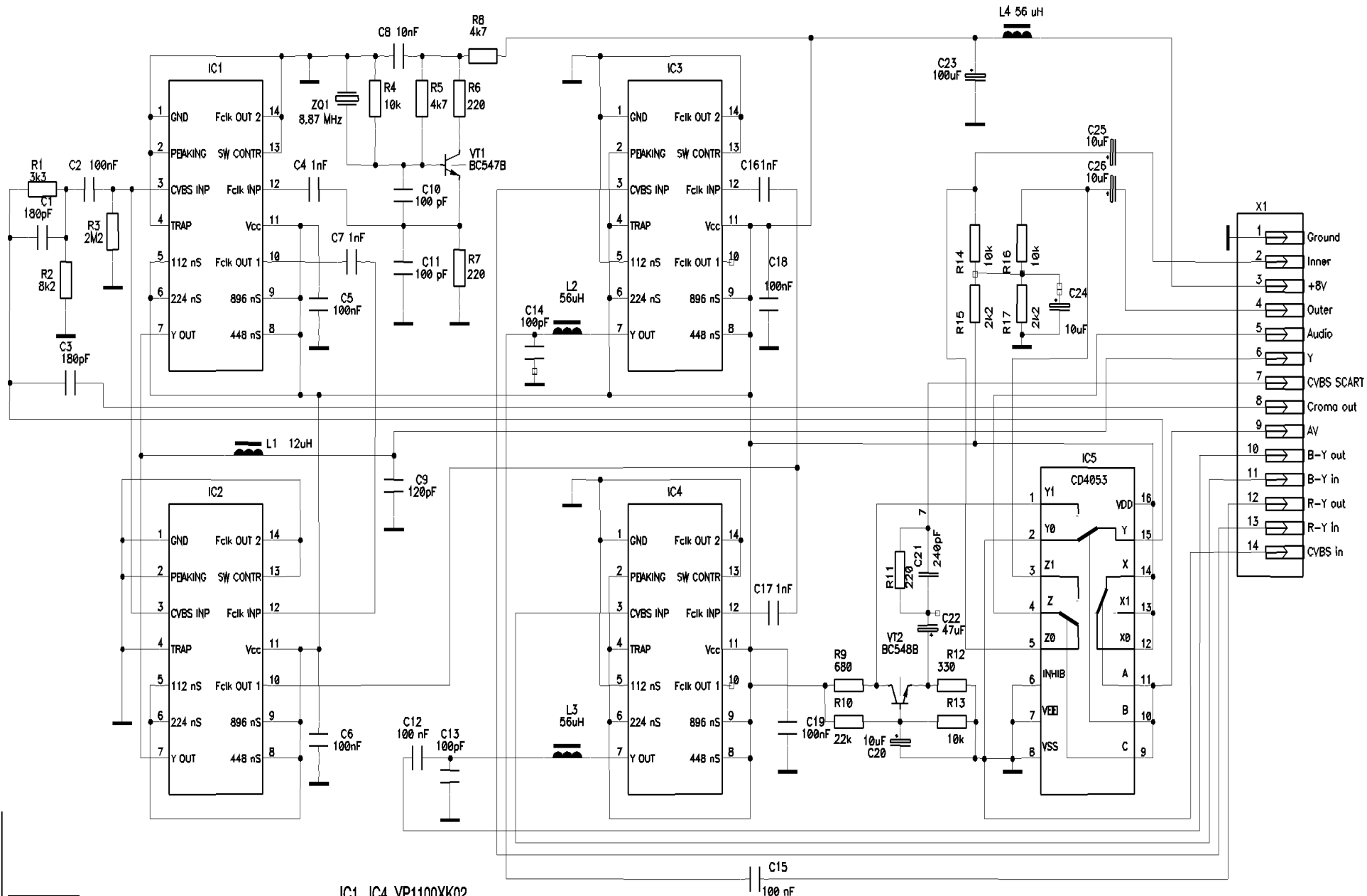


рис. 1

рис. 2





Основная обработка сигналов производится на ИМС TDA8362-5Y фирмы PHILIPS, которая содержит усилители промежуточной частоты изображения (УПЧИ) и звука (УПЧЗ), селекторы синхроимпульсов и предварительные каскады кадровой и строчной разверток, демодуляторы сигналов систем PAL, NTSC, матрицу сигналов RGB, оперативные регуляторы яркости, контрастности, насыщенности и четкости изображения.

Для декодирования сигналов системы SECAM применяют внешний декодер на ИМС TDA8395. При этом обеспечивается мультисистемное декодирование систем PAL/NTSC/SECAM без внешних настроек. Однако декодер системы NTSC не используется, поэтому в нем применен только один кварцевый резонатор на частоту 4,433619 МГц, подключенный к ИМС TDA8362. В таком включении процессор не пытается идентифицировать систему NTSC, а лишь проверяет сигнал по принципу: PAL – не PAL.

В радиотракте телевизора применен селектор каналов KS-H-940 фирмы SELTEKA (г. Каунас). Он установлен на плате моноблока таким образом, что его вход является антенным входом телевизора. Селектор предусматривает прием программ в диапазонах МВ, ДМВ и кабельных поддиапазонах, а также в "гипердиапазоне". Принцип действия селектора основан на синтезе частоты, его обычно называют PLL (Phase Locked Loop – замкнутая петля ФАПЧ). Иначе его называют цифровым, так как он управляемый микроконтроллером телевизора (ИМС PCA84C841) по двухпроводной двунаправленной цифровойшине I2C. Синтез частоты существенно повышает точность настройки на телестанцию, упрощает пользование телевизором, в то же время сохранив возможность подстройки для получения оптимального качества изображения.

Телевизор управляется микроконтроллером PCA84C841 фирмы PHILIPS. Он осуществляет прием и дешифрацию команд управления, подаваемых с ПДУ; совместно с микросхемой энергонезависимой памяти PCF8594C – хранение 99 программ с информацией о настройке телевизора, установленных уровнях яркости, громкости, контрастности, насыщенности, четкости; формирование сигналов для индикации режимов работы телевизора на экране кинескопа (OSD – On Screen Display).

Фотоприемник SFH 506-38 установлен на плате управления телевизором и является интегрированным в одном корпусе фотоприемником, усилителем и фильтром, выделяющим частоту импульсно-кодовой модуляции.

Главной особенностью телевизора является применение

CCD субмодуля аналого-дискретной обработки цветоразностных сигналов и сигналов яркости (**рис.2**), который позволяет значительно повысить четкость изображения. Благодаря его использованию цена аппарата не выше дешевых телевизоров фирм DAEWOO, SANYO, VESTEL, BEKO, но качество изображения не уступает дорогим моделям PHILIPS, SONY, PANASONIC. Аналого-дискретная обработка объединяет все преимущества цифрового метода (линейная фазовая характеристика фильтров, широкая полоса сигнала яркости, отсутствие искажений в импульсных сигналах, точные характеристики без потребности в корректировке) без его основного недостатка – высокой стоимости аппаратуры. Аналого-дискретные фильтры позволяют устранить отличия в качестве изображения между PAL и SECAM системами, благодаря глубокой режекции поднесущей частоты гребенчатым фильтром, сохраняющим все мелкие элементы изображения, что недостижимо с обычными аналоговыми яркостными цепями (катушки, гираторы).

Блок питания телевизора построен по схеме стабилизированного преобразователя с бестрансформаторным выходом, работающего на повышенной частоте (30–60 кГц). Входное сетевое напряжение (170–242 В) выпрямляется сетевым выпрямителем, а полученное постоянное напряжение (250–350 В) питает мощный преобразователь. Преобразователь собран по схеме с так называемым "обратным" включением диодов: разделением во времени работы транзисторного ключа на сетевой (первичной) стороне и работы выпрямителей на вторичной стороне.

Устройство управления блоком питания собрано на микросхеме фирмы SIEMENS TDA4605-3, предназначенный для управления мощным транзистором МДП структуры BUZ90 этой же фирмы. Особенность микросхемы – малый потребляемый ток перед включением по выводу питания, что позволяет запускать ее от маломощной цепи.

Поскольку при работе импульсных источников питания формируются импульсы амплитудой в сотни вольт с крутыми фронтами, они выдают в сеть помехи в широком диапазоне частот. Для борьбы с такими помехами в блоке питания установлен сетевой фильтр подавления помех.

Оконечный видеосигнал на микросхеме фирмы PHILIPS TDA6103 установлен на плате кинескопа. Микросхема имеет полосу пропускания 7,5 МГц при скорости нарастания выходного сигнала 1600 В/мкс. Она включает в себя три выходных видеосигнала, управляющих катодами кинескопа, изготовленных по высоковольтной DMOS технологии.

Читатель советует

Ю. Бородатый, Ивано-Франковская обл.

Если "ревет" один из дросселей резонансного стабилизатора, забейте деревянный клин между его катушками.
* * *

Шуп станет универсальным, если с обратной стороны его на коротком проводе припаять "крокодил" в резиновом чехле.
* * *

Канифоль можно изготовить самому, собрав в лесу сосновую (не еловую!) смолу и перетопив ее в консервной банке.
* * *

Обработанные водным раствором щелочи стальные контакты (например, батарейного отсека переносной магнитолы или пульта ДУ) никогда не заржавеют.
* * *

Из старых спиц от велосипеда или зонта, вплавленных паяльником в цилиндрические куски пластмассы, получаются удобные регулировочные отвертки.
* * *

Посыпав место пайки песком или натерев крошащимся камнем, можно паять обычными методами даже алюминий.
* * *

Вместо высоковольтного провода можно использовать обычный, пропустив его через трубку от капельницы.
* * *

Диэлектрические (диамагнитные) отвертки можно выпилить из старых стеклотекстолитовых плат.

* * *

Сортировать всякую всячину поможет магнит, завернутый в бумагу или полиэтилен.

* * *

При замене радиодетали освободить отверстие от припоя можно заостренной спичкой.


KHALUS Electronics ЭЛЕКТРОННЫЕ КОМПОНЕНТЫ
ИЗМЕРИТЕЛЬНЫЕ ПРИБОРЫ



ATMEL * FRANMAR * TEKTRONIX
VISHAY * AD * NSC * TI * EPCOS

Украина, Киев, 03141, а/я 260
Тел./Факс: (044) 2776536
E-mail: sales@khalus.com.ua
WEB: http://www.stas.net/khalus



Усовершенствование цветных телевизоров 3-го - 5-го поколений

Улучшение качества изображения. Модуль цветности МЦ-107

М. Г. Лисица, Л. П. Пашкевич, В. А. Рубаник, Д. А. Кравченко, г.Киев

Новый модуль цветности от ЛДС ND Corp. МЦ-107, благодаря применению двусторонней печатной платы и SMD-монтажа, имеет размеры (55x150 мм), вдвое меньшие, чем у МЦ-97 [1], и вчетверо меньшие, чем у серийных МЦ-31, МЦ-41. В выходном каскаде МЦ-107 вместо микросхемы TDA6103 (в МЦ-97) применена МС TEA5101A фирмы THOMSON с полосой пропускания 11 МГц (вместо 7,5 МГц) и меньшим количеством элементов обвески.

Больше года назад Лаборатория дистанционных систем (ЛДС) ND Corp. начала серию публикаций, посвященную модернизации устаревших телевизоров. Первым в ряде статей было описание новейшего на то время модуля цветности МЦ-97, созданного на базе уже давно выпускавшихся МЦ-57, МЦ-67 [1]. Были даны полное описание модуля, его функциональных возможностей и особенностей, рекомендации по установке и использованию.

Статья имела большой успех и долго обсуждалась среди радиолюбителей и специалистов. Одновременно специалисты ЛДС совершили МЦ. За год, прошедший с тех пор, печатная плата его претерпела три коррекции: обновлена схема электрическая принципиальная, изменено расположение некоторых элементов на печатной плате, добавлены недостающие подстроочные элементы и т.д. Среди особенно заметных доработок следующие: создано два параллельных посадочных места для различных декодеров цвета – микросхем TDA4657 или TDA4655; добавлен третий подстроечный резистор, изменяющий амплитуду выходного сигнала R с видеопроцессора на видеоусилитель (ранее регулировались только

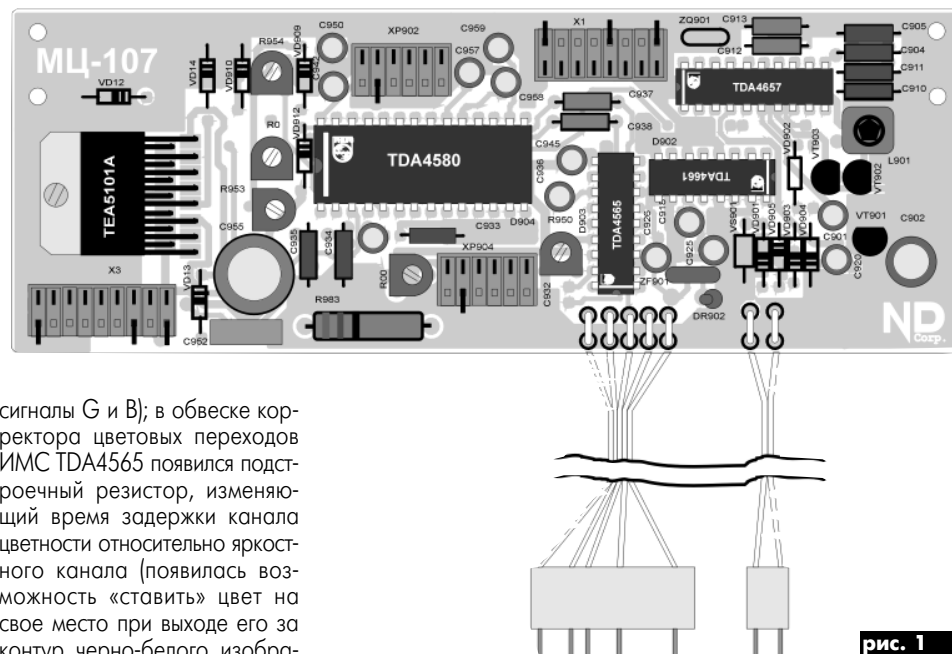


рис. 1

сигналы G и B); в обвеске корректора цветовых переходов ИМС TDA4565 появился подстроечный резистор, изменяющий время задержки канала цветности относительно яркостного канала (появилась возможность «ставить» цвет на свое место при выходе его за контур черно-белого изображения); добавлена цепочка (стабилитрон КС147А и резистор с номиналом 6,2 кОм), ограничивающая амплитуду входящего в МЦ сигнала КГИ.

Параллельно с модернизацией МЦ-97 создавался новый блок, получивший название МЦ-107. При такой же структурной схеме новый модуль имеет габаритные размеры (55x150 мм), вдвое меньшие, чем МЦ-97 [1]. МЦ-107 обеспечивает:

- распознавание систем цветовой передачи ПАЛ, СЕКАМ, НТСЦ 4.43;

- коррекцию цветовых переходов;

- качественную режекцию яркостного канала;

- широкую полосу яркостного канала;

- два RGB входа от внешних источников;

- автоматический баланс белого и черного;

- отработку тока луча с катодов кинескопа;

- измерение токов катодов при запуске кинескопа;

- защиту выходного видеоусилителя;

полную совместимость с другими блоками стандартных телевизоров 3-го – 5-го поколений.

Главное достоинство МЦ-107 – применение видеопроцессора TDA4580. Как уже отмечалось, это не самый новый видеопроцессор фирмы PHILIPS, однако, на наш взгляд, самый удачный с аналоговым управлением. Благодаря его применению не нужно подавать на МЦ цепь регулировки ограничения тока луча кинескопа с модуля строчной развертки, так как микросхема сама отслеживает ток луча. Это особенно удобно при подключении МЦ-107 в моноплатные телевизоры (в том числе и в импортные). Видеопроцессор имеет полосу пропускания 10 МГц, достаточную для пропускания яркостного сигнала без завалов АЧХ на высоких частотах. Например, видеопроцессор TDA3505 (ближайший по характеристикам) имеет полосу пропускания 6 МГц, а значит, четкость изображения при его применении гораздо ниже. Привязка уровня черного по входу видеопроцессора TDA4580 обеспечивает естественную передачу видеосигнала. При этом черные неокрашенные участки изображения всегда остаются настолько черными, насколько позволяет цвет люминофора кинескопа. Ни в одном из предшествующих процессоров эта функция не реализована. В TDA4580 есть автоматический баланс белого, а значит, никаких подстроек телевизора и МЦ со временем не понадобится. Баланс белого и черного также повышают естественность изображения.

В свое время МЦ-97 поразил всех своими размерами и качеством полученного после его установки изображения. Теперь настала очередь МЦ-107, и он удивляет даже самых искушенных радиолюбителей. Ведь его размеры вчетверо меньше, чем у серийных МЦ-31, МЦ-41. При этом нет никаких субмодулей и навесных элементов.

Создание такого миниатюрного блока стало возможным, благодаря применению бескорпусных элементов (SMD-монтажа) и двусторонней печатной



МЦ-107
ND Corp.
DESIGNED

A2

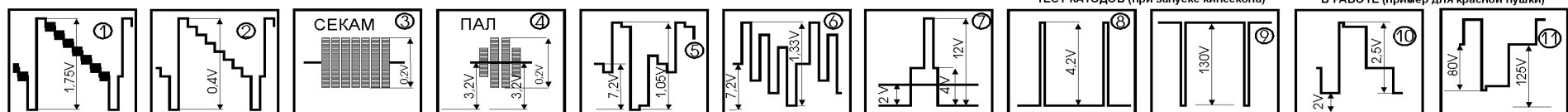
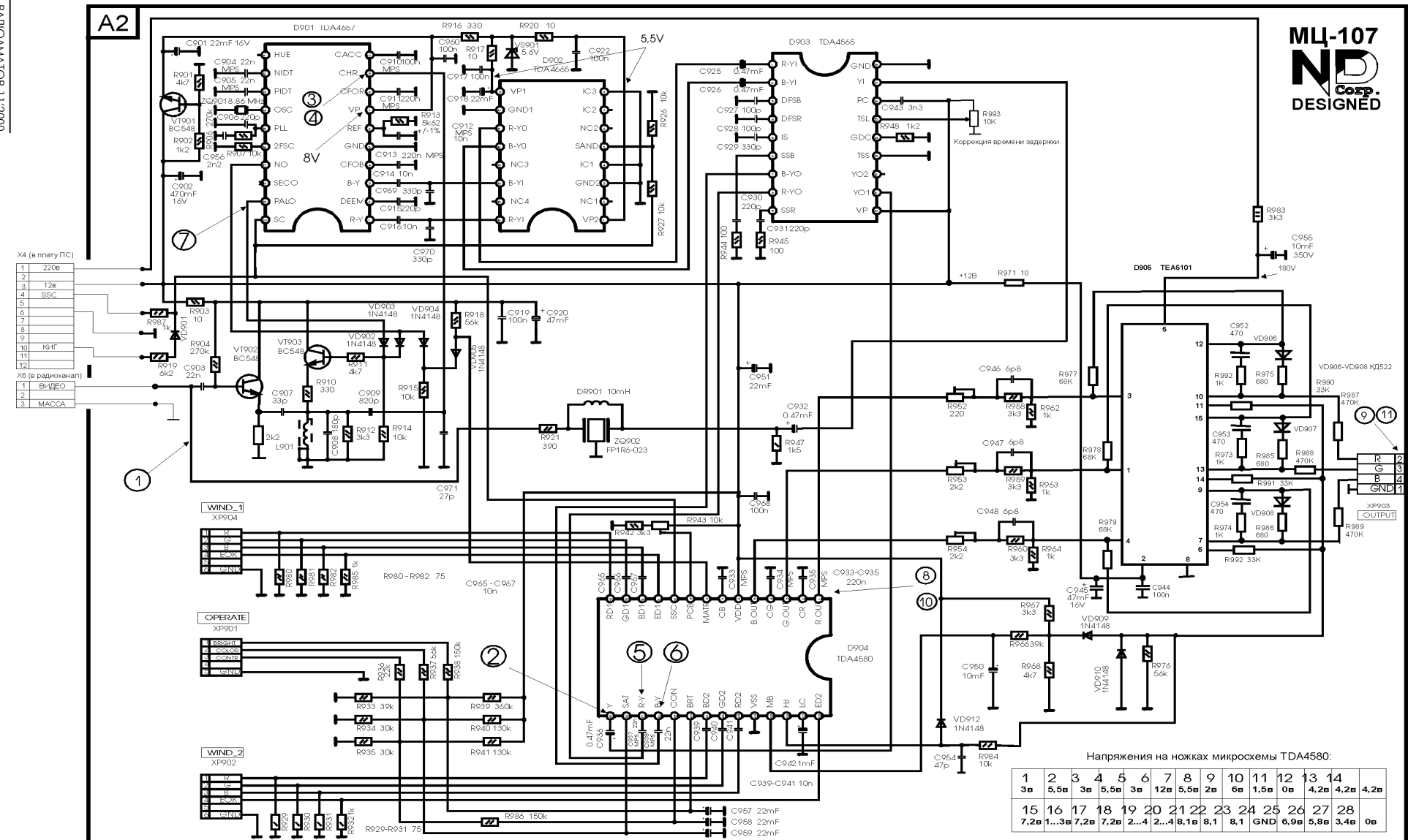


рис. 2



платы (**рис. 1**). Кстати, благодаря двустороннему расположению дорожек, их длина теперь минимальна, и, как следствие, нет помех, связанных с длиной дорожек или их расположением относительно других параллельных печатных проводников.

В отличие от предыдущих модулей в МЦ-107 обновлен выходной каскад. Вместо уже хорошо зарекомендовавшей себя ИМС TDA6103 установлена ИМС TEA5101A фирмы THOMSON. По техническим характеристикам эта микросхема отличается: полоса пропускания уже 11 МГц (вместо 7,5 МГц); меньшее количество элементов обвески (например, нет трех транзисторов BC423, обеспечивающих съем измерительных импульсов с катодов кинескопа для видеопроцессора) и многое другое. TEA5101A установлена прямо на печатной плате МЦ на специально предназначеннное место верхнего слоя печатного монтажа. При этом луженое медное покрытие текстолита и специальная тепло проводящая паста являются хорошим теплоотводом для видеоусилителя. Рядом с ИМС в плате есть специальное отверстие для крепления МЦ к раме телевизора. Итак, часть печатной платы и рамы являются своеобразным радиатором.

МЦ-107 выпускают в двух вариантах: с видеоусилителем, расположенным непосредственно на печатной плате или на металлическом радиаторе, прикрученном к плате МЦ. Второй вариант необходим, если МЦ устанавливают в пластмассовую раму или в нестандартный телевизор.

Остальные микросхемы модуля и схемы их подключения остались неизменными. На схеме (**рис.2**) показаны микросхемы: видеопроцессор TDA4580, корректор цветовых переходов TDA4565, аналогово-цифровая линия задержки TDA4665, декодер цветности TDA4657. Все они хорошо зарекомендовали себя ранее в МЦ-97. Возможен вариант модуля с применением в роли декодера ИМС TDA4655. В этом случае МЦ-107 может работать не в трех, а в четырех системах: PAL, SECAM, NTSC 3.58, NTSC 4.43. Структурные схемы обоих декодеров практически одинаковы, поэтому работают они аналогично. Разница лишь в количестве принимаемых систем и в

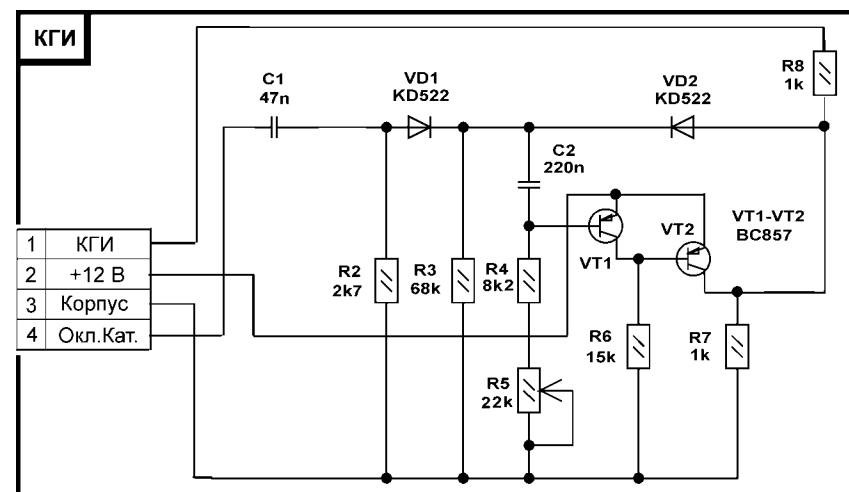


рис. 3

корпусах микросхем (ИМС TDA4655 немного больше по размеру).

Режекция яркостного канала в МЦ-107 (как и в МЦ-97) основана на применении пьезокерамического резекторного фильтра ФП1Р6-023. Он используется для подавления поднесущих частот цвета, имеет номинальную частоту 4,3 МГц; относительное затухание на частоте 3,5 МГц не более 3 дБ, на частотах 4,02 и 4,686 МГц не менее 15 дБ, на частоте 4,35 МГц 12±3 дБ. Эта схема яркостного канала дает достаточную режекцию при приеме видеосигнала системы SECAM и отличную фазовую коррекцию. Отсутствие активных компонентов и минимум пассивных в схеме снизило шумы и повысило надежность МЦ.

Благодаря малым габаритам, МЦ-107 очень удобен для стыковки с «моноплатными» импортными и отечественными телевизионными приемниками. А зачем такая достаточно дорогая доработка стандартного телевизора? Все дело в четкости, естественности и качестве изображения. Как уже отмечалось [2], моноплатные телевизоры, как правило, собраны на одном центральном процессоре, часто фирмы PHILIPS (ИМС TDA8362A). В нем находятся задающие генераторы строчной и кадровой разверток, часть радиоканала и модуль цветности. Так вот, МЦ, основная часть которого находится в ИМС, оставляет желать лучшего. Во-первых, в нем нет корректора цветовых переходов; во-вторых, не очень качественный яркостной канал. Все недо-

статки МЦ таких моноплат устраняются заменой модуля на новый. Изображение при этом становится качественнее, чем на новом импортном телевизоре. Исключение составляют лишь некоторые модели самых дорогих телевизоров, например, SONY или PHILIPS.

Плату нового МЦ можно расположить на плате телевизора, как субмодуль (вертикально) или горизонтально на специальных стойках, продуманных заранее. Шлейфы модуля разводят в телевизоре по схеме, прилагаемой к МЦ, и схеме телевизора. Даже в случае отсутствия последней (как правило, МЦ устанавливают в телевизоры, бывшие в употреблении, или в старые, привезенные из Западной Европы) найти необходимые сигналы на моноплате несложно. Для этого нужны лишь осциллограф и простейший тестер.

Видеоусилители в таких телевизорах находятся непосредственно на плате кинескопа (ПК), поэтому их необходимо отключить либо заменить ПК на новый. Это может быть стандартная ПК-3.1 из отечественного 3-5УСЦТ телевизора. Если разъем на плате не подходит к кинескопу, то его (разъем) следует поменять на подходящий. В такой замене ПК (она совсем недорогая) легче состыковывать МЦ-107 с кинескопом.

При выполнении работы можно столкнуться с некоторыми проблемами. Чаще всего – это отсутствие на моноплате (или несовпадение формы) синхроимпульсов стробирования (SSC) и кадрового импульса гашения (КГИ). В этом случае

можно отыскать сигнал SSC. Он подается на соответствующий контакт разъема X4 МЦ. Если по осциллографу форма сигнала SSC отличается от описанной в литературе, то необходимо собрать две дополнительные схемы: одна для формирования SSC (подается на контакт 4 разъема X4 МЦ), вторая синтезирует сигнал КГИ (подается на контакт 10 разъема X4 МЦ).

Первую схему собирают с использованием субмодуля синхронизации (УСР) от стандартного 3УСЦТ телевизора. На него подают сигналы: С.И.О.Х.+60 В, ВИДЕО, +12 В и КОРПУС, а снимают сигнал С.И.СТРОБ. Вторая схема (**рис.3**) аналогична схеме, примененной в модуле кадровой развертки МК-1.1. Контакт 4 разъема X1 данной схемы подключают непосредственно к одному из выводов кадровой катушки кинескопа. С контакта 1 снимают КГИ.

Печатная плата для сборки схемы формирования КГИ разработана специалистами ЛДС ND Corp. Приобрести ее можно на радиорынке г.Киева (мсто 469).

Модуль цветности можно приобрести на рынках практически всех крупных городов Украины. Более подробную информацию можно получить по т/ф (044) 236-9509, e-mail: nd_corp@profit.net.ua, либо на сайте ЛДС ND Corp. http://www.profit.net.ua/~nd_c.org.

Литература

1. Радиоаматор.-1999.-№6
2. Радиоаматор.-1999.-№12



Фото 1

Описана методика самостоятельного изготовления видеокамеры в домашних условиях из готовых модулей: видеоглазка или бескорпусной видеокамеры, видеоплейера, диктофона (или магнитофона) и телевизора.

Сделать видеокамеру в домашних условиях практически невозможно, так как ее узлы и детали выполнены по высоким технологиям, миниатюрны и прецизионны. Но конструктивно можно "собрать" видеокамеру из элементов (модулей), выполняющих ее отдельные функции (запись, контроль видеосъемки, воспроизведение). Предлагаемый вариант представляет собой комплекс для записи аналоговых сигналов ВИДЕО и АУДИО на "пишущий" видеоплейер или видеомагнитофон. Комплекс, названный мною HV-камерой (Home Video), предназначен для съемки в домашних условиях и доставит Вам и Вашей семье и близким немало приятных минут при просмотре отснятого видеоматериала. Подобных конструкций в литературе я не встречал, поэтому разработка может послужить радиолюбителям и инженерам основой для доработки и совершенствования. Комплекс прост по конструкции, я собрал его за несколько часов, повторить его может даже начинающий радиолюбитель (см. фото 1). При этом практически никаких сложных настроек не требуется. Структурная схема модульной HV-камеры показана на рис.1

В основу комплекса легла бескорпусная видеокамера. Точнее говоря, недорогой видеоглазок, применяемый в видеокамерах наружного наблюдения. Конструктивно он представляет широкоугольный короткофокусный объектив, расположенный на плате с чипами. ПЗС-матрица видео-

ВИДЕОКАМЕРА - СВОИМИ РУКАМИ

С.В.Кучеренко, Киевская обл.



Фото 2

Еще одной особенностью видеозаписи HV-камеры является то, что звук телевизора необходимо отключать (блокировать - MUTE) или уменьшать регулятором звука (пультом ДУ). Этим исключается паразитное возбуждение (микрофонный эффект), которое в данном случае проходит по условной линии "микрофон диктофона - динамики телевизора". При воспроизведении видеозаписи блокировку звука снимают и просматривают видеоматериал с нужным уровнем громкости звука телевизора. Разборчивость речи и четкость звука, полученной видеозаписи хорошие.

Некоторые модели БК на своей плате имеют инфракрасные светодиоды для съемки в ночных условиях. И действительно, ИК-подсветка позволяет "видеть" снимаемый объект на расстоянии до 2 м. Впечатление такое, будто объект освещается маломощным источником света. Объектив БК короткофокусный, поэтому присутствует неизменительный эффект "рыбьего глаза" - панорамирование с небольшой выпуклостью в центральной части. Оptимальный фокус находится на расстоянии от 1 до 5 м. Однако обнаружено, что резкость изображения в верхней полусфере объектива хуже, чем в нижней. Но, скорее всего, это связано с оптикой конкретной модели.

Встречаются бескорпусные видеокамеры с объективами, оптика которых не вызывает нареканий. Поэтому при покупке следует обратить внимание на "равномерную резкость" и качество изображения. Положительное качество оптики то, что она является просветленной. В схемотехнику бескорпусной видеокамеры введена АРУ по уровню видеосигнала. При резкой смене освещенности (например, при включении сильной лампы в комнате) яркость изображения автоматически быстро возвращается к норме. При недостаточном освещении заметна легкая "зернистость". Просмотр видеозаписи необходимо вести с видеоплейером в режиме PAL (если ваш видеоплейер/видеомагнитофон не имеет системы автораспознавания цветности).

Блок питания БК должен обеспечивать стабилизированное напряжение от +11,2 до +12 В, ток потребления - не ниже 200 мА. В авторском варианте использовался БП от персонального компьютера "Вектор-06Л", обладающий хорошим стабилизированным питанием. Видеоразъем "тюльпан" и гнездо питания установлены на корпусе "мыльницы" сзади. Длина шнура от камеры к БП 2...3 м.

Несмотря на кажущуюся "громоздкость" комплекса, наличие множества кабелей, им легко пользоваться. Единственное условие - не забывать включать

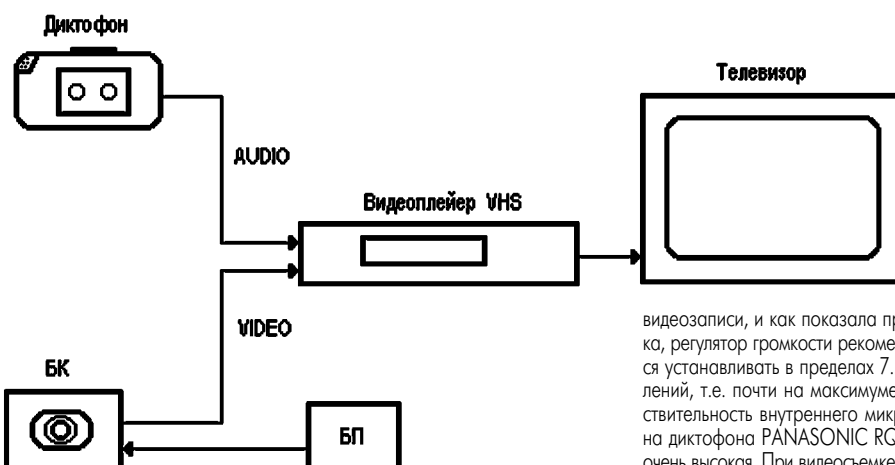


рис. 1

videозаписи, и как показала практика, регулятор громкости рекомендуется устанавливать в пределах 7...9 делений, т.е. почти на максимуме. Чувствительность внутреннего микрофона диктофона PANASONIC RQ-L319 очень высокая. При видеосъемке "с руками" диктофон и камеру удерживают в руках.



Таблица

Тип камеры	Изображение	Звук	Фокусировка	Качество изображения	Мобильность	Дополнит. оборудование	Цена
Бескорпусная видеокамера Комплекс HV	Ч-Б (PAL)	Моно	Нет фокус FREE	Приемлемое	Нет	Диктофон, блок питания	33 у.е.
Камкордер PANASONIC RX-11EN	Цветн. (PAL)	Моно	Ручн/Авто	Хорошее	Есть	Зарядное устройство, адаптер VHS-C - VHS	320 у.е.

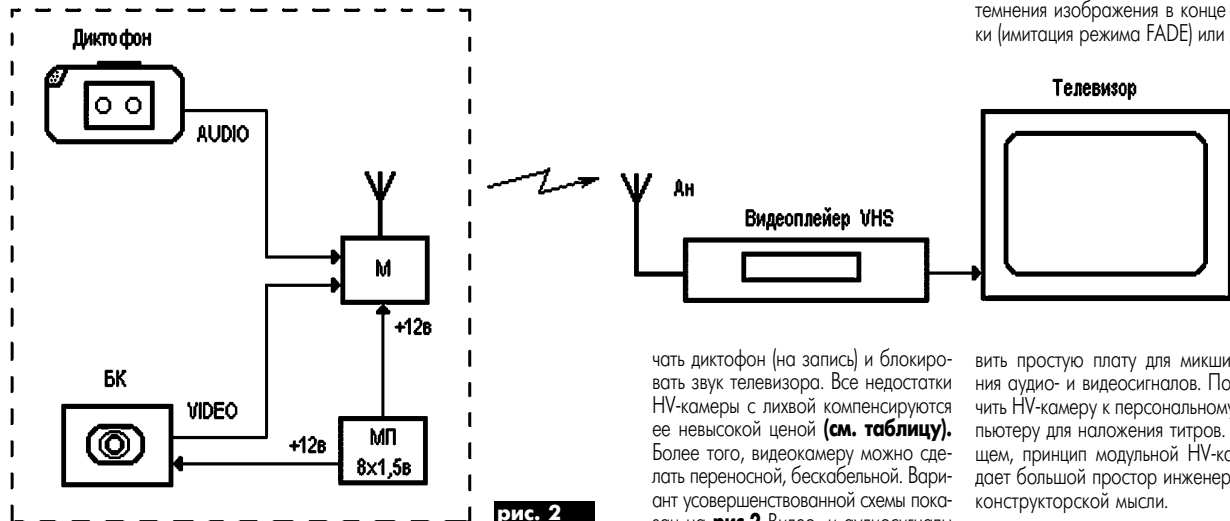


рис. 2

чать диктофон (на запись) и блокировать звук телевизора. Все недостатки HV-камеры с лихвой компенсируются ее невысокой ценой (см. таблицу). Более того, видеокамеру можно сделать переносной, беспроводной. Вариант усовершенствованной схемы показан на рис.2. Видео- и аудиосигналы

поступают на высокочастотный модулятор и с него передаются на антенну, подключенную к видеоплейеру. Блок питания можно заменить на автономный модуль питания (МП), состоящий из 8 элементов типа AA (или никель-кадмиевых аккумуляторов) и обеспечивающий суммарное напряжение 12 В.

Дальнейшие доработки можно провести с объективом. Также ввести регулятор видеосигнала для плавного затемнения изображения в конце съемки (имитация режима FADE) или доба-

Телевизор

"Бегущие огни"

М. Л. Каширец, г. Марганец, Днепропетровская обл.

Предлагаю Вашему вниманию очень простую схему "бегущих огней". Схему легко повторить, она выполнена на надежных, дешевых отечественных элементах, работает без сбоев

(присущих многим подобным схемам). Напряжение питания может изменяться в широком диапазоне (3...9 В).

Устройство состоит из генератора прямы-

и лампы накаливания, но через транзистор. Если подключить несколько ламп, то VT1 необходимо установить на небольшой теплоотвод. Вместо ламп также можно применить несколько включенных последовательно ультраярких светодиодов (УЯС) через резистор сопротивлением около 30 Ом. При применении светодиодов типа АЛ307БМ (без транзистора, при Uпит=6 В) ток потребления устройства не более 15 мА. При применении одного УЯС (с транзистором) ток около 70 мА (в зависимости от типа УЯС).

Устройство выполнено на фольгированном од-

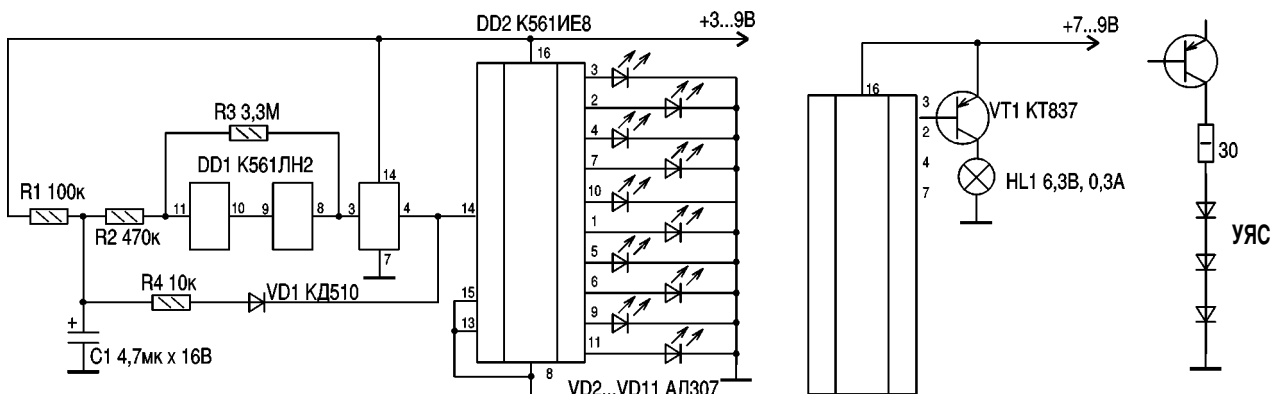


рис. 1

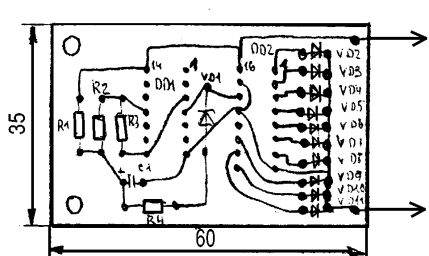


рис. 2

угольных колебаний на микросхеме DD1 (K561ЛН2). С выхода DD1 (вывод 4) сигнал поступает на вход десятичного счетчика - дешифратора DD2 (K561НЕ8). При каждом появлении на входе счетчика лог. "1" происходит переключение его выходов в следующем порядке: 3, 2, 4, 7, 10, 1, 5, 6, 9, 11. К каждому выходу счетчика подключен светодиод. Таким образом, получается эффект "бегущих огней".

Для изменения частоты импульсов следует изменять сопротивление резистора R2. При R2=470 кОм частота следование импульсов около 0,5 Гц. Можно к выходу DD2 подключить

ностороннее текстолите размером 60x35 мм методом травления. Следует также отметить, что микросхема K561НЕ8 допускает включение на один выход до двух светодиодов типа АЛ307БМ.

Детали. Счетчик DD2 можно заменить десятичным счетчиком КМОП (например, K176ИЕ8, K564ИЕ8). Резисторы типа МЛТ-0,125 и МЛТ-1 (в цепи УЯС), диод VD1 любой кремниевый, малоомощный, конденсатор типа К50-6 или К50-16.

Нападка "бегущих огней" сводится к подбору R2 для требуемой скорости "бега". При питании следует применять источник с небольшим уровнем пульсаций.

СЕКЦИОННАЯ СВЕТОДИОДНАЯ ГИРЛЯНДА

Ю.П.Саража, г.Миргород, Полтавская обл.

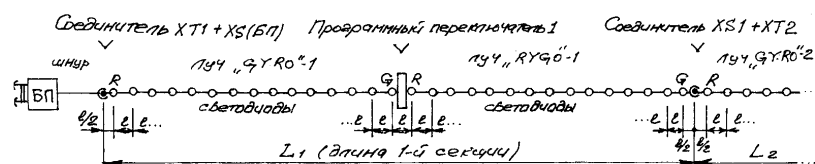
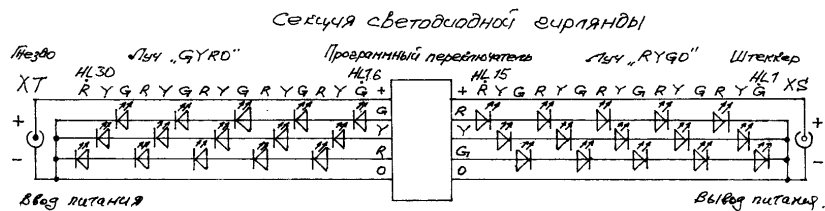


рис. 1

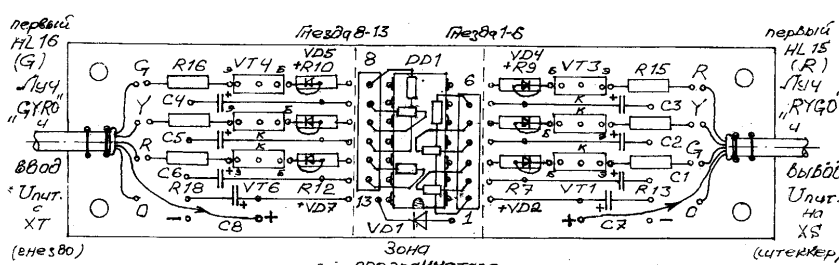
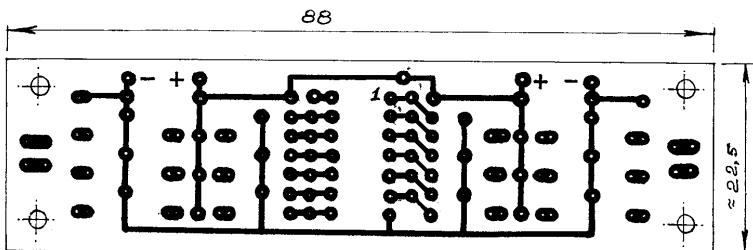


рис. 2

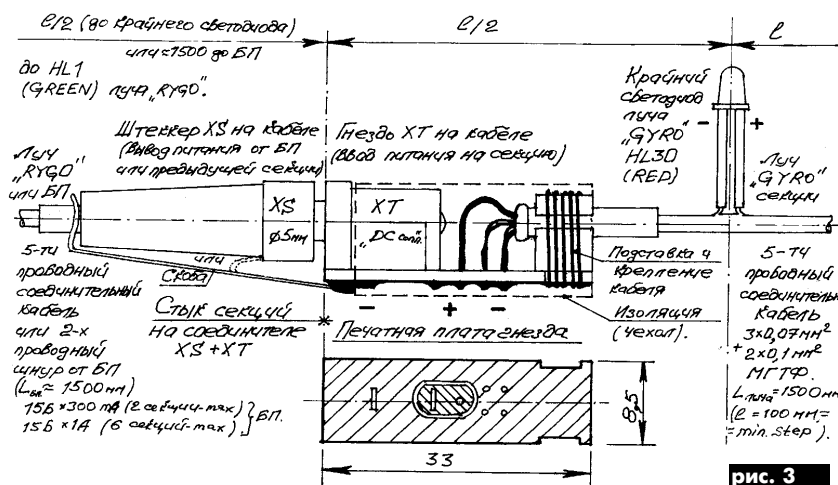


рис. 3

Описана конструкция простой светодиодной гирлянды, отличающейся от обычной наличием программного переключателя, позволяющего повысить количество различных световых эффектов.

Перед Новым годом в продаже появляется много недорогих электрических гирлянд для елки с различными эффектами. Это парализует творческую активность радиолюбителей, тем более что затраты на самостоятельное изготовление заведомо больше, чем на покупку готового. Тем не менее можно использовать готовые гирлянды для своего суперсложного коммутатора, что удешевит разработку.

Примером такого устройства иллюминации является предлагаемая секционная светодиодная гирлянда. Для ее питания можно использовать малогабаритный сетевой блок питания 12-15 В или автомобильный аккумулятор. Потребляемая мощность при этом менее 15 Вт при максимальной длине гирлянды 18 м (шесть секций по 3 м, в каждой излучатели установлены с шагом 100 мм). Секции соединяют с помощью стандартных концентрических DC-соединителей, к концу одной секции подключают другую и т.д. Такая сборка дает возможность чередовать секции любыми способами, укоротить или удлинить гирлянду, заменить вышедший из строя секцию. Применение в качестве излучателей светодиодов экономично, удобно, пожаробезопасно, кроме того, надежность светодиодов неизмеримо выше, чем у лампочек накаливания.

В середине секции (рис.1) включают программный переключатель, позволяющий реализовать различные варианты световых эффектов простым и недорогим способом. Конструктивно изготовление одной секции выглядит так. Программируемый переключатель на 6 каналов выполнен на небольшой плате размерами 22,5x88 мм из фольгированного стеклотекстолита толщиной 1,5 мм. С торцов к плате подключают кабели ("лучи" секции, расходящиеся в разные стороны от переключателя). Каждый "луч" состоит из цепочек светодиодов трех цветов: красного (R), зеленого (G) и желтого (Y), переплетенных между собой с чередование цветов. "Лучи" отличаются друг от друга чередованием цветов и обозначены GYRO (левый) и RYGO (правый). Для гибкости применены провода марки МГФ сечением 0,07 мм для контактов "+" светодиодов (R, G, Y) и сечением 0,1 мм для проводов питания (0 и +) (рис.2). На рис.3 показан чертеж узла стыка секций.

Построение программируемого переключателя основано на использовании элементов со свойствами триггера Шмит-

та и инверсией. Для построения схемы автогенератора достаточно одного элемента (рис.4,а), в котором время переключения задается элементами R и C. Если резистор (рис.4,б) отключить от выхода элемента и коммутируя его внешним переключателем от высокого уровня на общий провод и наоборот, то получим элемент с временной задержкой выходного сигнала. Элементы рис.4 реализуются на КМОП-логике. Элементы КМОП-логики имеют свойства триггера Шmittта с гистерезисом порядка 2 В при напряжении питания 15 В. Малые входные токи КМОП-элементов позволяют устанавливать резисторы с большим сопротивлением, а значит, устанавливать конденсаторы небольшой емкости. Наиболее подходящая микросхема K561ЛН2, у которой имеется 6 элементов НЕ. При этом в кольце можно включать от 2 до 6 таких элементов. На рис.5 показан пример с реализацией автогенератора на одном элементе (DD1.6), кольца из двух элементов (DD1.4 и DD1.5) и кольца из трех элементов (DD1.1, DD1.2, DD1.3). Программирующими элементами являются резисторы R1...R6, устанавливаемые в гнезда с номерами, соответствующими номерам выводов микросхемы DD1.

Сопротивления резисторов R1...R6 от 47 до 200 кОм и более (подбирают покоянно для получения нужного темпа переключения отдельных цепочек светодиодов и создания соответствующих эффектов в гирлянде). На рис.2 показана "зона программирования", в которой резисторы R1...R6 образуют структуру переключателя и размещены на крышке микросхемы DD1.

Коммутационные гнезда (с номерами, соответствующими нумерации выводов

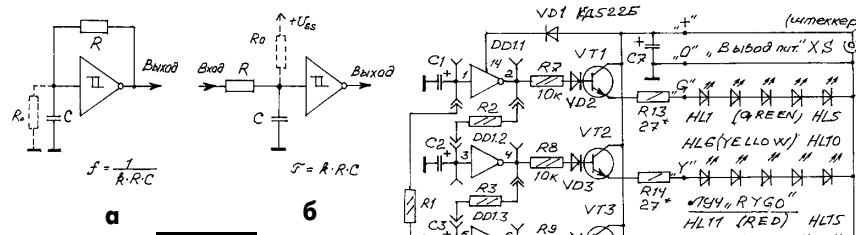


рис. 4

DD1) представляют два отрезка соединителя (панельки под микросхему) с шагом 2,5 мм. Программирующие резисторы (типа МЛТ-0,125, С2-19 или подобные) следует взять новые (непаяные, с выводами максимальной длины) и изолировать их, поместив в ПХВ-трубки или обмотав скотчем вместе с выводами, оставив "выглядывать" по 3-4 мм для установки в гнезда.

Выходы всех 6 элементов (независимо от описанной коммутации) подключены на входы 6 одинаковых транзисторных ключей VT1...VT6 через токоограничительные резисторы R7...R12 и диоды VD2...VD7. Нагрузка представляет собой цепочку из пяти последовательно включенных светодиодов и дополнительно гасящего резистора, который для каждого канала необходимо подбирать, чтобы ток через светодиоды не превышал 20 мА (для ультраярких светодиодов фирмы Hewlett-Packard возможен и больший ток). Питание на микросхему DD1 подается через защитный диод VD1, так как в схеме используются конденсаторы значительной емкости (до 10 мкФ), и при выключении питания возможны большие токи разряда.

Узел печатной платы программируемого переключателя (рис.2) выполнен в максимально уплотненном виде, чтобы эти

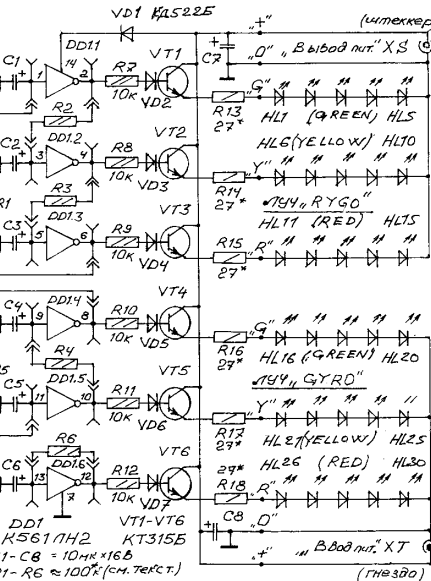


рис. 5

платы не выделялись после сборки гирлянды. Плата может не помещаться в коробку или корпус. Достаточно после проверки работы гирлянды и надежного закрепления кабелей обмотать зоны ключей и конденсаторов скотчем или виниловой лентой, оставив зону программатора, которую после программирования обмотать отдельным отрезком скотча с возможностью последующего снятия для перепрограммирования.

Конструкция представленной секционной светодиодной гирлянды весьма проста, может быть выполнена за один день непосредственно перед Новым годом. Кроме новогодней елки ее можно использовать для рекламных мероприятий или на дискотеках.

Пробник проходження сигналу

О. В. Тимошенко, Чернігівська обл.

Даним пробником можна перевірити каскади УНЧ, радіоли, магнітофони і навіть радіоприймачі. Частота пробника 1 кГц. Але він має багато гармонік, тому ним можна перевіряти каскади НЧ, ПЧ та ВЧ.

Схема пробника наведена на рис.1. Його можна оформити в будь-якому корпусі, але найкраще підіде коробка з-під сірників (рис.2). Монтажна плата і розміщення деталей показано на рис.3.

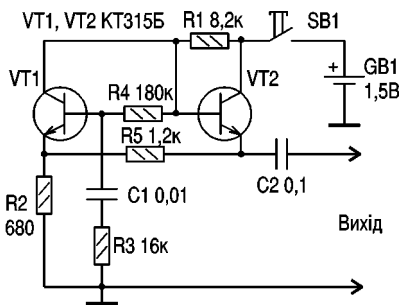


рис. 1

Коротко про деталі. Транзистори типу КТ312А..В, КТ315А..Г, КТ3102А..Г; резистори будь-які потужністю 0,125 Вт; конденсатори типу КМ (вони малогабаритні); кнопка SB1 типу МП-10 або МП-9, але підіде будь-яка малогабаритна; джерелом живлення може бути будь-який елемент напругою 1,5 В. Якщо пробник буде монтуватись у коробці з-під сірників, то для живлення найкраще взяти "мікропальчик", який легко вміщується в коробці. Вихідними виводами може слугувати довгий відрізок мідного дроту діаметром 2 мм, який підімкнений до виводу конденсатора C2. Другим виводом може слугувати відрізок багатожильного дроту з "крокодильчиком" на кінці, підключений до маси.

Налагодження прилад не потребує. Якщо всі деталі справні і монтаж зроблено правильно, прилад починає працювати одразу. Треба тільки конденсатором C1 і резистором R3 підібрати вихідну частоту (1 кГц). Наявність частоти на вихіді можна перевірити за допомогою п'езовипромінювача типу ЗП-1 або аналогічним.

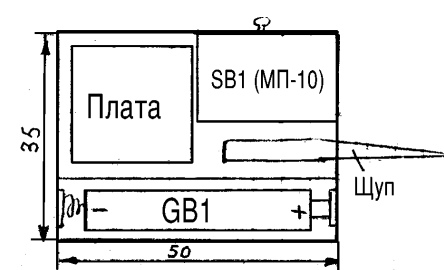


рис. 2

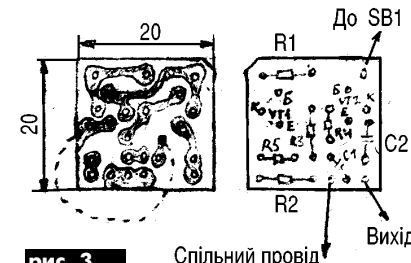


рис. 3

Ялинкові прикраси

А. Є. Риштун,
м. Дрогобич, Львівська обл.

Незабаром наступить Новий рік, і радіоаматори почнуть гаражово горяті старі журнали в пошуках ефектних і одночасно нескладних схем новорічних гірлянд.

Пропоную модернізацію (рис.1) моєї схеми [1], яка даст змогу отримати ефект "біжучих" вогнів. При цьому основна перевага над іншими типами гірлянд (неповне згасання) зберігається.

Лампочки в гірлянді розташовують, як показано на рис.2, тому гірлянду доведеться виготовляти самому, хоча й можна сплести дві готові заводські. У зв'язку з тим, що струм споживання зріс удвічі, конденсаторний БЖ замінено трансформаторним. Необхідність в стабілізаторі зникає, бо, на відміну від прототипу, струмоспоживання під час роботи приблизно однакове і дорівнює приблизно 200 мА. В усьому іншому схема залишилась без змін.

В [2] опублікована схема шумосинтезатора, який керує гірляндою. Проте він досить

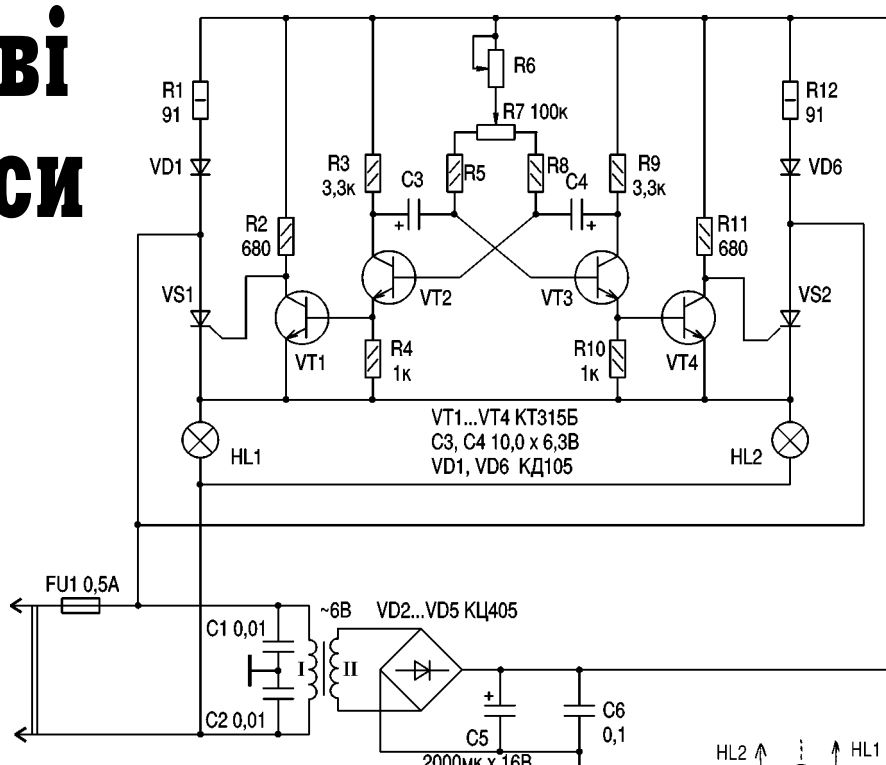


рис. 1

складний. І якщо Ви натрапили на цю публікацію за годину до Новорічного свята, то часу на його монтаж не вистачить, хоча мати таку своєрідну гірлянду дуже хочеться. В такій ситуації пропоную замінити шумосинтезатор на ... стартер (рис.3). Причому дуже важливо, виходячи з умов безпечно-го користування електропристроїми, щоб струм, який протикає через стартер, ні в

якому разі не перевищував 0,3 А! Середній час миготіння гірлянди 0,4 с.

Радісних Вам Новорічних свят!

Література

1. Риштун А.Є. Новорічна гірлянда // Радіоаматор. -1999. - №11.-С.29.
2. Новіков В.В., Риштун А.Є. Шумосинтезатор керує гірляндою // Радіоаматор. -1999. -№12.-С.23.

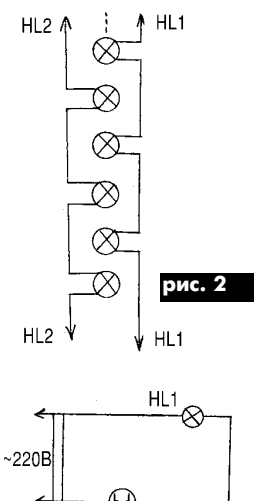


рис. 2

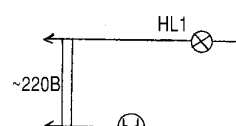
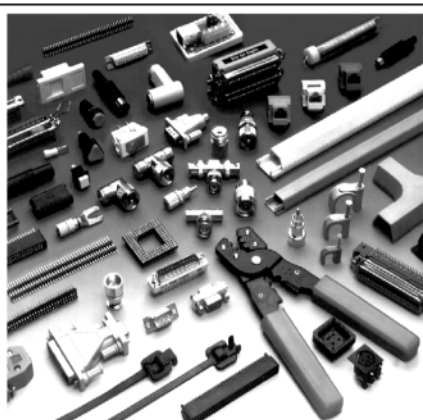


рис. 3



**ВЫСОКОЕ КАЧЕСТВО
ОПТОВЫЕ ЦЕНЫ**

Свобода соединениями!

Огромный выбор
РАЗЪЕМОВ И СОЕДИНИТЕЛЕЙ
со склада в Киеве.

ПАНЕЛИ ПОД МИКРОСХЕМЫ и
другие пассивные компоненты.
КАБЕЛЬНАЯ ПРОДУКЦИЯ, КРЕПЕЖ
для кабеля и инструменты.
ВСЕ для КОМПЬЮТЕРНЫХ СЕТЕЙ.



ООО "ПАРИС" г.Киев ул. Промышленная 3
тел. 296-25-24 , 296-54-96 факс 295-17-33
E-mail : office@paris.kiev.ua

ООО "НЬЮ-ПАРИС" г.Киев пр. Победы 26
тел. 241-95-87 , 241-95-89 факс 241-95-88
E-mail : newparis@newparis.kiev.ua



Три варіанти світломузики

А. Є. Риштун, м. Дрогобич, Львівська обл.

Відомо, що сьогодні жодна дискотека не обходиться без світломузики, та їй особи, які люблять, щоб музика супроводжувалась ефектною грою світла, нерідко замовляють знайомим радіоаматорам виготовлення таких приставок. В цих випадках постає необхідність знизити до мінімуму собівартість приставки зі збереженням заданих пара-

метрів. В даній статті ми розглянемо прості та дешеві і одночасно ефектні три варіанти якісної світломузики.

1. Проста "мігалка", яка блимає в такт музичному супроводу, незалежно від його частотного складу (**рис. 1**). Трансформатор T1 узгоджує імпеданси вихіду підсилювача та входу тиристора.

2. Для любителів складніших ефектів пропоную схему (**рис. 2**). В ній прожектори HL2–HL3 теж блимають в такт музики, але, на відміну від попередньої, мерехтіння ліхтарів поставлене у залежності від частотного складу музичного супроводу. Під час звучання басів працює HL1, голоси виконавців відображає HL2, а ВЧ інструменти (гітари, скрипки та інше) – HL3. Дано роз-

робка є модернізацією схеми, описаної в [1], з тією відмінністю, що резистори R_c ланки замінені вхідними опорами тиристорів. Потенціометрами R1–R3 виставляють поріг спрацьовування. Їх необхідність зумовлена різною величиною чутливості VS1–VS3. Цю операцію доцільно виконати з допомогою генератора 3Ч.

3. Третій тип світломузики дає стробоскопічний ефект (**рис. 3**). Живлення усього приладу здійснюється від 220 В. HL1 блимає з частотою, яка плавно регулюється від 0 (постійне світлення) до 25 Гц (мерехтіння стає ледь помітним для ока). Зупиняємося на принципі роботи схеми детальніше.

Живлення для мультивібратора на VT1 і VT2 утворюється завдя-

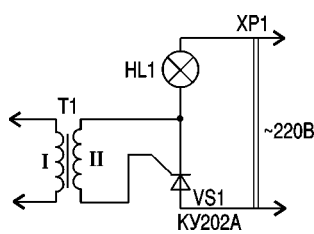


рис. 1

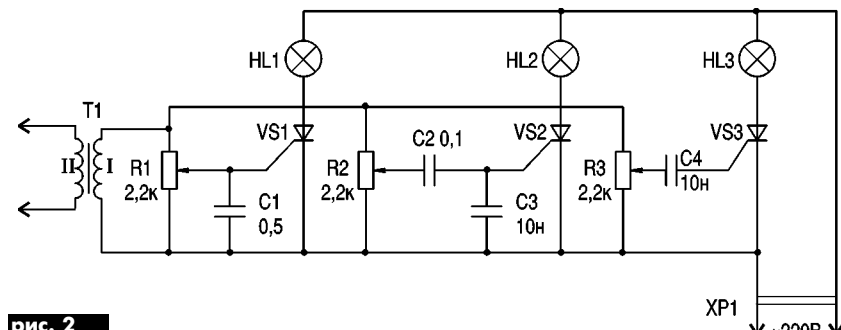


рис. 2

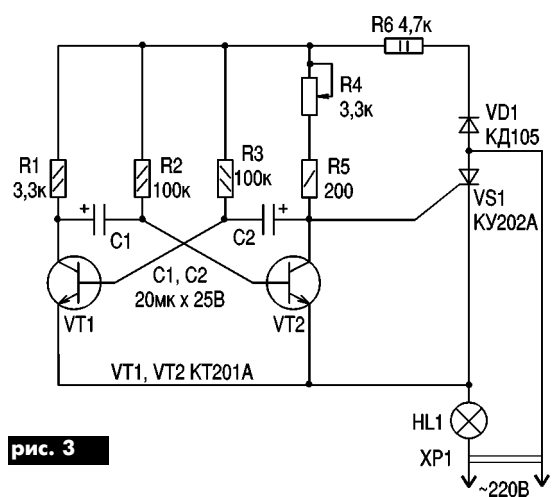


рис. 3

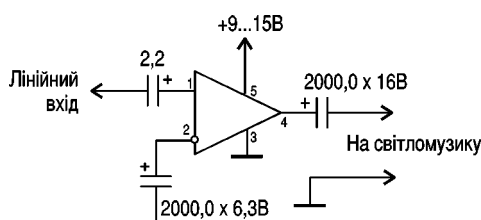


рис. 4

на відкритому VT2. Коли ж VT2 закритий, VS1 продовжує далі світиться. Відкриванням VT2 керує мультивібратор на VT1 і VT2. Одночасно з рухом повзунка R4 вниз ми зменшуємо Ек, а отже і tn. Незначна асиметрія генератора практично не впливає на роботу світломузики, бо відпочиваючим не до щілинності імпульсів.

Схемотехніка першого і третього варіантів добре пропрацьовано, а тому налагодження ці схеми не потребують. Лише в схемі 2 при великих розкидах вхідних опорів можливо приділятися підібрати ємності конденсаторів.

T1 – вихідний трансформатор від лампових телевізорів, приймачів, магнітофонів. Його тип значення не має, головне, щоб він був справним. Одну обмотку, намотану товстішим провідником, під'єднують до магнітофона паралельно динаміку, іншу – до схеми. Потужності навіть маленького японського касетника вже достатньо для нормального функціонування всіх трьох схем. Проте я все ж таки пропоную додатково застосувати попере-редній підсилювач, що живиться безпосередньо від магнітофона. В такому разі, по-перше, зникає паразитне 50-герцове гудіння в паузах між звучанням музики і голосів; по-друге, спрощується комутація, бо з'являється можливість вимикати світломузику до лінійного виходу; по-третє, відсутні втрати акустичної потужності.

Тиристори KU202A замінюються на KY201 (K-H), KY202 (K-H). Потужність прожекторів HL1–HL3 рідко перевищує 200 Вт, тому в радіаторах необхідності немає.

При бажанні усунути ледь помітне 50-герцове мерехтіння здійснюється заміна усіх тиристорів на сімістор KY208Г (B).

Конденсатори C1–C4 з робочою напругою не нижче 400 В. VT1, VT2 можна замінити на KT301, KT312, KT315, KT3102 та інші.

При монтажі та користуванні наведеними розробками світломузичних приставок слід суворо дотримуватися усіх правил техніки безпеки.

Література

- Борноволоков Е.П., Фролов В.В. Радиолюбительские схемы.–3-е изд., перераб. и доп. – К.: Техніка, 1989. – С.164.
- Терещук Р.М. Справочник радиолюбителя, в 2-х томах. – 7-е изд., ч.2 – К.: Техніка, 1971. – С.31.

Автомат световых эффектов

Г. К. Крупецких, г. Киев

Предлагается автомат световых эффектов, позволяющий с помощью простых технических средств получить 21 комбинацию переключения четырех независимых источников света. Приведена таблица программирования работы автомата.

В настоящей статье внимание читателей предлагается автомат световых эффектов, предназначенный для светового оформления помещений культурно-зрелищных учреждений, витрин, дискотек, танцплощадок, новогодних елок. Описанные в литературе [1-6] автоматы-переключатели источников света обеспечивают весьма небольшое количество различных световых эффектов. Предлагаемый автомат позволяет с помощью простых технических средств получить 21 различную комбинацию переключения четырех независимых источников света (ламп накаливания или групп ламп). Обслуживание автомата максимально упрощено за счет автоматического перебора реализуемых световых эффектов.

Схема автомата (см. рисунок) содержит четыре независимых генератора: F_p – генератор переключения световых эффектов; F_m – генератор частоты мерцаний; F₁ и F₂ – генераторы световой модуляции; регистр DD2; счетчик импульсов DD9; триггеры DD8.1, DD8.2 и DD12; дешифратор световых эффектов на микросхемах DD3...DD6, DD10 и диодах VD1...VD16; триисторные ключи и блок питания.

Работу схемы рассмотрим на примере прихода с генератора F_p первого импульса, который устанавливает на выходах Q2 регистра DD2, Q1 счетчика DD9 и на выходе Q1 триггера DD12 лог. «1». На остальных выходах вышеуказанных элементов – лог. «0», ручки потенциометров всех четырех генераторов повернуты на одинаковый угол, т.е. рабочие частоты генераторов пропорциональны величинам времязадающих емкостей.

Импульсы генератора F₁ поступают на счетный вход триггера DD8.1, а с его выхода через схему 2И-НЕ DD11.1 – на счетный вход триггера DD8.2. С прямых и инверсных выходов этих триггеров импульсы типа "меандра" частот 1/2F₁ и 1/4F₁ соответственно поступают на входы четырех схем 2И-НЕ микросхем DD3.1...DD6.1, создавая поочередное появление лог. «0» на их выходах. Далее эти сигналы подаются на один из входов аналогичных элементов микросхем DD3.2...DD6.2, на второй вход которых с выхода Q2 регистра DD2 поступает лог. «1». Таким образом, на выходах этих элементов формируется поочередное появление лог. «1». Далее с выходов этих элемен-

тов сигналы поступают на входы схем 4И, выполненных на диодах VD1...VD16. Поскольку на остальных входах вышеупомянутых схем – лог. «1», а включенному состоянию гирлянды соответствует лог. «0» на выходах элементов 2И-НЕ микросхемы DD10, то это состояние однозначно определяется наличием лог. «1» на выходах элементов DD3.2...DD6.2, т.е. происходит поочередное включение гирлянд, создавая эффект «бегущих огней».

Как видим, программа работы автомата световых эффектов определяется в основном логическими потенциалами на выходах регистра DD2, счетчика DD9, триггера DD12 (см. таблицу).

22-м импульсом F_p схема приводится в исходное состояние. Следовательно, схема, работая в автоматическом режиме, имеет 21 различных режимов работы. Но если учесть, что частоту каждого из четырех генераторов может в любой момент изменить оператор и отношение частот различных генераторов можно установить как большее, так и меньшее 1, количество возможных вариантов работы устройства значительно возрастает.

Питается все устройство, за исключением выходных каскадов, от стабилизированного источника 5 В. Потребляемый ток не более 200 мА. Цепи управления VS1...VS4 подключены к нестабилизированному источнику 11 В. В качестве силового трансформатора применен унифицированный трансформатор ТПП221-127/220-50 или любой другой, мощностью 5...10 Вт с вторичной обмоткой на 9...10 В. Микросхема DA1 расположена на радиаторе с рассеивающей мощностью не менее 1,5 Вт.

Для управления лампами накаливания применены триисторы КУ202. При этом ток нагрузки в каждом канале не должен превышать 2 А (мощность ламп в каждом канале около 400 Вт).

Выходную мощность автомата при желании можно увеличить до 1,2 кВт на канал, но при этом необходимо обеспечить дополнительное охлаждение VS1...VS4, установив их на радиаторы. При применении триисторов типа КУ202Н можно обойтись без диодного моста VD20...VD23, приложив напряжение непосредственно между нагрузкой HL1...HL4 и катодами триисторов. Но при этом яркость свечения ламп уменьшается, потому что к сети они будут подключаться только на половину периода питающей сети. Кстати, долговечность работы гирлянд значительно увеличивается.

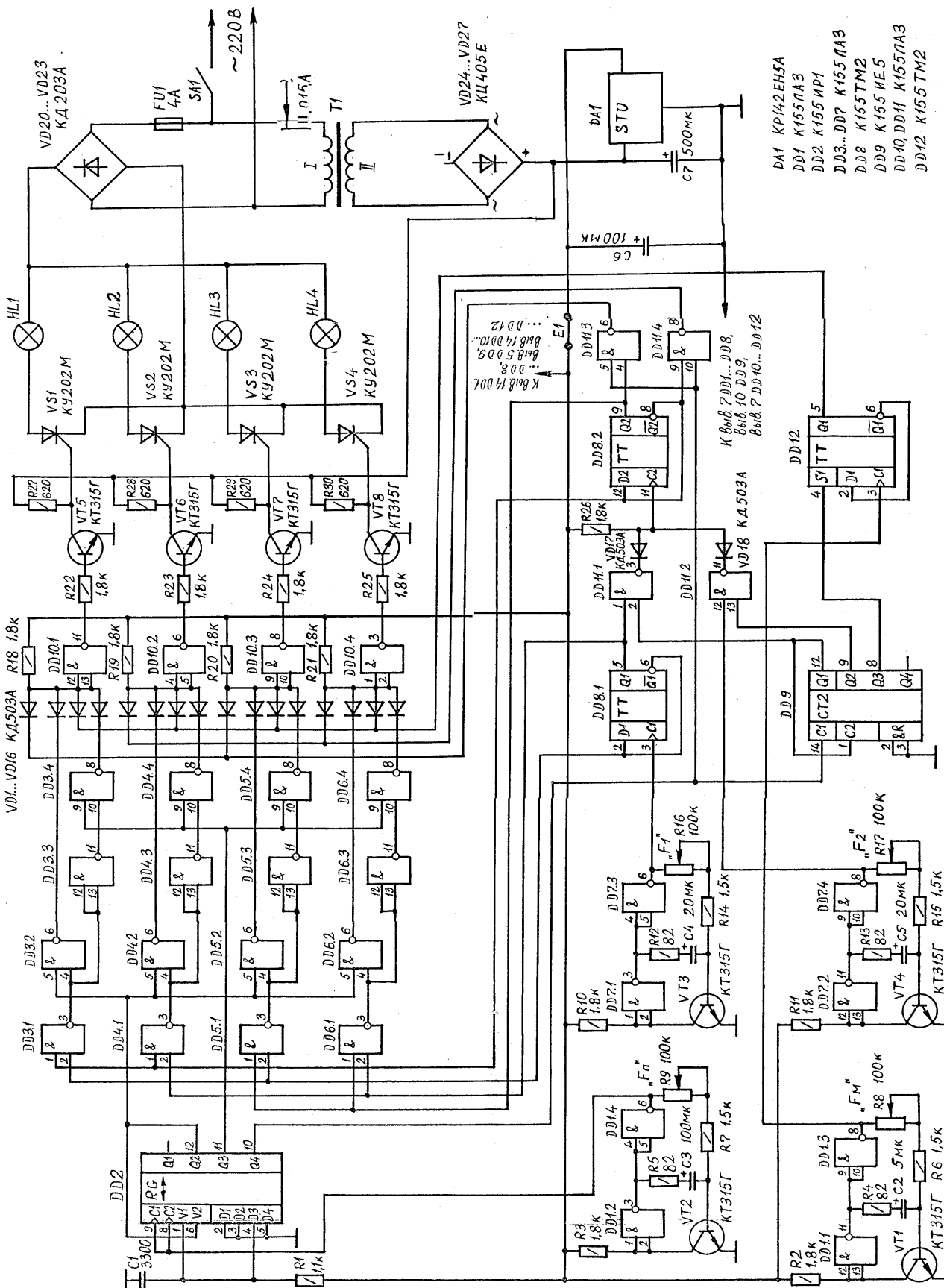
Микросхемы DD1, DD7 можно заменить на K155ЛН1 или на K155ЛЕ1, изменив, естественно, номера выводов. Диоды VD1...VD19 любые из серий Д220, Д223, КД521, КД522. Диодный мост VD24...VD27 типа КЦ402, КЦ405 с любым буквенным индексом или КЦ407А.

Все транзисторы типа КТ315Г можно заменить на КТ315Б. Все постоянные резисторы, примененные в автомате, типа МЛТ-0,25, переменные типа СП-1 или СП3-30а. Электролитические конденсаторы типа К50-6, К50-16 или К50-95. Налаживание автомата сводится к проверке правильности монтажа и проверке работы всей схемы.

ВНИМАНИЕ! Проведение наладочных работ требует повышенной осторожности и внимания, поскольку элементы схемы имеют гальваническую связь с сетью.

Таблица

Импульсы F _p	Логические потенциалы на выводах микросхем						Характеристика светового эффекта
	DD2			DD9		DD12	
	12	11	10	12	9	8	5
1	1	0	0	1	0	0	1
2	0	1	0	1	0	0	1
3	0	0	1	1	0	0	1
4	1	0	0	0	1	0	1
5	0	1	0	0	1	0	1
6	0	0	1	1	1	0	1
7	1	0	0	1	1	0	1
8	0	1	0	1	1	0	1
9	0	0	1	1	1	0	1
10	1	0	0	0	0	1	п_п
11	0	1	0	0	0	1	п_п
12	0	0	1	0	0	1	п_п
13-21							п_п
22	1	0	1	1	0	0	T

**Литература**

1. Карапетянц И. "Бегущие огни" из четырёх гирлянд// Радио. -1983.- №11.-С.53,54.
2. Безруков А. "Бегущие огни" на ИМС и триисторах// Радио.- 1984.-№11.-С.52.
3. Чеканихин В. Автомат световых эффектов// Радио. -1984. -№11.- С.52, 53.
4. Желюк О. Программируемый переключатель гирлянд// Радио.- 1986.-№11.-С.55-57.
5. Ануфриев А. Переключатель световых эффектов// ВРЛ. -№114.- 26-36.
6. Прус С.В. "Бегущие огни" на любой вкус// Радиоматер. -1998.- №11-12.-С.36.

Необходимая информация о струйных принтерах

(подключение, техническое обслуживание и настройка драйверов)

(Продолжение. Начало см. в РА 10/2000)

А. А. Белуха, г. Киев

Фирма Epson производит струйные принтеры, которые у пользователей завоевали очень хорошую репутацию. Это достигнуто благодаря использованию технологии печати Epson PerfectPicture Imaging System, которая включает в себя: пьезоэлектрическую печатающую головку, применение быстросохнущих красителей Quick Dry, использование улучшенного метода управления направлением полета капли и ее формой «Advanced Meniscus Control», который дает возможность устранения некоторых проблем обычных технологий струйной печати. Кроме того, капли чернил более точно позиционируются, имеют примерно одинаковый объем и почти правильную форму, применение программных алгоритмов повышения качества печати, одним из которых является модернизированная техника контрастной передачи различных оттенков. Такая технология дает великолепные изображения при задействовании всех возможностей ПУ. Высокого соответствия цветовой палитры оригинала и распечатки добиваются с помощью особой таблицы перевода различных цветов 3D Look-up Table Colour Translation. Кроме того, драйвер осуществляет настройку принтера на оптимальное функционирование согласно требуемому разрешению и типу применяемого носителя, на который наносится изображение. Кроме того, производится печать точками, которые имеют всего одну треть объема обычной чернильной капли предыдущего поколения ПУ.

Фирма Hewlett Packard разработала и внедрила следующие технологии струйной печати:

Kodak Image Enhancements

Как видно из названия, в разработке этой технологии принимала самое активное участие фирма Kodak. Совместные усилия двух фирм были направлены на достижение замечательного качества получаемых изображений на специальной бумаге HP Deluxe Photo Paper.

HP C-Ref

Технология улучшения цветного разрешения (C-Ref – Colour Resolution enhancement technology) базируется на нанесении нескольких капель чернил разного цвета в одну точку, что существенно повышает цветовую интенсивность и расширяет палитру воспроизводимых оттенков. Это реализуется не в самой головке, а с помощью повторной печати поверх уже напечатанного. При этом сразу же, на еще жидкую каплю, выталкивается новая порция чернил. Причем при меньшей ячейке раstra результат соответствует принтеру с более высоким разрешением.

HP ColorSmart

Чисто программная технология автоматической коррекции цветовых параметров исключает необходимость использования метода проб и ошибок. При распечатке изображений содержимое документа сканируется специальным образом и автоматически регулируются параметры цвета для сохранения цветовой палитры печати. Для разных типов документа эта технология в основном подбирает нормальную цветовую гамму и автоматически различает, с каким форматом приходится иметь дело при печати данных – с текстом и графикой или фото, при котором очень важны промежуточные тона и плавные цветовые переходы. В некоторых моделях ПУ (DeskJet 870 Cxi, DeskJet 820 Cxi) применяются черные чернила на пигментной основе. Они не проникают в бумагу так глубоко, как обычные чернила. Именно благодаря этому достигается более сильная насыщенность.

HP ColorSmart II

Значительное развитие технологии ColorSmart поддерживает: совместимость с технологией MMX, что позволяет ускорить процесс обработки цветов, при этом снижается загрузка процессора компьютера; цветопередачу sRGB (standard Red-Green-Blue) – язык описания цветов, разработанный Hewlett Packard вместе с Microsoft и позволяющий реальное достижение цветового соответствия разнотипных устройств: принтера, сканера, цифрового фотоаппарата и монитора; функцию SmartFocus, обеспечивающую улучшение параметров для печати файлов, полученных из мультимедийных программ и сети Интернет.

HP RealLife

Совмещение технологий HP ColorSmart и HP C-Ref.

HP PhotoRet

Технология улучшения разрешения фото (PhotoRet – Photo Resolution enhancement technology) предназначена для улучшения качества

печати именно фотоизображений. Чтобы ощутить все ее преимущества, надо использовать фотокартридж. В основе этой технологии лежит уменьшение размера наносимых капель и добавление к основным цветным красителям двух дополнительных картриджей со светло-бирюзовыми (light-cyan) и светло-пурпурными (light-magenta) чернилами. Применяя их, можно добиться пастельных тонов, которые очень часто встречаются на фотографиях (например, окраска сооружений и цвета кошек), с качественной заливкой цветом и подробной детализацией.

HP PhotoRet II

Главная идея этой технологии состоит в получении фотографического качества без физического увеличения разрешения (количество точек на один дюйм). Это достигается нанесением нескольких капель чернил (до 16) в одну точку, что еще больше повышает интенсивность цветов для достижения реалистичной цветовой палитры; уменьшением размера этих капель, что дает возможность реального понижения зернистости изображения и более точной передачи светлых полутона и оттенков; оптимизацией производительности системы из-за отсутствия необходимости позиционирования большого количества капель.

HP PhotoRet III

Эта технология использует мельчайшие капельки чернил (объем каждого всего 5 пиколитров=5/1000000000000 л) и высокоточные алгоритмы для нанесения до 29 таких капель в пределах одной точки печати. Так, на практике еще больше расширяется распечатываемая цветовая палитра (свыше 3500 цветов на точку). Теперь ПУ может достичь качества печати, соответствующего 2400 точкам на дюйм (2400x1200 точек на дюйм при использовании фотобумаги).

Фирма Canon первой разработала пузырьково-струйную (Bubble-Jet) технологию печати, которая основана на эффекте образования пузырька воздуха в жидких чернилах при резком нагревании термоэлектрического элемента. Кроме того, для повышения качества печати эта корпорация разработала и успешно внедрила в свои изделия следующие технологии:

PHOTOREALISM

Эта технология основана на улучшении алгоритмов обработки цветных изображений. Суть ее состоит в более рациональных способах определения цветовой гаммы отдельных точек и их взаимного расположения, а также в использовании фотокартриджей и бумаги со специальным покрытием. В фотокартриджах применяются особые чернила, которые можно распылять на бумагу в несколько слоев, что существенно усиливает глубину и точность цветовых оттенков. Специальное покрытие на бумаге препятствует растеканию чернил.

DROP MODULATION TECHNOLOGY

Эта технология состоит в получении в головке печати струйного принтера капель чернил разного объема. Чем мельче элементы изображения, тем меньше размер капли, что ведет к повышению качества прописок и заливки мелких деталей. А благодаря этому улучшается и восприятие напечатанного документа. При печати материалов с яркими цветными или большими темными участками от ПУ требуется более интенсивная заливка чернилами. Опытным путем проверено на практике в реальных условиях, что если на таких участках применять капли большего объема, то и качество печати будет заметно лучше. Использование рассматриваемой технологии позволяет расширять получаемую цветовую палитру именно из-за смешивания капель разного размера. Для реализации такой техники печати в соответствующих картриджах вместо одного нагревательного элемента используют два.

P-POP

Для улучшения качества печати на обычной бумаге и была создана эта технология. Она основана на применении так называемого оптимизатора чернил – специальной прозрачной жидкости, которая автоматически наносится принтером на поверхность бумаги и таким образом подготавливает ее (уплотняет) для последующего нанесения собственно чернил. Такой уплотнитель должен препятствовать протеканию красителей. При этом Canon умудрилась даже не снизить скорость самого процесса печати. Именно под влиянием оптимизатора чернила загустевают на поверхности разного рода носителей. Поэтому размазывания и растекания красителей почти не наблюдается. Кро-

ме того, быстрое связывание чернил допускает раньше наносить соединенные точки, что и позволяет не замедлять темпа печати.

IMAGE OPTIMIZER

В общих словах – это программная технология улучшения изображений, которая применяет довольно сложные алгоритмы оптимизации точек и коррекции параметров образцов с низким разрешением. Применение на практике такой технологии немного улучшает восприятие изображений, но проблему качества печати изображений с низким разрешением решает лишь частично.

В фирме Canon разработаны также светящиеся краски. С помощью печатающих головок BC-29F и BC-09 ПУ этой фирмы можно переналаживать для печати графики с выделением текста светящимися красками. По рекламным данным Canon, это получается также и на прозрачных пленках; однако проектор для просмотра должен быть оснащен специальной ртутной лампой. Кроме того, светостойкость флюресцирующих красок меньше, чем обычных.

Фирма Lexmark создала в картриджах струйных принтеров каналы почти идеальной формы и сверхмалые по размерам отверстия. Ей это удалось сделать с помощью лазерных технологий, применяемых в офтальмологии. Из-за этого сопла размещены в печатающей головке более плотно. Именно благодаря внедрению такого подхода удалось достичь разрешения 1200x1200 точек на дюйм. Таким образом, на головке размещается 400 миниатюрных отверстий, которые позволяют нанести на один квадратный дюйм бумаги до 1440000 точек. Такое огромное разрешение позволяет на практике реализовать широчайшую цветовую гамму, насыщенность и высокую четкость изображений.

Фирма Lexmark применила также одно интересное технологическое решение. Сопла ее современных печатающих головок не используются сразу. Такое резервирование ведет к постоянной высококачественной работе при печати и к существенному продлению срока службы сопел.

Картриджи Lexmark так же, как и картриджи Hewlett Packard, конструктивно имеют в своем составе сразу и печатающую головку, и резервуар для красителя. Это означает, что при смене картриджа Вы одновременно меняете не только емкость для чернил, но и узел печати. Регулярная замена гарантирует постоянное качество выполняемых работ. Довольно высокая скорость достигнута из-за увеличенной в 2 раза ширине размещения сопел в картридже и соответственно гораздо большей площади одновременно пропечатываемого пространства.

Для улучшения качества печати на обычной бумаге фирма Lexmark изготавливает специальные красители концентрированного типа, в которых больше чернил и меньше воды. Вследствие этого они быстрее сохнут, бумага меньше коробится, а оттенки и цвета получаются раз-

нообразней и живей. Особая технология позволяет и при большом разрешении применять в черных чернилах сравнительно твердые частицы. Картриджи с таким черным красителем имеют характеристическую маркировку «Super Sharp Waterproof BLACK print cartridge» и являются влагостойчивыми.

В фотокартидах использован способ шестивесной печати для достижения почти фотографического качества получаемых изображений.

Подробно описав рассмотренные выше технологии печати, можно сделать вывод, что усилия по всевозможной оптимизации качества этой самой печати ведутся по разным направлениям – от интеллектуальных (использование твердых частиц вместо жидких чернил у Lexmark или улучшение качества печати на обыкновенной бумаге у Canon) до прямолинейных (простое увеличение разрешения у Epson и Lexmark).

Первоначальные усилия по усовершенствованию качества печати были направлены на следующее:

изменение свойств используемых красителей – повышение скорости высыхания, концентрации чернил;

механическая модернизация печатающей головки – изменение формы и размера капель красителя, увеличение разрешения;

улучшение свойств традиционных материалов для печати и создание новых носителей – материи, разных пленок, бумаги со специальным покрытием.

В последнее время все чаще стали разрабатывать и использовать специальные программные алгоритмы оптимизации качества печати.

Фирмы-изготовители струйных ПУ не всегда указывают в технической документации на свои изделия количество оттенков (точек на единице площади). А ведь именно эта характеристика является одной из самых главных при рассмотрении вопроса о качестве печати. Скорее всего, такая необходимость идет из-за того, что очень многие модели принтеров разных производителей не имеют постоянного значения этого показателя.

Традиционно ПУ подключают посредством интерфейсного кабеля к параллельному (LPT) порту компьютера. В современных моделях AWARD BIOS, Setup материнских плат при установке режимов работы этого порта Canon предлагает следующие варианты: Normal или SPP, ECP, EPP, EPP1.7, EPP 1.9, ECP/EPP, ECP/EPP 1.7, ECP/EPP 1.9. Кратко рассмотрим отличия между разными режимами, так как правильная настройка LPT порта Canon позволяет использовать все возможности струйных принтеров, а такое разнообразие режимов работы связано с непрерывным улучшением его характеристик, вызванным быстрым ростом качества и количества подключаемых к порту периферийных устройств.

(Продолжение следует)



Фирма СЭА представляет

Твердотельные бесконтактные оптоэлектронные реле CLARE

Компания "Clare" постоянно совершенствует выпускаемую продукцию для достижения максимальной функциональности при минимальных размерах. Процесс интеграции и миниатюризации позволяет потребителям сделать коммуникацию более удобной и доступной. Вся продукция "Clare" имеет сертификат ISO 9001 и соответствует самым строгим требованиям, предъявляемым к производителям в области информационной коммуникации, беспроводных контуров, телекоммуникации, автоматических электронных систем, коммерческих воздушных перевозок, промышленного контроля и безопасности, тестирования и измерительной техники.

В бесконтактных реле "OptoMOS" применяются дискретные полупроводниковые компоненты для обеспечения быстрого, надежного и стабильного переключения. Реле серии CPC, представленной в данной статье, идеально подходят для модемных карт PCMCIA, карманных электронных организаторов и применяются в аэрокосмической промышленности и для обеспечения безопасности.

Основные технические данные миниатюрных реле серии CPC

Серия изделия	CPC10xxN	CPC1150N
Тип продукции	Реле OptoMOS	Реле OptoMOS
Тип упаковки	4 Pin SOP	4 Pin SOP
Контрактная форма	Форма 1A	Форма 1B
Технические характеристики	- Самые малогабаритные в мире бесконтактные реле; - Совместимы по входу с TTL/CMOS; - Изоляция 1500 V rms I/O; - Совместимы с преобразователем частота-ток	
Размеры, мм	4,09 x 3,81 x 2,18	4,09 x 3,81 x 2,18
Напряжение нагрузки, В	80 – 350	350
Ток нагрузки, мА	100 – 150	100
Входной ток, мА	2-50	2-50
Сопротивление, Ом	8-35	50
Ограничитель вых. тока		Нет
Способ крепления	Поверхностный монтаж	
Сертификаты	UL/C-UL: File E76270 BSI Cert: 8416	UL/C-UL: File E76270 BSI Cert: 8416

г. Киев, ул. Соломенская, 3, оф. 809. т/ф (044) 490-51-07, 490-51-08, 276-21-97, 276-31-28, 271-95-74, 271-96-72 факс (044) 490-51-09 E-mail: info@sea.com.ua www.sea.com.ua

Типы динамической памяти компьютера

С. Петерчук, В. Власюк, г. Киев

(Продолжение. Начало см. в РА 12/99; 10/2000)

Процесс усовершенствования динамической памяти начался схемой со страничной организацией доступа к памяти Fast Page Mode (FPM), получил развитие такими типами DRAM, как Extended или Enhanced Data Out (EDO), Burst EDO (BEDO), Synchronous DRAM (SDRAM), и на сегодняшний день имеем такие современные технологии, как Direct Rambus DRAM и DDR SDRAM. Поскольку знание алгоритма работы с памятью поможет понять различие между некоторыми ее типами, остановимся на них более подробно.

Несмотря на разнообразие типов DRAM, все они базируются на элементарной запоминающей ячейке, состоящей из транзистора и конденсатора, который удерживает заряд. Это дает возможность достичь намного большей плотности размещения элементов и значительно снизить стоимость, что служит главной причиной использования DRAM в качестве основной памяти компьютера.

Главным отличием существующих типов памяти является метод извлечения и передачи данных из ядра, представляющего собой прямоугольный массив (двумерную матрицу) элементарных запоминающих ячеек (**рис.2**). Адрес требуемой из матрицы ячейки DRAM передается в два шага – сначала адрес строки (по сигналу RAS – Row Address Strobe), а затем столбца (по сигналу CAS – Column Address Strobe). Это дает возможность снизить количество выводов шины адреса примерно вдвое, за счет чего уменьшить размеры корпуса и разместить большее количество микросхем на материнской плате. Таким образом, для чтения или записи одной ячейки памяти необходимо пять так-

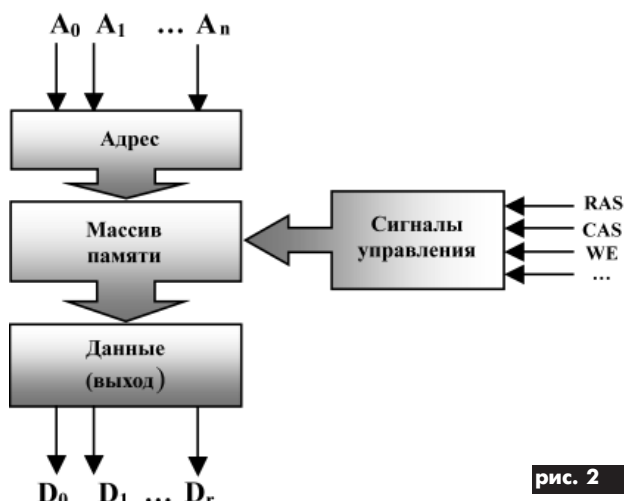


рис. 2

тов: адрес строки; сигнал RAS; адрес столбца; сигнал CAS; операция чтение/запись согласно значению линии Write Enable – WE. Регенерация данных после чтения выполняется автоматически интерфейсной логикой микросхемы.

В микропроцессорах 486 и старше для повышения производительности используется обмен данными с оперативной памятью пакетами – с последовательно расположеными запоминающими ячейками (обычно с четырьмя соседними, что связано со средней длиной команды процессора). Так как для чтения первого бита информации в пакете часто требуется большее время, нежели для чтения последующих, то для указания быстродействия памяти применяют следующее обозначение $x\text{-}y\text{-}y$, где x – количество тактов шины, необходимое для чтения первого бита в пакете; y – для чтения последующих битов в пакете.

Первым типом динамической памяти была так называемая Page Mode DRAM, или «обычная память». Page Mode DRAM осуществляет чтение каждой ячейки памяти в пакете за 5 тактов по схеме 5-5-5-5, при этом каждая ячейка в строке матрицы адресуется независимо от другой.

Следующий тип динамической памяти – FPM DRAM или «стандартная, страничная память» – позволяет не передавать повторно адрес строки запоминающей ячейки, если следующая требуемая ячейка находится в той же строке матрицы. При этом передается только адрес следующего столбца, сокращая тем самым время цикла на два такта. FPM DRAM работает по схеме 5-3-3-3 в пределах одной строки. При необходимости чтения ячейки из другой строки нужно выполнить полный цикл чтения.

Вскоре FPM была вытеснена EDO DRAM или «памятью с расширенным временем присутствия данных на выходе». Доступ процессора к EDO DRAM осуществляется быстрее примерно на 60%, чем к FPM. В EDO DRAM применена своеобразная конвейеризация работы с использованием специального регистра-защелки выходных данных (data latch). При деактивации сигнала CAS выходные данные не снимаются с шины, а удерживаются в этом регистре-защелке даже в течение следующего запроса к микросхеме. Это позволяет произвести регенерацию памяти в момент, когда контроллер памяти считывает данные. Таким образом, удается сократить общее время цикла на один такт. Возможность EDO DRAM начать доступ к следующей колонке матрицы, не дожидаясь окончания передачи из текущей, увеличивает скорость доступа в пределах одной страницы и, следовательно, увеличивает производительность системы.

Почти все современные материнские платы, включая некоторые платы для 486 процессоров, позволяют использование EDO DRAM. Память типа EDO рекламировалась как значительно более быстрая по сравнению с FPM, однако реально это преимущество не так очевидно из-за применения на материнской плате быстродействующего кэша второго уровня. Без кэша, производительность систем с памятью EDO быстрее на 20% по сравнению системы с памятью FPM, однако если размер вторичного кэша хотя бы 256 кбайт, это превосходит не превышает 1–2%.

BEDO-память или «пакетная память с расширенным временем присутствия данных на выходе» разработана как попытка дальнейшего увеличения скорости памяти за счет группировки данных в короткие пакеты (по четыре цикла). Микросхемы BEDO-памяти имеют внутренний счетчик адреса колонок (счетчик слов) для пакетного цикла. Адрес колонок выставляется только в начале пакетного цикла. Выборка 4-х операндов, требуемых для передачи внутри пакетного цикла, происходит автоматически.

Технология BEDO-памяти не нашла широкого применения. Верхний предел ее быстродействия 66 МГц. На то время эта частота уже была стандартной частотой системной шины и велись поиски к ее увеличению. Менять материнскую плату (а для работы BEDO нужен специализированный контроллер) ради технологии, у которой нет будущего, оказалось не выгодно. В настоящее время модули BEDO применяют в основном для кэширования видеопамяти в профессиональных графических системах.

SDRAM или «синхронная память» гарантировано выдает и принимает данные в строго определенные промежутки времени, что исключает несогласованность между компонентами и упрощает систему управления. Это позволяет отказаться от необходимости использования аналоговых сигналов RAS и CAS, требу-

емых для асинхронных типов DRAM, что значительно увеличивает производительность. Технология SDRAM позволила использование частоты шины выше 100 МГц. Микросхемы SDRAM являются устройствами с программируемыми параметрами, со своим набором команд и внутренней организацией чередования банков (два независимых банка). Кроме команд записи и чтения с программируемыми параметрами пакетного цикла имеются команды автоматической регенерации и перевода в режим хранения данных с пониженным энергопотреблением. Внутренний 8-битовый счетчик адреса работает по модулю, равному запрограммированной длине пакетного цикла.

Особенности различных типов памяти видно из **табл.2.**

Таблица 2

Параметр	FPM DRAM	EDO DRAM	BEDO DRAM	SDRAM
Спецификация ⁵	-5, -6, -7	-5, -6, -7	-5, -6, -7	-10, -12, -15
Время доступа (TRAC) ⁶ , нс	50, 60, 70	50, 60, 70	50, 60, 70	50, 60, 70
Длительность цикла CAS ⁷ , нс	30, 35, 40	20, 25, 30	15, 16.6, 20	10, 12, 15
Максимальная частота при пакетном цикле чтения, МГц	33, 28, 25	50, 40, 33	66, 60, 50	100, 80, 66
Схема доступа	5-3-3-3	5-2-2-2	5-1-1-1	5-1-1-1

Время доступа одинаково для всех типов памяти, поскольку их внутренняя архитектура в основном одинакова. Более показательным параметром является длительность цикла, которая показывает, насколько быстро могут быть осуществлены два последовательных доступа к микросхеме. Первый цикл считывания одинаков для всех четырех типов памяти: 50, 60 или 70 нс. Реальные различия можно увидеть по второму, третьему, четвертому и т.д. циклам считывания. Для «-6» FPM DRAM (60 нс) второй цикл осуществляется за 35 нс. Сравните это с «-12» SDRAM (время доступа 60 нс), когда второй цикл считывания проходит за 12 нс. Это в три раза быстрее и при этом без какой-либо значительной переделки системы!

(Продолжение следует)

⁴Современные микросхемы DRAM организованы по несколько бит в корпусе – микросхемы имеют несколько матриц запоминающих ячеек с общими управляющими и адресными сигналами (**рис.3**).

⁵Для FPM, EDO, BEDO DRAM спецификация указывает время доступа (нс x10), для SDRAM – длительность цикла, нс.

⁶Измеряется от начала операции чтения (спада RAS) до появления достоверных данных на выходе.

⁷Период поступления очередных данных на выходные шины в середине пакетного цикла.

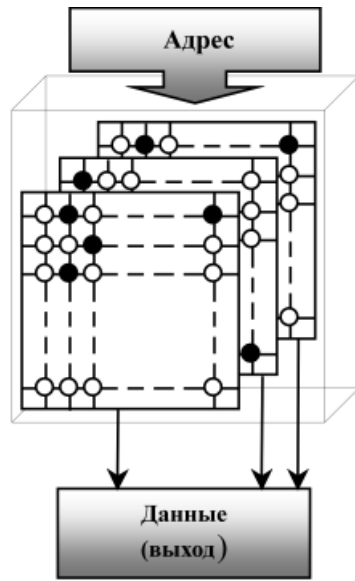


рис. 3

ВАШЕ ДЕЛО – наше слово

Полное
соответствие
ваших ожиданий
и нашего
назначения



Metro
утренняя городская газета

213 8921
8941
2359
6060

рекламная служба 170 000 экземпляров – по нулевой цене

Ремонт тестера

А. Е. Ришун, м. Дрогобич, Львівська обл.

Тестери "горять" – і це факт. Причини різні, але наслідок один: згорає резистор. І за відомим законом Мерфі потрібного номіналу немає в продажу. В такому випадку пропоную замінити постійний резистор перемінним із серії ППЗ (ППЗ-11; ППЗ-144, дротяні з фіксацією), і за допомогою справного тестера, класом точності не нижчим, ніж несправний, виставити потрібний опір. Це і просто, і швидко, і тестер працюватиме.

3-я международная специализированная выставка и конференция



**Санкт-Петербург
Выставочный комплекс Ленэкспо в Гавани**

Организатор:



Телефон: (812) 320-8098, 320-8099
Факс: (812) 320-8090
E-mail: inftech@restec.spb.su
Internet: www.restec.ru

Информационные спонсоры:



Электроника

Микросхемы усилителей звуковой частоты фирмы National Semiconductor

Таблица

Фирма National Semiconductor выпускает большую номенклатуру усилителей звуковой частоты для бытовой техники. Параметры этих микросхем сведены в **таблицу**, в которой применены следующие обозначения: $U_{\text{п}}$ – напряжение питания; $P_{\text{вых}}$ – выходная мощность (на один канал); K – количество каналов; R_h – сопротивление нагрузки; I – ток потребления при отсутствии сигнала на входе.

На **рис. 1** показана типовая схема включения усилителя мощностью 5 Вт на микросхеме LM384, на **рис. 2** – мостовая схема на двух усилителях LM384. На **рис. 3** показана схема включения композиции двух микросхем: драйвера LM4651 и набора MOS-FET-транзисторов LM4652 для усилителя мощностью 170 Вт. На **рис. 4** показана схема включения двухканального усилителя (по 11 Вт каждый канал) на микросхеме LM4752. На **рис. 5** показана схема включения усилителя мощности 1 Вт на микросхеме LM4876.

(Продолжение см.
на с.34)

Тип	$U_{\text{п}}, \text{В}$	$P_{\text{вых}}, \text{Вт}$	K	R_h, Ω	$I, \text{мА}$	Корпус
LM380	10-22	2,5	1	8	7	N14
LM384	12-26	5	1	8	8,5	DIP8
LM386	4-12	0,7	1	8	4	SOIC
LM1875	16-60	20	1	4	70	TO5
LM1876	20-64	20	2	4	80	TA15
LM1877	6-24	2	2	8	25	SOIC
LM2876	20-60	40	1	8	24	TA11
LM3875	20-84	56	1	8	30	TO-220
LM3876	20-94	56	1	8	30	TO-220
LM3886	20-94	68	1	4	50	TO-220
LM4651/52	± 20	170	1	4	240	DIP28, TO-220
LM4663	4,5-5,5	2,1	2	4	10	TSSOP
LM4700	20-66	30	1	8	25	TA11
LM4701	20-64	30	1	8	25	TA9
LM4752	9-40	11	2	8	10	TA07
LM4753	20-28	10	2	8	80	TA15
LM4755	9-40	11	2	4	10	TA09
LM4765	20-66	30	2	8	50	TA15
LM4766	20-78	40	2	8	48	TA15
LM4808	2-5,5	0,15	2	16	1,2	SOIC
LM4830	2,7-5,5	1	1	8	11	SOIC
LM4831	2,7-5,5	1	2	8	16	TQFP44
LM4832	4,5-5,5	0,35	2	8	13	SOIC
LM4834	4,5-5,5	1,1	1	8	17	SSOP
LM4835	2,7-5,5	2	2	4	15	TSSOP
LM4836	2,7-5,5	2	2	4	15	TSSOP
LM4860	2,7-5,5	1	1	8	7,0	M16A
LM4861	2,0-5,5	1,1	1	8	6,5	M08A
LM4862	2,7-5,5	0,675	1	8	3,6	M08A
LM4863	2,0-5,5	2,2	2	4	11,5	TSSOP
LM4864	2,0-5,5	0,3	1	8	3,6	DIP8
LM4870	2,0-5,5	1,1	1	8	7,0	M16A
LM4871	2,0-5,5	3	1	3	6,5	MSOP8
LM4872	2,0-5,5	1	1	8	5,3	microSMD
LM4873	2,0-5,5	2,1	2	4	7,5	TSSOP
LM4876	2,0-5,5	1,1	1	8	6,5	SO8
LM4877	2,0-5,5	1	1	8	5,3	microSMD
LM4880	2,7-5,5	0,25	2	8	3,6	DIP8
LM4881	2,7-5,5	0,2	2	8	3,6	DIP8
LM4882	2,4-5,5	0,25	1	8	2,0	MSOP8

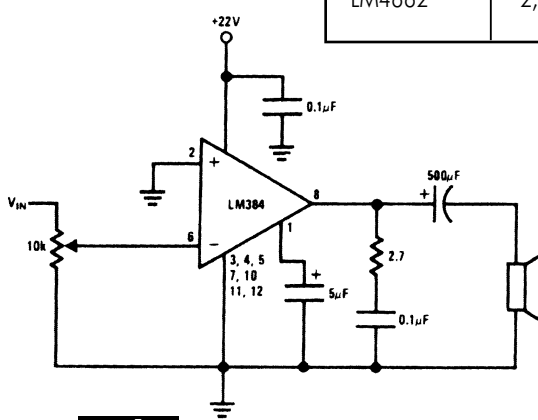


рис. 1

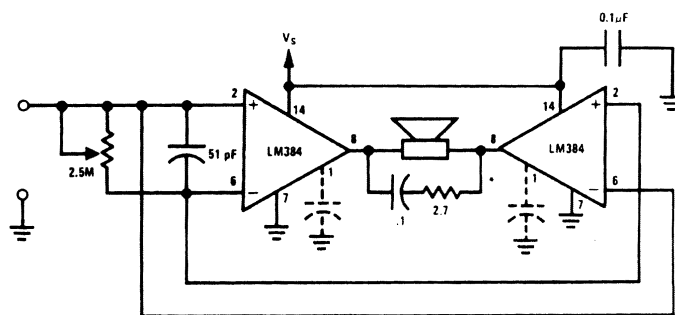
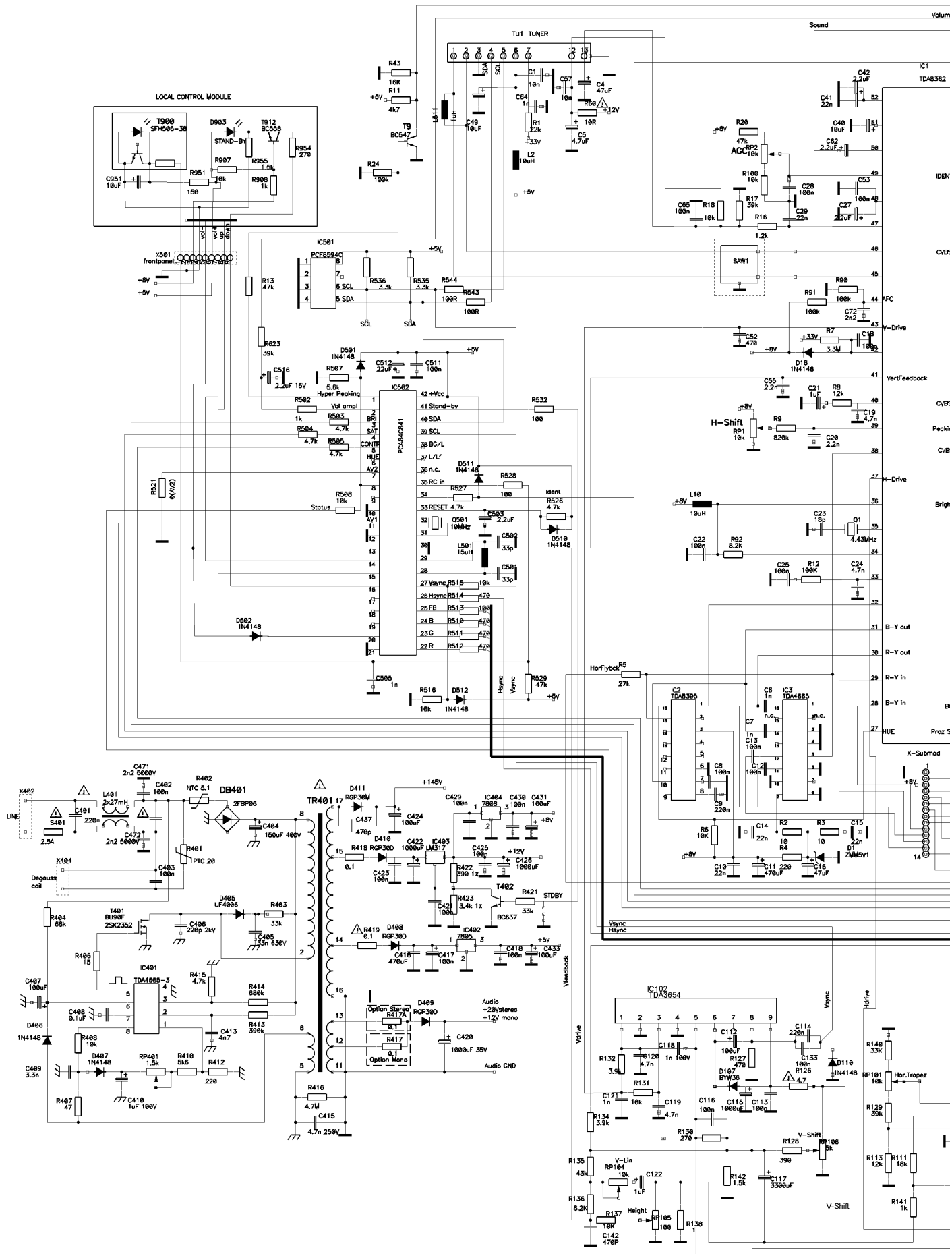
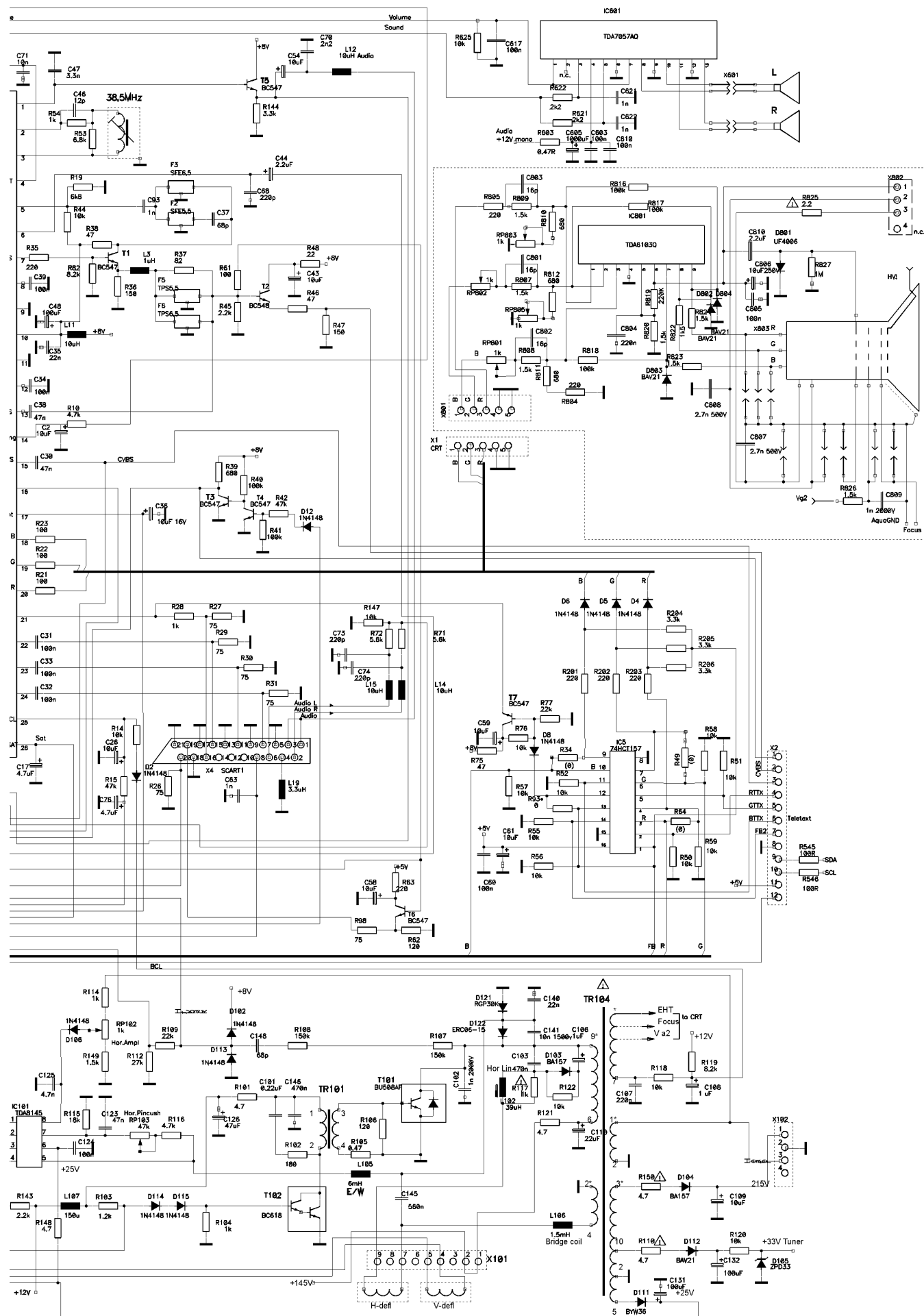


рис. 2

Принципиальная схема цветного телевизора ЕМКА 28-ТК
(описание см. на с. 12-14)





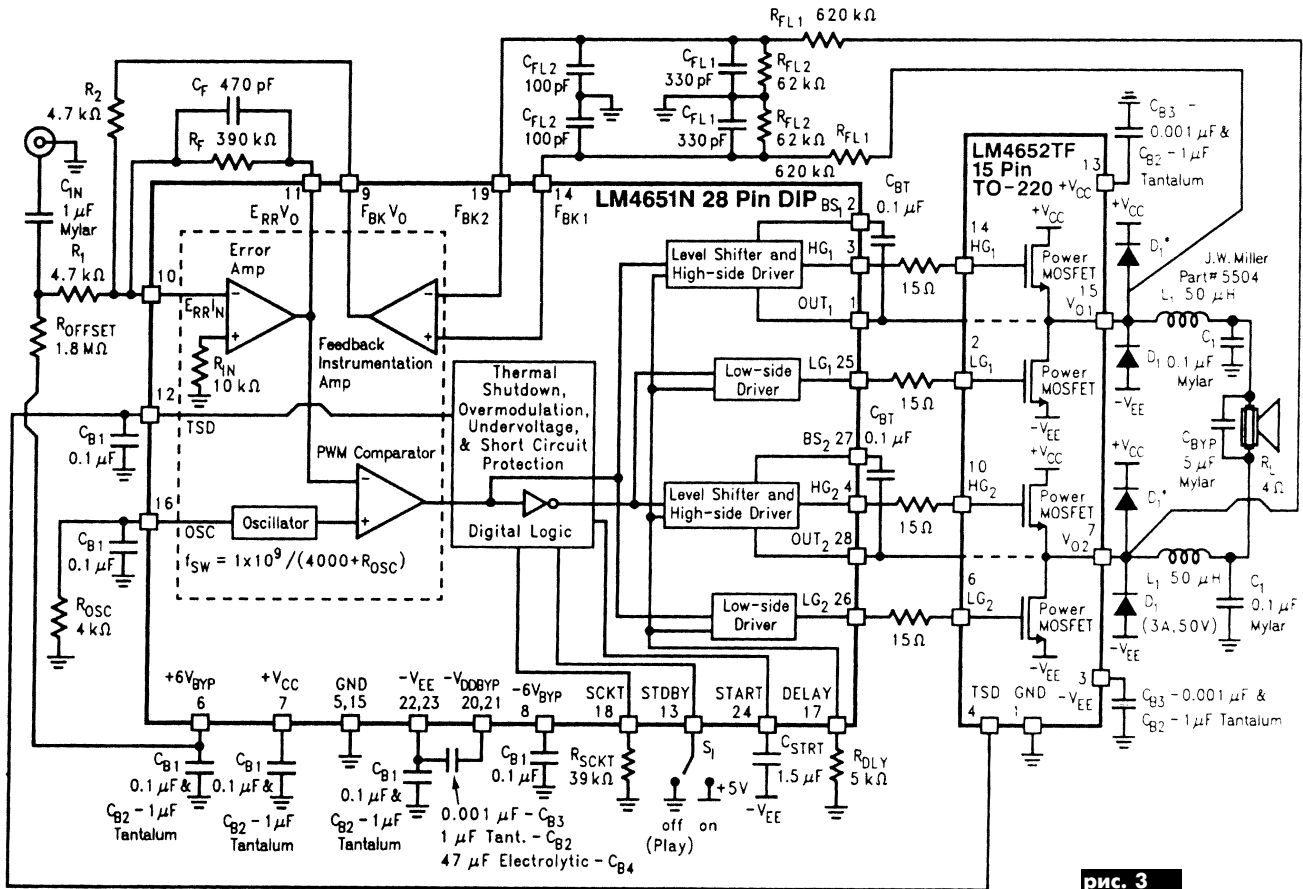


рис. 3

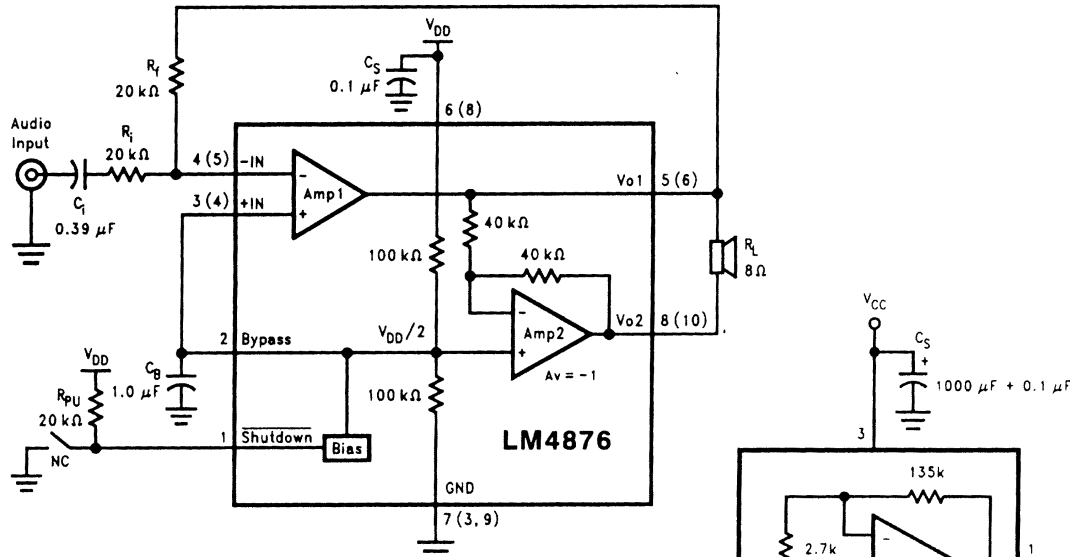


рис. 5

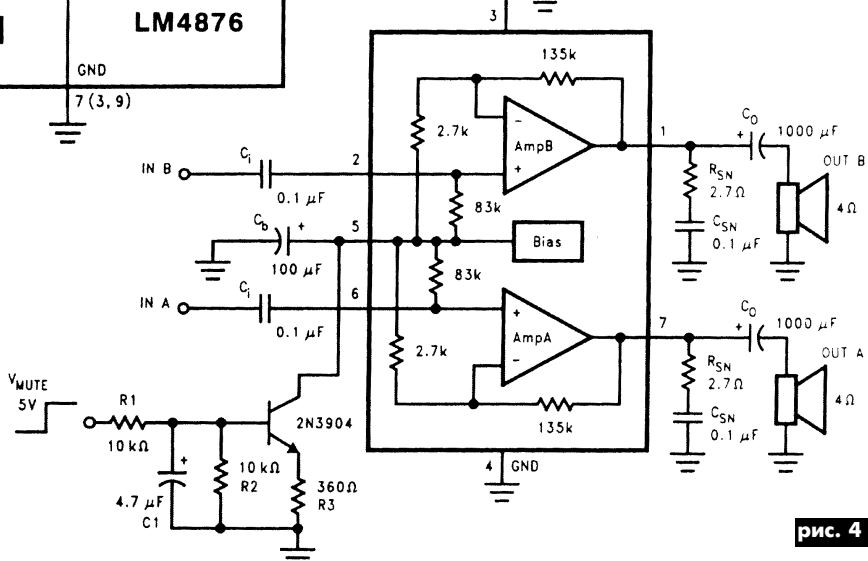


рис. 4

В статье И.Нечаева ("Радио" 9/2000, стр.9) описано, как приспособить монитор типа "Электроника МС-6105.01" от старого компьютера в качестве второго экрана телевизора, например, для дублирования телевизионной передачи на кухне. В состав разработанной приставки (рис.1) входят блок питания (в мониторе МС-6105.01 нет своего блока питания), видеоусилитель и усилитель звуковых частот. Блок питания содержит понижающий трансформатор T1, выпрямитель на диодах VD1-VD4 и стабилизатор напряжения на микросхеме DA1 и транзисторе VT3. Усилитель звуковой частоты выполнен на микросхеме DA2, громкость регулируется переменным резистором R7. Выходной сигнал усилителя через конденсатор C8 и контакт 2 разъема XP4 поступает на динамическую головку (ее выводы подключают к выводу 2 и общему проводу), установленную внутри монитора. Видеосигнал поступает через конденсатор C1 и резистор R1 на первый каскад видеоусилителя на транзисторе VT1. Благодаря высокому входному сопротивлению этот каскад практически не оказывает влияния на уровень видеосигнала на выходе источника. С выхода первого каскада сигнал по коаксиальному кабелю поступает на второй каскад (транзистор VT2), а с него – на монитор. Уровень видеосигнала регулируют подстроечным резистором R9.

Гнезда XS1, XS2 типа "тиольпан", детали первого каскада видеоусилителя и резистор R3 размещают в отдельном корпусе и монтируют методом навесного монтажа. Корпус располагают вблизи телевизора или видеомагнитофона. Большинство других деталей устанавливают на печатной плате (рис.2) из одностороннего фольгированного гетинакса. Обе микросхемы и транзистор VT3 снабжают теплоотводами. Трансформатор – любой готовый, обеспечивающий на обмотке II напряжение 15...17 В при токе нагрузки до 3 А.

Автоматический выключатель освещения на ИК лучах описан в статье С.Кулешова ("Радио", 9/2000, стр.28-29). Отличительная особенность этого устройства – подсчет числа людей, находящихся в помещении, что позволяет автоматически включать освещение при входе первого человека и выключать при выходе последнего. Автомат состоит из передающего и приемного блоков. В передающий блок (рис.3) входит генератор прямоугольных импульсов частотой 3 кГц на микросхеме DA1 и установленный при входе в помещение ИК светодиод HL1, преобразующий эти импульсы в ИК вспышки. Напротив светодиода HL1 размещены фотодиоды VD1, VD2 приемного блока (рис.4), преобразующие световые импульсы в электрические. В исходном состоянии этого блока в счетчик DD3 записано число 15, и на его выходе переноса 7 присутствует лог."0", запрещающий вкл-

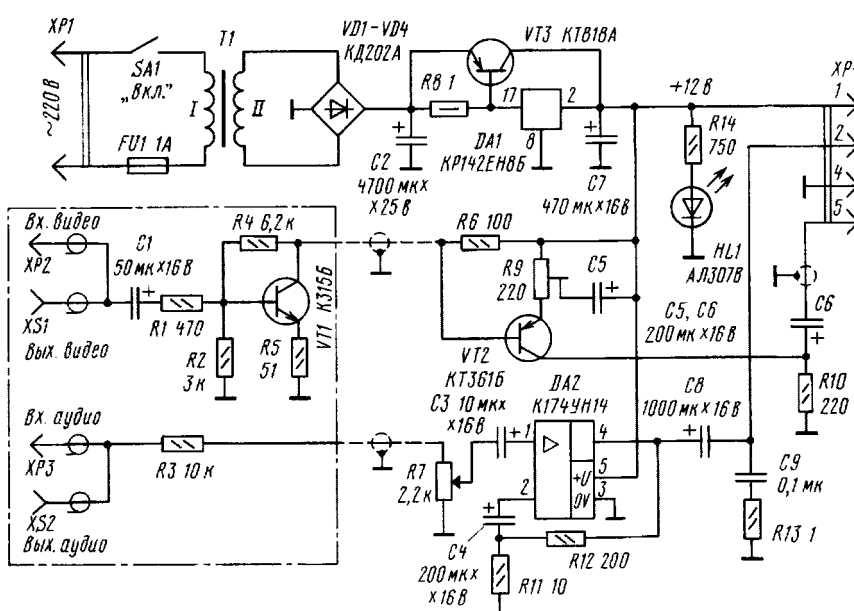


рис. 1

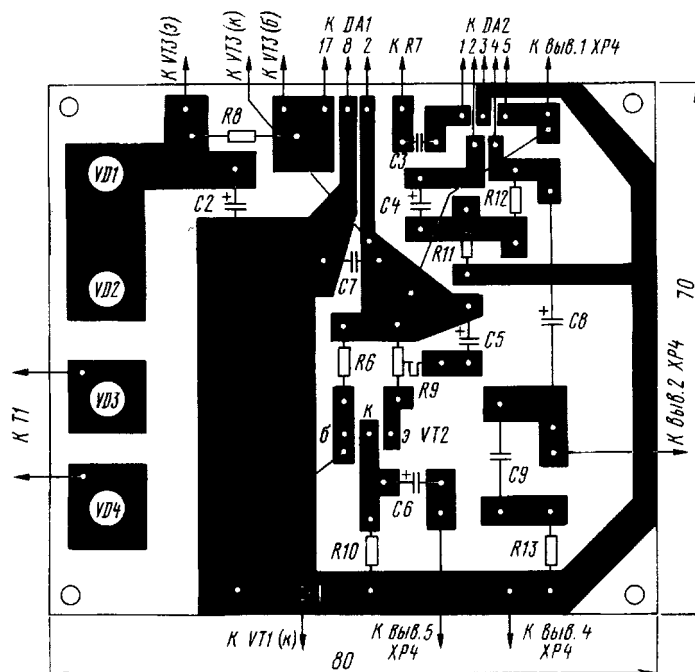


рис. 2

чение освещения. Импульсы с фотодиодов VD1, VD2 усиливаются микросхемами DA1, DA2 и поступают на транзисторы VT1, VT2, которые периодически открываются и разряжают конденсаторы C11, C12. Человек, входящий в помещение, вначале перекрывает ИК лучи, поступающие на фотодиод VD1, а затем – VD2, а когда выходит – наоборот. Логика схемы построена так, что в счетчик DD3 записывается количество людей, находящихся в помещении. Максимальное число людей, контролируемое прибором, равно 15.

Детектор электромагнитного поля описан в статье А.Клюева ("РЛ" 9/2000, стр.12). С помощью этого уст-

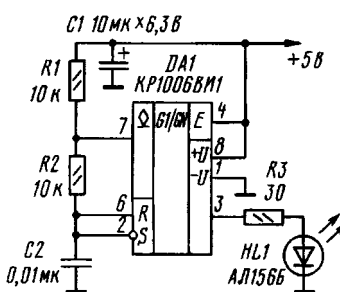


рис. 3

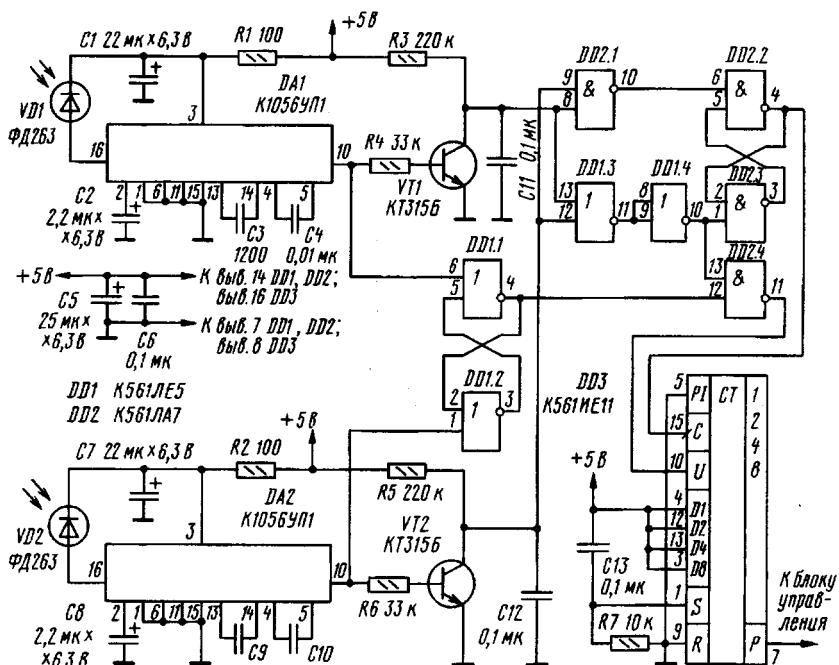


рис. 4

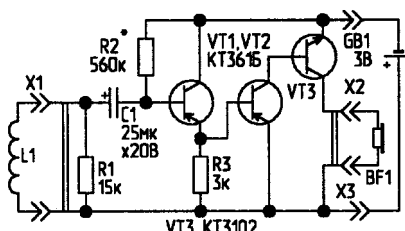


рис. 5

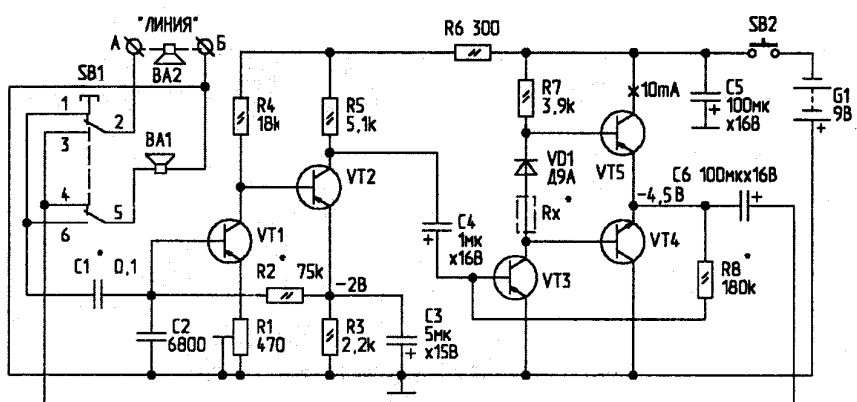


рис. 7

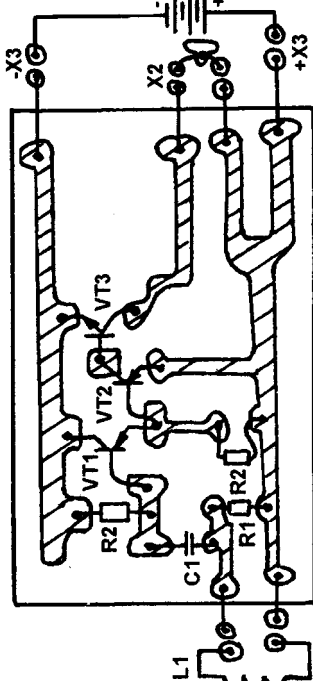


рис. 6

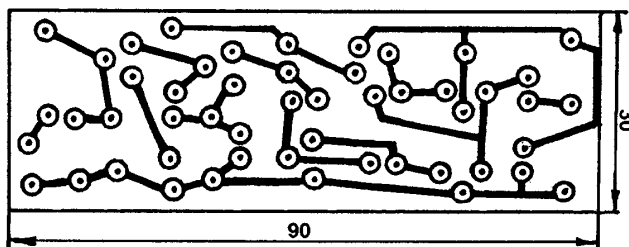


рис. 7

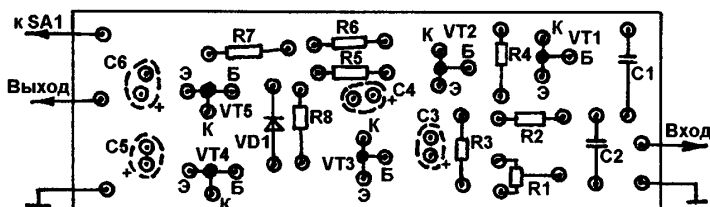


рис. 8

ройства можно записать телефонный разговор или передачи с абонентского громкоговорителя, не влезая внутрь этих приборов.

Детектор (рис.5) собран на усилителе звуковой частоты. Режим работы транзисторов задается резистором R2. В качестве нагрузки усилителя используется миниатюрный головной телефон TM-2M. Первый каскад – эмиттерный повторитель на транзисторе VT1, два других транзистора VT2 и VT3 обеспечивают необходимое усиление. Катушка L1 – динамик (капсюль) от телефона (сопротивлением 50...100 Ом) с предварительно снятой мембранный.

Его присоединяют к гнезду X1. Источник питания – аккумулятор или батарея от 1,25 до 5 В. Чертеж печатной платы показан на рис.6.

В статье А.Щербинина ("РЛ", 9/2000, стр.34) описано **переговорное устройство**, собранное на недефицитных деталях. За основу устройства (рис.7) взята классическая схема усилителя звуковой частоты (УЗЧ). При нажатии кнопки SB2 на УЗЧ, собранный на транзисторах

VT1...VT5, подается напряжение питания, и сигнал из "линии" поступает через контакты 1 и 2 кнопки SB1 на вход УЗЧ. Далее сигнал усиливается и через конденсатор C6 поступает на контакты 4 и 5 кнопки SB1, и затем — на динамическую головку BA1. Таким образом устройство "прослушивает" линию, т.е. принимает сигнал с громкоговорителя BA2, включенного на входе линии, который работает как микрофон. Для того чтобы что-нибудь передать в линию, нужно одновременно с нажатием кнопки SB2 нажать SB1. Рисунок печатной платы и размещение элементов показаны на **рис.8**.

Новогодние схемы из Интернета

<http://www.aaroncake.net>

Конструкция "взрывающийся атом" представляет собой круглую пластину, на которой расположены 98 светодиодов различного цвета свечения, причем светодиоды одного из цветов размещаются по окружности. Включаются светодиоды так (**рис.9**): вначале загорается центральный светодиод L1 и светодиоды первого кольца L2-L9, затем светодиоды второго кольца L10-L25 (первое кольцо при этом гаснет), затем светодиоды третьего кольца (второе кольцо гаснет) и далее четвертого и пятого кольца, после чего опять загорается центральное кольцо и т.д. Схема управления (**рис.10**) представляет

собой автогенератор на интегральном таймере IC2 555 (отечественный аналог KP1006ВИ1), где R1 = 4,7 кОм, R2 = 680 кОм, C1 = 0,1 мкФ и счетчик IC1 типа 4017 (отечественный аналог K561ИЕ8). Светодиоды включаются через усилители на транзисторах Q1-Q5 типа 2N3904 (отечественный аналог KT630), резисторы R3-R7 470 Ом.

<http://efy.digitalsea.net>

Схема **рис.11** представляет собой устройство для плавного изменения яркости новогодней звезды (лампочки L1). Яркость свечения лампочки определяется напряжением на конденсаторе C3, т.е. зарядом и разрядом этого конденсатора. Времязадающим элементом является генератор на интегральном таймере IC1 типа 555 (отечественный аналог KP1006ВИ1). Когда напряжение на выходе 3 таймера высокое — конденсатор C3 заряжается, когда низкое разряжается. При этом меняется выходной ток оптрана IC2. Входной ток оптрана, как видно из схемы, не превышает 1 мА. Для того, чтобы приспособить отечественные оптраны с рабочим током порядка 10 мА необходимо уменьшить R1 и R4 в 10 раз и соответственно в 10 раз увеличить емкость конденсатора C3. Выходной ток оптрана влияет на фазу включения тиристора SCR, параметры которого есть на схеме. Дополнительно регулировать яркость лампы звезды можно потенциометром VR1.

В схеме **рис.12** используются 14 двухцветных светодиода, каждый из которых имеет 3 вывода. Общий вывод светодиодов подключают на землю, на выводы красного и зеленого светодиодов подают импульсы с выходов микросхем CD4511 (отечественный аналог K561ИК2). При

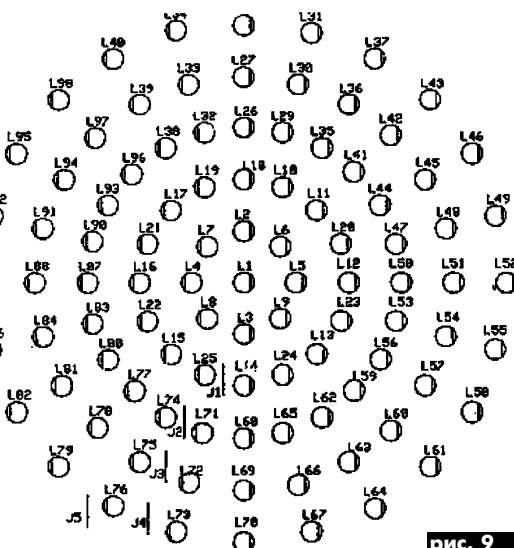


рис. 9

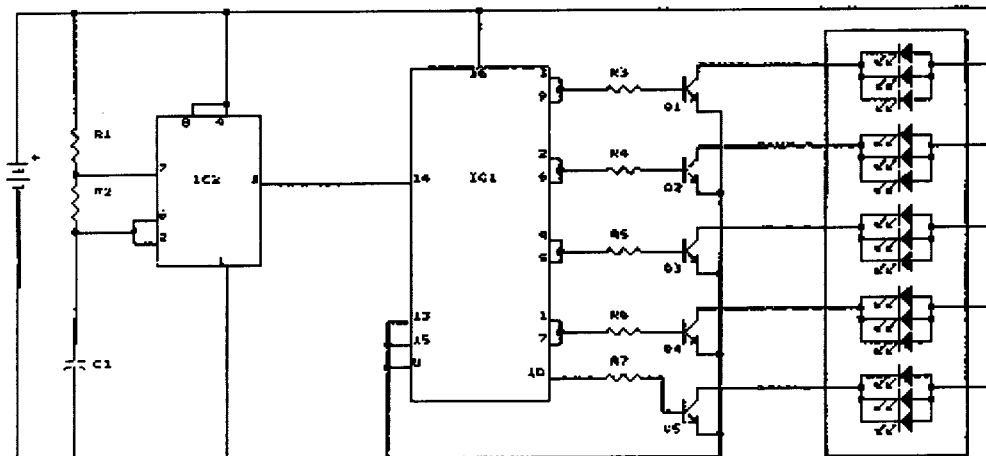


рис. 10

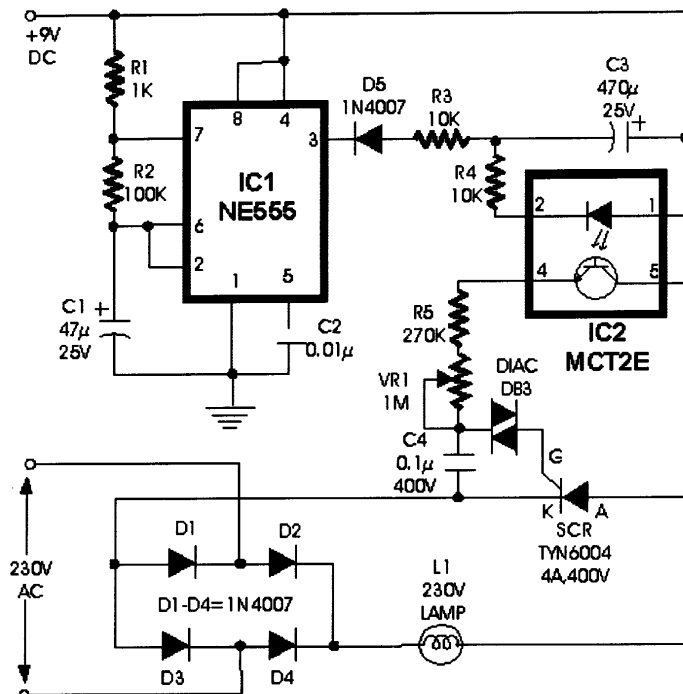


рис. 11

одновременной подаче напряжений на оба светодиода получается свечение желтого цвета.

Генератор тактовых импульсов собран на микросхеме IC1 типа 555 (отечественный аналог КР1006ВИ1). Импульсы поступают одновременно на два счетчика IC2 и IC3 типа CD4518, работающие несинхронно (отечественного аналога нет, но можно использовать двойные счетчики типа К561ИЕ10). Микросхемы IC4...IC7 представляют собой преобразователи двоичного кода в семисегментный. Можно полагать, что импульсы на выходах дешифраторов появляются псевдослучайным образом, поэтому светодиоды мигают тремя цветами. Отечественный трехцветный светодиод АЛС331А.

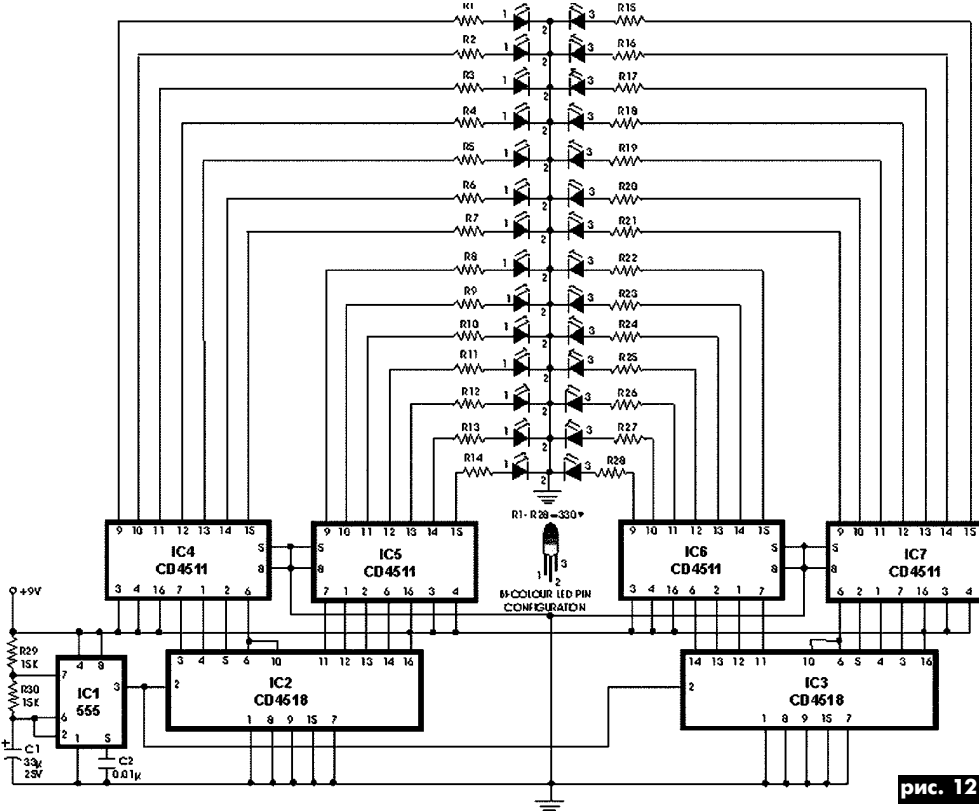


рис. 12

Читайте в "Конструкторе" 9-10/2000

(подписной индекс 22898)

С. А. Довженко. Прибор для измерения емкости электролитических конденсаторов

Прибор, с помощью которого можно измерять емкости "электролитов", не выпаивая их из схемы. Он позволяет на каждом пределе измерять емкости, отличающиеся в 100 раз, и измерять емкости от 0,1 до 10000 мкФ, имея всего 4 диапазона измерений.

А. Гончаров. "Арго-корвей" – модернизированный простой SSB мини-трансивер на диапазон 160 м

Окончание статьи, начатой в РК7-8/2000. Описаны конструкция и методика настройки трансивера, приведены данные по катушкам индуктивности.

М. А. Шустов. Светодиодный амплитудно-частотный анализатор

Несложный амплитудно-частотный анализатор, выполненный на микросхемах управления светодиодной шкалой.

А. Леонидов. Операционный усилитель – "дитя огня"

Рассказывается об особенностях неинвертирующего операционного усилителя.

Интересные устройства из мирового патентного фонда

Устройства для обучения прицеливанию при стрельбе, проведения стрелковых телегр, определения точек попадания огневого средства в мишень.

В. М. Босенко. "Вышиваем" платы

Способ монтажа, когда дорожки на плате выполняют, протягивая через просверленные отверстия проволоку. При этом детали можно располагать в два этажа, с обеих сторон монтируемой платы.

В. Ю. Солонин. Простой имитатор фейерверка

Конструкция устройства имитации фейерверка в новогоднюю ночь, для ко-

Читайте в "Электрике" 10/2000

(подписной индекс 22901)

Ю.П.Сараха. Сетевой источник переменного тока "Уникум"

Продолжение серии статей по сетевому источнику питания. Описано построение местной сети питания с помощью восемьмиштекового распределителя с пультом управления и светодиодной индикацией.

Преобразователь напряжения 12-1000 В (www.radiomir.sinor.ru)

Описан преобразователь напряжения аккумулятора в высоковольтное напряжение для питания таких приборов, как фотоэлектронный умножитель, счетчик Гейгера и др. Стабильность выходного напряжения схемы около 0,1% при токе до 200 мА. Приведен чертеж печатной платы.

С.В.Прус, Р.П.Копчак. Простой регулятор тока сварочного трансформатора

Предложен способ регулирования тока сварочного трансформатора периодическим отключением на фиксированное время его первичной обмотки. Приведено описание схемы тиристорного регулятора.

Н.Головин. Как растения реагируют на электричество

Описаны эксперименты с выращиванием различных огородных растений в условиях действия электрического поля.

Д.А.Шандренко. Транзисторный регулятор напряжения

Описан регулятор сетевого напряжения, в котором вместо мощного тиристора используется мощный транзистор. Это позволяет избавиться от помех по электрической сети и использовать регулятор для питания нагрузок индуктивного характера.

А.А.Руденко. Автомат защиты электрических устройств от перепадов сетевого напряжения

Предлагаемый аппарат отключает нагрузку от сети, если сетевое напряжение

жение выходит из заданного диапазона. Приведено описание схемы автомата защиты.

А.Н.Романенко. Автомат поддержания температуры в объеме

Автомат применяется для индивидуальных овощехранилищ на балконах, для поддержания температуры аквариумов, теплиц, жилых помещений. Описаны варианты принципиальных схем автомата.

К.В.Коломойцев. Экономная люстра

Предлагается простое устройство, позволяющее при существующей трехпроводной системе включения ламп обеспечить пять ступеней регулирования освещенности помещения, экономя при этом электроэнергию и продлевая срок службы ламп накаливания до 4-5 лет.

С.А.Довженко. В который раз о лампочке накаливания

Описаны схемы, обеспечивающие плавное нарастание напряжение на лампочке накаливания, что определяет большой срок службы лампочки. Схемы весьма компактны и могут быть смонтированы в настольные лампы и бра.

Е.Л.Яковлев. Автомобильные электронные регуляторы напряжения

Описаны схемы регуляторов напряжения бортовой сети автомобиля, предназначенных для работы с генераторами переменного тока типа Г221. Приведены рисунки печатных плат устройств.

А.В.Кравченко. AFR – электронно-механическая топливная система ВАЗ 2109 (фирмы "Акстек")

Дано подробное описание топливной системы ВАЗ 2109. Описаны технические характеристики, режимы работы и основные неисправности.

ЦИФРОВЫЕ МУЛЬТИМЕТРЫ

Измерительные приборы фирмы Hewlett-Packard хорошо известны широкими функциональными возможностями и надежностью. После выделения фирмы Agilent Technologies ей передан выпуск измерительных приборов.

Фирма Agilent Technologies выпускает два цифровых мультиметра с количеством значащих десятичных разрядов 6.5 — модели 34401А и 34970А. Мультиметр 34401А позволяет измерять постоянные и переменные напряжения и ток, сопротивление, частоту и период, выполнять некоторые математические операции при обработке измеряемой информации. Используя стандартные процедуры командных языков для программируемых приборов (SCPI) типа НР 3478F и Fluke 8840/8842F, можно записать в память программу измерений и обработки. Стыковка мультиметров с ПК осуществляется через последовательный интерфейс RS-232. Основные

проявление, во втором — температура, в третьем — переменное напряжение. Мультиметр содержит часы реального времени и энергонезависимую память, в которой можно хранить до 50000 измеренных значений, в том числе и значения моментов времени, в которые проводились измерения. Масса прибора не превышает 6 кг.

Для более точных измерений можно использовать 8.5-разрядный мультиметр 3458А или нановольтметр 34133А.

По материалам публикации журнала "Электронные компоненты и системы" №9/2000

Основные характеристики мультиметра 34401А

Диапазон измерения		Погрешность измерения, %	Дополнительные параметры
Постоянное напряжение	Разрешение		Входное сопротивление
100 мВ	100 нВ	0.0085...0.004	10 МОм или 10 ГОм
1000 В	1 мВ	0.0051...0.0055	10 МОм
Переменное напряжение		Частота	
100 мВ...750 В	5 Гц...100 кГц	0.68	
	100...300 кГц	4.5	
Сопротивление	Разрешение		Ток внутреннего источника
100 Ом...100 МОм	100 мкОм...100 Ом	0.014...0.81	1 мА...0.5 мкА
Температура	Разрешение		
Термопара -210...1820 °C	0.1 °C	-	типа B, E, J, K, N, R, S
Термистор -80...150 °C	0.01 °C	-	2.2 кОм, 5 кОм, 10 кОм
Терморезистор -200...600 °C	0.01 °C	-	49 Ом...2.1 кОм
Ток постоянный/переменный	10 мА...3 А/1...3 А	0.02/0.06	
Частота (период)	3 Гц (0.33 с)... 300 кГц (3.33 мкс)	0.01	

характеристики модели 34401А приведены в таблице.

Питание прибора осуществляется от сети переменного тока частотой 45...65 Гц или 360...440 Гц напряжением 100...240 В. Масса не превышает 3 кг. Гарантия 3 года. С мультиметром поставляется программное обеспечение для статистической обработки, построения графиков и баз данных.

Модель 34970А имеет более широкие функциональные возможности — позволяет измерять температуру, проводить измерения и обработку информации, поступающей по 20 каналам. В конструкции прибора предусмотрена возможность использования трех сменных блоков с различными функциональными возможностями. Программирование выполняемых операций позволяет производить измерения величин в каждом из каналов. Например, в первом канале измеряется постоянное на-



VD MAIS
электронные
компоненты
и системы

**Дистрибутор
фирмы PACE (США)
в Украине**

Поставки со склада в Киеве

**Семейство паяльных станций
для монтажа и ремонта электронных устройств**

→ выполнение всех операций по монтажу и демонтажу компонентов с высоким качеством и надежностью

→ простота управления и обслуживания

→ многофункциональность

→ высокая производительность

→ эргономичность

В НПФ VD MAIS открыты курсы по обучению технологии поверхностного монтажа (SMT). Запись по заявкам.

Цены и наличие на складе:
<http://www.vdmais.kiev.ua>

НПФ VD MAIS
01033, Киев, а/я 942,
ул. Владимирская, 101
офис: ул. Жилянская, 29
тел.: 227-22-62, 227-13-56, 227-52-81,
227-71-73, 227-52-97, факс: 227-36-68
e-mail: vdmais@carrier.kiev.ua

ПРИЛАД ДЛЯ ІОНІЗАЦІЇ ВОДИ

Б. Працюк, учень 9 класу, м. Київ

Прилад допомагає перетворити звичайну питну воду у воду, яка не містить шкідливих для здоров'я речовин і може бути використана в лікувальних цілях та на народному господарстві. При роботі іонатора утворюється кислотна ("мертва") і лужна ("живі") вода. "Мертві" вода має бактерицидні властивості, виводить з организму солі, поліпшує травлення. "Живі" води зменшую процеси запалення, її можна використовувати для лікування опіків. "Живі" води можна з успіхом використовувати для поливу квітів, овочів, що поліпшує їх зростання.

Прилад складається з двох частин: блока живлення та іонатора. Іонатор працює при напрузі 9 В і використанням батарейок дуже невигідно, тому блок живлення конче необхідний. Іонатор являє собою звичайну коробочку, зроблену з пласти-

ка, в який вмонтовано два металевих вилочних контакта, необхідних для підключення блоку живлення. На корпусі також розташовані два затиснічні контакти для підключення електродів іонатора, індикатор, який свідчить про наявність напруги на зажимах, а також тумблер включення іонатора. Електроди виробляються зі срібла (електроди з міді використовувати не можна, бо в процесі електролізу виникають шкідливі домішки).

Розклад води створюється постійним струмом від напруги 9 В. Для окремого отримання кислотної і лужної компоненти необхідна емність, яка б не давала зміщуватись складом вимінчастинам води. Роблять мішечок з брезенту, надягають його на один з електродів так, щоб електрод вільно розмістився в ньому. Якщо мішечок надіти на "+" електрод, то в ньому буде збиратись кислотна ("мертва") во-

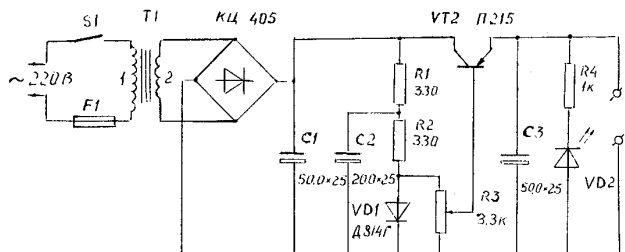


рис. 1

да, в усьому іншому об'ємі буде залишитись лужна ("живі") вода.

Блок живлення (рис. 1) - двонапівперіодний випрямляч з регульованим стабілізатором випрямленої напруги. Випрямляч з діодним мостом КЦ405 забезпечує випрямлений струм 0,8 А. Стабілізатор напруги складається з ланцюга керування і регульованого елемента. В ланцюзі керування входить параметричний стабілізатор, який складається з резистора R2, стабілітрона VD1 і змінного резистора R3. На останньому діє постійна напруга стабілізації, що подається на керований елемент VT2 (транзистор П215). Для одержання напруги на виході у межах 9-12 В напруга на вході повинна бути на 2-3 В більша, тобто 15 В. Оскільки мостикова схема випрямляча збільшує напругу вторинної обмотки трансформатора у 1,4 рази, то напруга цієї обмотки повинна складати 10,5 В.

Для поліпшення процесу електролізу води між блоком живлення і електродами, зануреними у ємність з водою, розміщений блок стабілізатора струму (рис. 2). Він зібраний на двох транзисторах різної структури VT1 і VT2, включених по схемі з зворотним звязком. У базових ланцюгах цих транзисторів включені діоди VD1 і VD2, які визначають керуючі потенціали на базах транзисторів. Резистори R1 і R2 обмежують робочий струм стабілізаторів.

Після роботи іонатора протягом 10-30 хв необхідно його вимкнути і зняти брезентовий мішечок. Якщо Ви випадково забудете вимкнути прилад і залишите його на більший проміжок часу, то нічого не трапиться, просто процес іонізації припиниться. При необхідності повторити процес треба злити переворену воду у наливну нову. Процес іонізації - це рух іонів срібла під дією електричного поля від одного електрода до іншого, при цьому воді іонізується. В результаті утворюється іонізована вода у співвідношенні 10 одиниць "живої" до 3 одиниць "мертвої" води.

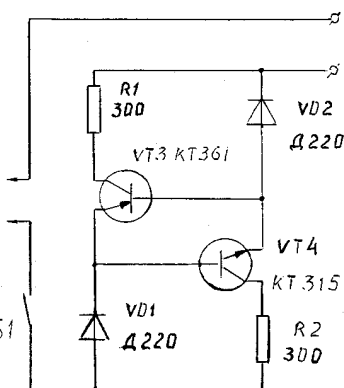


рис. 2

Існує ще один клас радіоприймачів під назвою рефлексні. За допомогою зворотнього звязку ЗЧ підсилюється радіочастотним трактом. Це веде до зменшення кількості каскодів, але прилад виходить ненадійним і з сильною залежністю параметрів від температури. Та при необхідності спроектувати малогабаритний з високою чутливістю приймач вибирають саме рефлексні схеми.

Приклад такої конструкції зображеній на рис. 22. VT1 слугить одночасно і ПЧ і ПЗЧ. Навантаженням для нього є ВЧ трансформатор T1 і R2. Це полегшує детекування та встановлення зворотнього звязку і покращує селективність. Зміщення на базу VT1 подається з "-" GB1 через R2, R1, L4, VD1 і L2. Такий довгий шлях необхідний для більшої терmostабільності конструкції. VD1 детектор, C2 і C3 слугують для згладження ВЧ пульсацій і запобігають самозбудженню. З нього НЧ сигнал через L2 знову поступає на базу VT1 і з його навантаження R2 (для низьких частот опір L4 незначний) на однокаскодний підсилювач VT2. Зміщення утворюється за рахунок спаду напруги на R3. Навантаженням слугують навушники від плерея.

S1 вигідно використовувати з гнізда для BF1: штекер увімкнений - живлення підключається. Струм споживання конструкції низький, тому в якості GB1 можна використати малогабаритний акумулятор. WA1 стандартна. Чутливості в цієї моделі достатньо для прийому найбільш віддалених радіостанцій. Використовувати P416 замість більш сучасних транзисторів доцільше, бо місця він займає не набагато більше, а велика поширеність остаточно схильє вибір на його сторону.

T1 намотують на феритовому кільці з зовнішнім діаметром 16 мм, внутрішнім 14 мм і товщиною 4 мм. Дріт звичайний, діаметром 0,06 мм (з обмотки зіпсованого реле РПН, РКН, РКМ на напругу 200 В). Кількість витків L1 і L2 = 160.

Необхідність намотувати високочастотний трансформатор - суттєвий недолік схеми (рис. 22). Звільнений від такої води приймач по схемі (рис. 23). Він має велику вихідну потужність, якої достатньо для озвучення кімнати середніх розмірів. VT1 і VT2 - рефлексний ПВЧ. З детектора на VD1 і VD2 звукова частота через R3C4 подається на базу VT1, де її підсилюється. VT3 виконує роль додаткового каскаду ПЗЧ, щоб "розкати" ВА1. R4 задає початковий струм VD1 і VD2, покращуючи, тим самим, лінійність детекування.

(Далі буде)

Радіоаматорські приймачі

А. Ришун, м. Дрогобич, Львівська обл.

(Продовження. Початок див. в РА 6-10/2000)

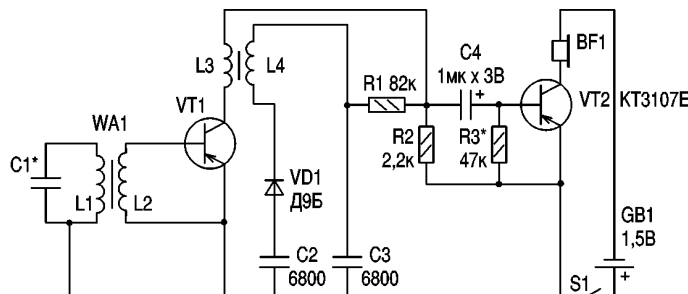


рис. 22

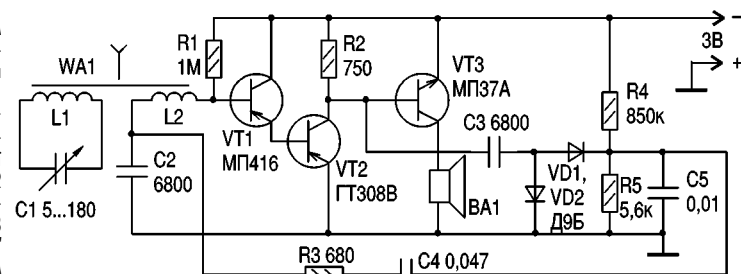


рис. 23

Беседы о Электронике

А.Ф. Бубнов, г. Киев

(Продолжение. Начало см. в РА 8-12/99; 1-10/2000)

ОБОРУДОВАНИЕ РАБОЧЕГО МЕСТА – МАСТЕРСКОЙ

Электропаяльники

Несмотря на довольно широкое распространение печатного монтажа, радиоаппаратуру до настоящего времени монтируют преимущественно обычной пайкой, поэтому электропаяльник остается до сих пор одним из основных инструментов радиолюбителя. По своей конструкции паяльники могут быть различными. Наибольшее распространение получили паяльники с медным жалом (прямым или изогнутым, а для пайки микросхем жало имеет проточку или отверстие в рабочем конце жала паяльника).

Нагревательным элементом в них обычно служит проволока с повышенным сопротивлением, наматываемая на медный стержень. Для изоляции этой намотки служит слой спуды.

Подготовка паяльника к работе

Новый или только что отремонтированный паяльник необходимо подготовить к работе. Прежде всего рабочей части паяльного стержня (жала паяльника) должна быть придана заостренная форма (30 градусов), что часто делают напильником. Однако лучше всего жало паяльника проковать несильными частыми ударами молотка, тогда наклеп уменьшит интенсивность растворения меди в расплавленном припое, и жало паяльника прослужит гораздо дольше (после обработки паяльного стержня молотком его необходимо привести в порядок с помощью напильника и надфilia и, конечно, наждачной бумагой).

Затем приступают к залуживанию. Для этого, слегка нагрев паяльник, покрывают рабочую часть жала паяльника слоем канифоли, чтобы исключить окисление меди под воздействием кислорода воздуха при высокой температуре. Перегрев паяльника пе-

ред покрытием его жала канифолью недопустим. Если же паяльник по какой-либо причине оказался перегретым и защищенная часть жала оказалась покрыта темно-синим налетом окиси меди, то его следует остудить и вновь зачистить. Как только рабочая часть жала нагреется до температуры плавления припоя, вся его поверхность должна быть покрыта припоеем. Нагар, образующийся во время работы, следует счищать, потирая жало паяльника о канифоль.

Электрические паяльники, предназначенные для пайки оловянно-свинцовыми припоями, до недавнего времени выпускали следующих марок: ПЧН-10, ПЧН-16, ПЧН-25, ПЧН-40, ПЧН-65, ПЧН-100, ПЧН-160, ПЧН-250. В марке паяльника буква П обозначает паяльник электрический; Ц – немененный паяльный стержень; Н – непрерывный режим нагрева; цифры – номинальную мощность в ваттах.

Во время работы паяльник нельзя класть на стол, верстак и т.д., так как он быстро остывает, а также загрязняется, поэтому следует пользоваться специальной подставкой. В домашней мастерской чаще всего применяют паяльники мощностью 25 и 40 Вт. Чтобы не допустить перегрева паяльника, лучше всего изготовить подставку, в которой предусмотреть возможность переключения напряжения питания паяльника с полного на половинное. А достигается это довольно просто. Необходимо, чтобы пальник, опираясь на подставку, включал собственным весом через микровыключатель последовательно с нагревательным элементом силовой диод, который будет пропускать только одну полуволну переменного напряжения, и на паяльник будет поступать напряжение в два раза меньше номинального (рис.4).

Кроме того, иногда необходимо с помощью паяльника припаять очень мелкие вещи или в труднодоступном месте. Для этого на паяльный стержень надо намотать спираль из медной проволоки диаметром 0,8–1 мм, кончик которой заострить наподобие жала паяльника.

Чем ближе к жалу паяльника кончик проволоки, тем выше его температура (рис.5). И наконец, несколько рекомендаций по сварке проводов высокого сопротивления. Дело в том, что проволока из сплавов высокого удельного сопротивления очень трудно поддается пайке. Кроме того, большинство проволочных сопротивлений во время работы сильно разогреваются, поэтому применять обычную пайку нельзя. Значительно лучший результат получается, если провода не паять, а сваривать, особенно если это провода тонкие.

Преимущество сварки состоит в том, что для нее никаких припоеев не требуется, а контакт при этом получается очень надежным, так как температура нагрева свариваемых проводов значительно выше, чем, например, у оловянно-свинцовых припоеев. В этом случае даже при сильном нагреве сваренного контакта соединение проводов не нарушается.

Простой способ сварки проводов высокого сопротивления

Для соединения проводов из сплавов высокого сопротивления (никрома, константана, манганина и т.п.) можно использовать упрощенный способ сварки без применения какого-либо специального инструмента.

Провода в месте их соединения следует зачистить, скрутить и пропустить через них ток такой величины, чтобы место пайки накалилось почти добела. На это место пинцетом положить кусочек ляписа, который при нагревании расплывается, в результате чего в месте соединения возникает прочный контакт.

Если диаметр свариваемой проволоки из сплава высокого удельного сопротивления не превышает 0,15–0,2 мм, то оба конца можно сваривать другим способом. Для этого их надо намотать на тонкую медную проволоку (диаметром 0,1–0,15 мм), причем с реостатной (высокого сопротивления) проволоки изоляцию можно не удалять. Затем соединенные таким способом проволочки вносят в пламя какого-либо горелки с достаточно высокой температурой. Медь при этом начинает плавиться и образует каплю расплавленного металла, прочно соединяющую оба реостатных провода. Этот способ можно применять при сварке медных проводов с проводами высокого сопротивления или медных проводов между собой.

Сварка проводов с применением флюса

Для получения надежного контакта электросварку проводов можно проводить с помощью флюса следующим образом: провода зачищают, концы их складывают и скручивают плоскогубцами. При этом надо следить, чтобы скрученными были оба конца, иначе сварка будет затруднена. Если провода хрупкие (например, никром), то концы можно согнуть под прямым углом, сложить их вместе и связать тонкой проволокой,

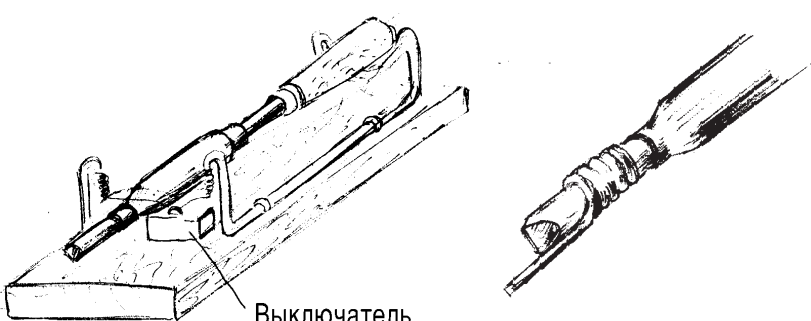


рис. 4

рис. 5

которую после сварки следует удалить.

На место соединения наносят флюс, в качестве которого используют буру (или кристаллическую борную кислоту), разведенную в воде до состояния кашицы. Борную кислоту лучше применять для сварки тугоплавких металлов.

Скрученные проволочки, которые нужно сварить, подключают к электрической цепи, последовательно соединяя их с нагревательным прибором (электроплиткой, утюгом, паяльником). Второй штырек вилки нагревательного прибора включают в гнездо штепсельной розетки через цепь, состоящую из соединяемых проводов и электрода, в качестве которого используют грифель обыкновенного карандаша. К электроду можно приделать простейший держатель, обмотав конец грифеля проволокой (**рис.6**).

Площадь сечения проводов в месте сварки должна быть равна площади сечения провода нагревательного элемента прибора, включенного в цепь.

При сварке для защиты глаз от яркого света дуги необходимо пользоваться темными очками, или, в крайнем случае, закопченным стеклом. Высококачественную сварку (шарик на конце провода) можно получить при правильном подборе величины тока и положения электрода в момент сварки. Время горения дуги в момент сварки – несколько секунд.

По окончании сварки место соединения проводов необходимо тщательно очистить от буры. Слой буры, покрывающей шарик, образовавшийся в месте сварки от расплавленных проводов, легко раскалывается, если его сжать плоскогубцами. Остатки буры удалить, промывая место сварки водой.

Пайка никрома

Соединение никрома с никромом, медью и ее сплавами, а также с изделиями из стали часто можно производить пайкой, используя флюс следующего состава: вазелина – 100 г, хлористого цинка в порошке – 7 г, глицерина – 5 г. Для обезжиривания места соединения используют 10 % спиртовой раствор двухлористой меди – 100 мл.

Флюс приготовляют в фарфоровой ступке, в которую сначала помещают вазелин, а затем добавляют в последовательности, указанной в рецепте, остальные компоненты, хорошо перемешивая их до получения однородной массы.

Поверхности деталей перед пайкой тщательно очищают наждачной бумагой, а затем протирают спиртовым раствором двухлористой меди для удаления жира, краски и ржавчины. После этого поверхность смазывают флюсом, облучивают и только после этого паяют вместе. Для пайки желательно применять припой ПОС-40 или ПОС-61.

Механические соединения деталей

При механическом монтаже очень часто возникает необходимость соединения различных деталей и частей конструкций с помощью различного вида крепежа: заклепок, винтовых соединений, резьбовых соединений, шурупов и т.д. В этом случае следует избегать соединения несовместимых металлов, так как некоторые из них образуют гальванические пары: в месте их касания при попадании влаги гальванические пары вызывают усиленную коррозию металлов.

Таблицы совместимых и несовместимых металлов довольно обширны, да и публикуются они довольно часто, поэтому приведем

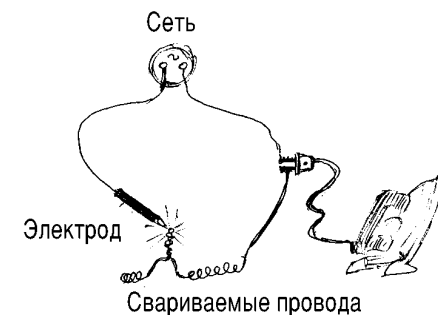


рис. 6

лишь несколько примеров, наиболее часто применяемых в электронике. Итак, алюминий, наиболее часто применяемый в электронике металл, несовместим с бронзой, латунью, медью, никелем, оловом, оловянно-свинцовыми сплавами (припоями ПОС), хромом. Совместим с дюралюминием, нелегированными сталью, цинком. Латунь несовместима с алюминием, дюралюминием, нелегированными сталью, цинком. Совместима с бронзой, медью, никелем, хромом. Совместима при пайке, но несовместима при непосредственном соприкосновении с оловом и припоями.

(Продолжение следует)

Литература

- Барановский А.М., Дробница Н.А. Книга домашнего умельца. –К.: Техника, 1989.
- Шабалин С.А. Измерения для всех. –М.: Издательство стандартов, 1992.
- Иваницкий В. Советы радиолюбителю. –М.: Изд. ДОСААФ, 1964.

ОСНОВЫ МИКРОПРОЦЕССОРНОЙ ТЕХНИКИ

(Продолжение. Начало см. в РА 1–10/2000)

О. Н. Парталя, г. Киев

Программы для микропроцессора K580

Некоторые примеры программ уже приводились в РА 7/2000. Вернемся к программе сложения целых беззнаковых чисел, но на несколько другом уровне. Во-первых, вводятся псевдокоманда ORG, по которой счетчик ячеек памяти устанавливается в значение, находящееся в поле операнда псевдокоманды. С этой псевдокоманды начинается программа. В конце программы ставится псевдокоманда END. Первое слагаемое расположим в регистровой паре (B,C), второе – в паре (H,L). В регистре (E) расположим счетчик N байтов. Графическая структура алгоритма вычислений показана на **рис.24**. Программа имеет вид:

0400	ORG	400H	;псевдокоманда начала, ввод начального адреса
0400	MOV	D,E	;перенос содержимого регистра D в регистр E (сохранение счетчика)
0401	PUSH	B	;сохранение адреса 1
0402	XRA	A	;обнуление переноса C = 0
0403	LOOP	LDAX B	;загрузка аккумулятора из регистра B
0404	ADC	M	;сложение с учетом переноса
0405	STAX	B	;запись содержимого аккумулятора в регистр B
0406	INX	B	;увеличение на 1 адреса в регистре B
0407	INX	H	;увеличение на 1 адреса в регистре H
0408	DCR	E	;уменьшение на 1 числа в регистре E
0409	JNZ	LOOP	;переход на метку LOOP при ненулевом результате в регистре E, если результат нулевой, то выполняется следующая команда
040C	POP	B	;восстановление адреса 1
040D	MOV	E,D	;восстановление счетчика
040E	RET		;возврат из подпрограммы, если C = 1, то переполнение
0000	END		

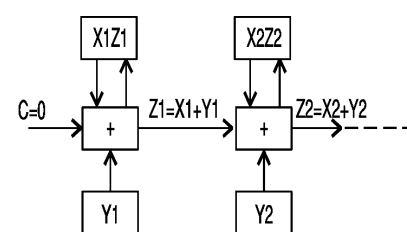


рис. 24

Программа для сложения десятичных чисел отличается только введением между адресами 0404 и 0405 команды DAA – десятичной коррекции результата.

Программа для вычитания двоичных чисел отличается от приведенной заменой операции 0404 ADC на SBB.

Программа умножения беззнаковых чисел в упрощенном виде дана в РА 4/2000. Ниже приведен ее полный вид. В регистре (C) располагается множитель, в регистре (E) – множимое, произведение заносится в регистровую пару (H,L). Графическая структура алгоритма вычислений показана на **рис.25**.

```

0500      ORG    500H ;ввод начального адреса
0500      XRA    A     ;обнуление переноса
0501      MOV    H,A   ;перенос содержимого H в аккумулятор
0502      MOV    L,A   ;перенос содержимого L в аккумулятор
0503      MOV    D,A   ;перенос содержимого D в аккумулятор
0504      ADD    C     ;суммирование содержимого аккумулятора с
                      ;регистром C
0505      RZ     .       ;если множитель равен нулю – возврат из
                      ;подпрограммы, если нет, то переход на
                      ;следующую команду
0506  LOOP   DAD    D     ;начало цикла
0507      DCR    A     ;уменьшается на 1 содержимое аккумулятора
0508      JNZ    LOOP   ;переход на метку LOOP при ненулевом
                      ;результате, если результат нулевой, то
                      ;выполняется следующая команда
050B      RET     .       ;возврат из подпрограммы
0000      END    .       ;возврат из подпрограммы

```

Графическая структура алгоритма деления целых беззнаковых чисел показана на **рис.26**. Делимое размещается в регистре (H,L), делитель – в регистре (C), частное – в регистре L.

```

0600      ORG    600H ;ввод начального адреса
0600      MOV    H,A   ;перенос содержимого H в аккумулятор
0601      SUB    C     ;вычитание делителя из делимого
0602      RNC    .       ;если переполнение, то перенос C=0
0603      MVI    B,8   ;счетчик циклов
0604  LOOP   DAD    H     ;(A) – старший байт остатка
0605      MOV    A,H   ;переход на метку при переполнении остатка
0606      JC     STEP1  ;вычитание делителя без остатка
0607      SUB    C     ;вычитание делителя без остатка
0608      JNC    STEP2   ;переход на метку, если разность больше 0
0609      ADD    C     ;переход на метку, если разность меньше 0
060A      MOV    H,A   ;(A) – старший байт остатка
060B      JMP    STEP3   ;переход на метку, если разность меньше 0
060C  STEP1   SUB    C     ;переход на метку, если разность меньше 0
060D  STEP2   MOV    H,A   ;+1 в частное
060E      INX    H     ;+1 в частное
060F  STEP3   DCR    B     ;Делимое
0610      JNZ    LOOP   ;зацикливание
0611      STC    .       ;установка 1 в перенос
0612      RET    .       ;возврат из подпрограммы
0000      END    .       ;возврат из подпрограммы

```

Программы вычислений дробных чисел и чисел с плавающей запятой гораздо сложнее, их можно найти в специальных руководствах.

Программа преобразования целых десятичных чисел (00, 99) в двоичные (00, 63) распаковывает исходное двоично-десятичное число на младшее и старшее десятичные числа (МЛЦ и СТЦ), а затем умножает СТЦ на 10 и суммирует произведение с МЛЦ. Умножение на 10 производится путем сдвигов и сложений ($2^3 + 2^1$). В программе входное двоично-десятичное число заносится в аккумулятор, в нем же образуется выходное двоичное число.

```

0700      ORG    700H ;занесение начального адреса
0700      MOV    B,A   ;занесение начального адреса
0701      ANI    0FH   ;маска на МЛЦ
0702      MOV    C,A   ;МЛЦ в C
0703      MOV    A,B   ;занесение начального адреса
0704      ANI    0F0H   ;маска на СТЦ
0705      RRC    .       ;перенос в А
0706      MOV    B,A   ;СТЦ, умноженная на 8, в В
0707      RRC    .       ;перенос в А
0708      RRC    .       ;СТЦ, умноженная на 2, в А
0709      ADD    B     ;СТЦ, умноженная на 8 + 2 = 10
070A      ADD    C     ;сумма 10 СТЦ + МЛЦ
070B      RET    .       ;возврат из подпрограммы
0000      END    .       ;возврат из подпрограммы

```

(Продолжение следует)

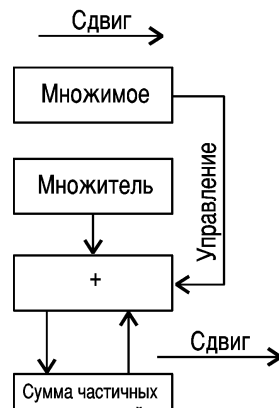


рис. 25

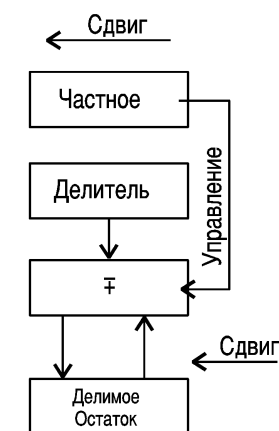


рис. 26



БЮЛЛЕТЕНЬ ЛРУ №3

Редакция
И. ЗЕЛЬДИН, UR5LCV
А. ЛЯКИН, UT2UB
В. БОБРОВ, UT3UV
М. ЛУППИ, UT7WZ
В. ВАКАТОВ, UT1WA
А. ПЕРЕВЕРТАЙЛО, UT4UM
Г. ЧЛИЯНЦ, UY5XH
П. ФЕДОРОВ, редактор

ЛЮБИТЕЛЬСКАЯ СВЯЗЬ И РАДИОСПОРТ

Ведущий рубрики А. Перевертайло, UT4UM

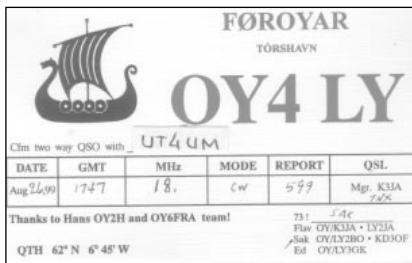
DX-NEWS by UX7UN (tnx UT2UB, I1JQJ, WC7N, SP5EWY)

4W, EAST TIMOR – с 15 октября из Восточного Тимора будут работать K7BV и N6FF.

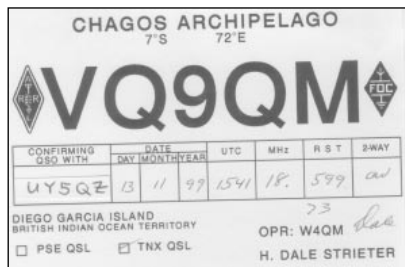


4W/N6FF планирует использовать диапазоны 160 и 80 м, а 4W/K7BV будет активен на всех KB диапазонах, в том числе WARC.

9M2, MALAYSIA – с острова LANDKAWI ISLAND, IOTA AS-058 будет активен 9M2/J1ETU на диапазонах 3,5–28 MHz SSB и CW. QSL via J1ETU.



A3, TONGA – после завершения экспедиции на SOUTH COOK (ZK1), оп. Angelo, I6BQJ будет работать из TONGA позывным A35BQ. Он предполагает работать в основном с Европой и будет использовать частоты 1820,



3520, 7020, 10110, 14020, 18080, 21020, 24900 и 28020 kHz CW, а на SSB будет переходить по просьбам корреспондентов. QSL via 16BQI.

D4, CAPE VERDE – оп. Alberto, IV3TAN будет активен из QTH SAOTIAGO (IOTA AF-005) позывным D44BS на всех диапазонах. Во время CW WW DX Contest он будет использовать позывной D4A в категории SOAB. QSL для CW. QSL via J1ETU.



D44BS высылать по адресу: P.O. Box 308, PRAIA, CABO VERDE. QSL для D4A via I2MQP.

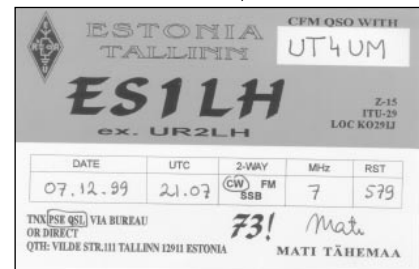
ET, ETHIOPIA – оп. Claudio, IV3OWC и Silvio, IV3TRK с конца октября начали работу позывными 9E1C (SSB) и 9E1S (CW).

QSL 9E1C via IV3OWC.
QSL 9E1S via IV3TRK.

HL, KOREA – в честь юбилейной конференции KOREA DX CONVENTION 2000 из QTH SEOUL будет работать специальная станция 6K2000DX. QSL via HL1XP.

HP, PANAMA – в ближайшие несколько месяцев из всех 9 радиолюбительских районов будут работать специальные станции с префиксами 3E...PSK. В ноябре на диапазонах 28, 21, 14 и 7 MHz будут работать 3E1PSK и 3E8PSK. QSL для 3E1PSK via HP1EPR. QSL для 3E8PSK via HP8AL.

KHO, SAIPAN – оп. Hide, JF1VXB активен из SAIPAN (IOTA OC-086) позывным KHO0M на диапазонах 3,5–50 MHz CW, SSB, RTTY и PSK. QSL via JARL. оп. Tsutomu, JA1VND работает из SAIPAN позывным KHO/JA1VND CW и SSB.



QSL via JA1VND по адресу: TSUTOMU HORIKOSHI, 656 Yoshii, YOSHII, 370-2132, JAPAN.

XW, LAOS – оп. Toni, Z21KD будет работать позывным XW4XJ из LAOS на диапазонах 14 и 28 MHz SSB. QSL необходимо высыпать по адресу: Toni Latz, P.O. Box 2081, Bulawayo, Zimbabwe.

3W, VIET NAM – QSL для 3W7CW до конца 2000 г. можно отсыпать по адресу SP5AUC: P.O. Box 11, WARSZAWA 93, POLAND, а после этой даты по адресу нового QSL-manager SP5JTF: Adam Perz, P.O. Box 12, 01-323, WARSZAWA 83, POLAND.

Изменения и дополнения в списке IOTA

AF-089	TR-C.
AS-152	UA0Q-e.
NA-219	C6-a.

Активность островов для диплома IOTA-2000 октябрь

AN-004	NA-120	NA-171
NA-006	NA-124	NA-175
NA-009	NA-131	NA-179
NA-011	NA-135	NA-183
NA-017	NA-143	NA-185
NA-030	NA-144	NA-186
NA-043	NA-162	NA-188
NA-066	NA-163	NA-189
NA-078	NA-164	SA-001
NA-092	NA-165	SA-004
NA-115	NA-166	SA-083
NA-119	NA-167	

AF-006	VQ9QM	S.AMERICA	
AF-016	FR5CD	SA-011	9Z4DZ
AF-016	FR/F5XX	SA-016	PR0CBS
AF-089	TR0A/p	SA-058	YW5FC

N.AMERICA	OCEANIA
NA-003 VP5VAC/p	OC-005 AX9YL
NA-032 TO0DX	OC-006 VK7KOB
NA-056 CO4OTA	OC-027 FO3BM
NA-065 W7OG	OC-049 A35AU
NA-066 K16T	OC-055 KL7JR/1
NA-069 N9EAJ/4	OC-057 FO0DEH
NA-072 HO1A	OC-063 FO0MOT
NA-073 V31MX	OC-083 ZK1MMH
NA-100 V29TBK	OC-085 KH6ND/KH5
NA-103 VP2MDC	OC-086 KH0M
NA-112 KS4S/M	OC-086 KH0/JA1VND
NA-112 K8SCH	OC-088 YF7PT
NA-128 VE2OV/p	OC-137 VK4CY
NA-137 KW1DX	OC-148 4W/K7BV
NA-144 WC6DX	OC-166 YC7IDZ
NA-145 PJ5JP	OC-198 8A3B
NA-201 CO9OTA	OC-212 VI2BI
NA-204 CO6OTA	OC-235 DU9BCD
NA-218 CO8OTA	
NA-219 W5BOS/C6A	

IOTA – news (tnx UY5XE)

Летняя активность	EU-175 CU3DJ
EUROPE	EU-183 YP1W
	EU-185 UE6AAD
EU-009 GM3VLB/p	
GM0DHZ/m	
EU-010 M/SP6TPM/M	AS-008 JQ1SUO/1
EU-011 GB0SM	AS-025 UA0IA/0
EU-023 9H0VRZ	AS-028 UA0QBA
EU-025 OZ/DL4FCH	AS-030 JD1BCK
EU-049 SV8/ON4BB	AS-032 JA6CTW
EU-067 SV1EDY/8	AS-036 JA4LVZ
EU-084 SMOEJR	AS-043 JI1PLF/1
EU-085 UA1QV/1	AS-058 9M2/J1ETU
EU-093 EA5/DK5IM/p	AS-060 DS0DX/4
EU-120 GB5LI	AS-066 RK0LWW/p
EU-125 OZ/DL1EBR/p	AS-095 RI0ZKR
EU-131 UA1ANA/1	AS-112 A45ZN/p
EU-137 SM7DAY/p	AS-152 R0/UR8LV
EU-141 IM0/IN3YGW	
EU-155 IK4RQJ/4	
IK4VET/4	
EU-175 CU3AN	AF-005 D44BS
	AF-005 D4A



SIX NEWS тnx UY5QZ

Новости диапазона 50 MHz

Экспедиция VP8DBL



В апреле 2000 г. Chris Gare, G3WOS, совершил двухнедельную поездку на Фолклендские острова. Основной целью известного актива "магического диапазона" было изучение прохождения на диапазоне 50 MHz в этой части света и популяризация этого диапазона среди местных радиолюбителей. До Фолклендской войны с Аргентиной на островах полностью отсутствовала телефонная связь и местные жители очень активно пользовались любительскими диапазонами и позывными для проведения локальных QSO, этим и объясняется огромное количество позывных VP8. Но работой с DX мало кто увлекался. Диапазон 6 м у местных жителей вообще считался непригодным для проведения дальних связей. Крис использовал позывной VP8DBL и трансивер KENWOOD TS-690 без усилителя мощности. Свои эксперименты на 50 MHz он начал утром 12 апреля и уже сразу сумел провести несколько QSO с G, GW на заранее оговоренных частотах. Перейдя потом на традиционную частоту 50110 kHz и начав давать общий вызов, Крис был поражен количеством вызывающих его станций и уровнем их сигналов. Большинство станций было из Северной Европы, однако изредка прорывались позывные из 4 района США. Ближе к вечеру начали появляться EA, CT, I. В первые же дни работы удалось провести QSO с 5B, EA, EA9, IT9, I, ISO, IY, SV, G, GW, LZ, 9H, PY, 9A, YO, CT и W4!

Каждый день диапазон 50 MHz был открыт в светлое время суток. Практически без проблем удавались QSO с Европой. В следующие дни удалось провести связи с 4X, S59, OE, CT3.

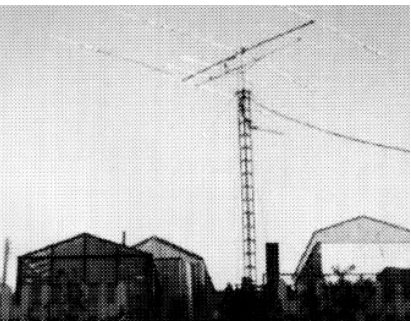
Гостеприимный хозяин Криса Keith, VP8CMT, и его приятель Neil, VP8AWU, также увлеклись работой на 6 м.

За несколько дней удалось провести более 500 QSO с 25 странами.

Начали работу на диапазоне 50 MHz местные радиолюбители VP8CMT и VP8AWU. QSL для VP8DBL можно высылать по адресу: Chris Gare, 183 Sycamore Road, Farnborough, HAMPSHIRE, GU14 6RF, ENGLAND.



QTH VP8CMT, откуда работал в эфире VP8DBL



Антенны экспедиции VP8DBL

XT, BURKINA-FASO – XT2OW регулярно слышен в Европе с RST 579-599 утром в 09.00–09.30 UTC и днем около 15.00 UTC на частоте 50123 kHz CW. QSL via DL7DF.

TT, CHAD – оп. Christian, TU5AX поехал в Чад, откуда будет работать позывным TT8DX из QTH



Chris, VP8DBL, на своем операторском месте



QSL за QSO на диапазоне 50 MHz

MOUNDOU на юге страны, недалеко от границы с ЦАР и Камеруном. На диапазоне 50 MHz он будет использовать 400 WATTS и ANT 2 el. HB9CV. QSL via F5OGL.

FO, MARQUESAS – оп. Phillippe, FO3BM посетит Marquesas специально для работы на диапазоне 6 м. Он будет использовать позывной FO0SIX, трансивер 100 WATTS и 5 el. YAGI.

SC, EQUATORIAL GUINEA – по сообщению Alan, 3C5I, он планирует направлять свою антенну на восток с 06.00 до 11.30 UTC и в направлении NA/OC с 22.00 до 05.00 UTC. Работать он будет на частоте 50102 kHz. Маяк будет на частоте 50096 kHz.

OX, GREENLAND – OX3LG будет активен из QTH-loc HP15. Michael будет использовать TRCVR 150 WATTS и 3 el. YAGI.

OX3OX работает из QTH-loc GP36 и использует TRCVR YAESU FT-100 и DIPOLE.

9M6, W.MALAYSIA – оп. Peter, G4MJS, планирует работать на диапазоне 50 MHz позывным 9M6BAE из QTH-loc OJ85CH. QSL via G4SHF.

KP2, VIRGIN ISL. – оп. Roberto, NP2JV начал работу на 50 MHz, используя TRCVR KENWOOD TS-680S, 80W MRF-492 PA и 5 el. YAGI. В ближайшее время будут активны на этом диапазоне KP2A и KP2BN.

Перечень "круглых столов" областей Украины

Ус. об.	QTH	День недели	Время (киев.)	Част. (МГц)	Ведущий
A	Сумы	суббота	08.00	3,624	Вячеслав (UX0BB)
B	Тернополь	воскресенье	08.30	3,635	Павел (UT7CA)
C	Черкассы	суббота	07.00	3,640	Михаил (UX0DB)
D	Ужгород	воскресенье	08.00	3,615	Сергей (UR5EDX)
E	Днепропетровск	пятница	21.00	3,605	Вячеслав (UT1EV)
F	Кривой Рог	суббота	08.00	3,650	Василий (UR5EPV)
G	Днепродзержинск	воскресенье	08.00	1,900	Михаил (UR0GK)
H	Херсон	суббота	08.00	3,650	Георгий (UT1HT)
I	Кременчуг	воскресенье	07.00	1,880	Анатолий (UY0IA)
J	Координационный совет	четверг	20.00	3,670	(US5IH)
	Волновака ("Контур")	воскресенье	08.00	1,920	Сергей (US3IZ)
	Горловка ("Арго")	четверг	20.00	1,915	Анатолий (UY0IA)
	СТОР "Донбасс"	вторник	19.15	1,998	Владимир (US7IO)
	Краматорск ("Диапазон")	воскресенье	09.00	1,915	
	Красноармейск ("Эфир")	воскресенье	10.00	1,900	
	Макеевка ("Сигнал")	вторник	21.30	1,92	
	Мариуполь ("Маррак")	пятница	21.00	1,915	
	Симферополь	вторник	20.45	3,650	Рустам (UU4JWA)
	Севастополь	пятница	20.00	3,650	Александр (UU9JQ)
K	Ялта	суббота	21.00	3,604	
L	Ровно	воскресенье	09.00	3,620	
M	Харьков ("ТДР")	воскресенье	07.00	3,670	Виктор (UX5PS)
N	Луганск	воскресенье	07.00	3,605	Игорь (UX5MZ)
P	Лисичанск	воскресенье	08.00	1,900	Василий (UT2MF)
Q	Винница	воскресенье	08.30	3,608	Виталий (UT7NW)
R	Волынь	воскресенье	08.30	3,604	Николай (UR4PWL)
S	Запорожье	четверг	20.00	3,670	Валентин (UY5QZ)
T	Мелитополь (РО)	вторник	21.00	1,900	
U	Мелитополь (р/к 731!)	вторник	20.30	3,605	Валерий (UR7QM)
V	Чернигов	суббота	07.00	3,610	
W	Ивано-Франковск	воскресенье	09.00	3,630	Владимир (US0SU)
X	Хмельницкий	воскресенье	10.00	3,650	
Y	г. Киев	понедельник	21.00	28.300	Валерий (UT4UO)
Z	Киевская обл.	воскресенье	08.00	3,670	Сергей (UR7UT)
ЛРУ	Кировоград	суббота	08.00	3,625	Павел (UR4VWA)
	Львов	воскресенье	08.00	3,612	Иван (UR5WD)
	Житомир				
	Черновцы	воскресенье	09.00	3,628	Владимир (US0YA)
	Николаев	воскресенье	08.00	3,635	Николай (UY5ZG)
	HQ	четверг	2100k	3,670	Виктор (UT3UV)
	VHF-комитет	суббота	0500z	14,345	Сергей (UR5LX)
			1000z	7,095	
			1600z	3,700	
			1940z	3,662	Владимир (UY5ZZ)
	"UCC"	четверг	0700z	14,300	Анатолий (UT5HP)
	"UDXC"	суб., воскр.	1800z	7,090	Владимир (US9QA)
	"PAC Зап.обл."	четв. (3-й)	1700z	3,670	Владимир (UX2MM)
	"Ukr-DIG"	четверг	1200z	7,090	Виталий (UTOAZA)
	"ЮТ" (Украины)	четверг	1830z	3,630	Конс. Алекс. (U3DA)
	Ветераны ВОВ	четверг	1800z	3,630	Евгений (UA3AJT)
	SSTV (СНР)	четверг	1000z	14,135	Валерий (RW3GW)
	"RRC"	воскресенье	1000m	14,122	Александр UA6LTO
	MPK "Арктика"	воскресенье			
	"VHF-Net"	постоянно			



Применение генератора качающейся частоты для налаживания любительской SSB радиостанции начальной категории в диапазоне 1,8 МГц

С. А. Елкин, UR5XAQ, г. Житомир

Вместо предисловия. Иногда становится грустно, когда слышишь в эфире: «Самый лучший трансивер – покупной» или читаешь в журнале «Радиолюбитель» вроде полезную статью [1], которая «перемешана с непонятными (для незнающих английского) да и вряд ли необходимыми терминами. По-видимому, ее автор – человек или молодой, или очень восторженный. Вот если бы после информации о сущности и технических параметрах дать что-нибудь конкретное, конструкцию для повторения – тогда бы статья стала цельной! Ведь тот, кто бывал за рубежом в этих «супер-фирмах», знает, что зачастую они состоят из 3–5 чел. вместе с уборщицей.

Сказка – ложь, да в ней намек: не нужно ссыпать терминами и сожалениями, надо предлагать делать что-то самим, экспериментировать – и тогда все получится не хуже, чем BALUN, сделанный в хижине дяди Тома с производственной площадью 20 м²! Ведь были же радиолюбительские спутники и работают до сих пор, сделанные на радиоэлементах отечественного производства. Очень хотелось бы, чтобы известная радиолюбительская пословица зазвучала так: «Скажи мне, что ты сделал своими руками, и я скажу, кто ты!».

При самостоятельном изготовлении любительской радиостанции начальной категории наиболее часто применяемым схемотехническим решением является приемопередатчик (трансивер, ТР) прямого преобразования. Однако, как показывает опыт, качество сигнала ТР, сделанного «на одном дыхании», в большинстве случаев не очень высокое. Причина этого кроется в том, что начинающие радиолюбители зачастую не имеют достаточных теоретических знаний, прецизионных радиоэлементов, доступа к литературе, а также необходимых приборов для налаживания трансивера таких, как генератор сигналов (ГС), высокочастотный вольтметр (ВВ) и электронный

осциллограф (ЭО). Если самостоятельное изготовление простейших ГС и ВВ не представляет больших трудностей, то изготовление ЭО, особенно высокочастотного, весьма не просто.

Описываемая ниже оригинальная методика позволяет с помощью несложного в изготовлении генератора качающейся частоты (ГКЧ) использовать любой (в том числе и низкочастотный) ЭО, не имеющий выхода пилообразного напряжения, предельно упростив налаживание трансивера. Она весьма наглядна и позволяет «просматривать» практически все параметры тракта ТР в режиме приема (RX) и проводить необходимые регулировки. С помощью ГКЧ можно настроить такую важную часть радиостанции, как антенна, что очень важно, поскольку в реальных условиях приходится применять укороченные и ограниченные по высоте подъема антенны. Поэтому тщательная настройка антенны – определяющее звено в борьбе за каждый милливатт излучаемой мощности и микровольт принимаемого сигнала.

Схема ГКЧ (рис. 1) является синтезом [2,3] аналогичных генераторов, описанных в радиолюбительской литературе. Основные задачи, которые преследовались при ее разработке, – максимально упростить схемотехнику и добиться хорошей повторяемости при использовании доступной элементной базы. Низкочастотная часть выполнена на базе функционального генератора (ФГ), позволяющего простыми схемотехническими средствами получить источник модулирующего треугольного напряжения (ИМТН) и источник синхронизированных импульсов (ИС) для осциллографа. ИМТН и ИС собраны всего на трех инверторах, которые составляют замкнутую систему, состоящую из компаратора на DD1A, DD1B (ИС) и интегратора DD1C (ИМТН), генерирующих взаимно синхронизированные сигналы прямо-

угольной и треугольной формы с частотой около 60 Гц, определяемой цепочкой R9C4. Частота выбрана небольшой для уменьшения вероятности ударного возбуждения, а также для нормальной работы ЭО с малым временем послесвечения люминофора трубы. Конденсатор C6 служит для устранения высокочастотного возбуждения, выражющегося в утолщении линий и всплесках на вершине треугольника. Потенциометром R2 устанавливают среднюю частоту ГКЧ, потенциометром R10 – девиацию.

Работа ФГ подробно описана в [4]. Активным элементом высокочастотной части ГКЧ служит инвертор DD1D, частотогенерирующим элементом которого является П-контур L1C7C8VD2C10, включенный в цепь положительной обратной связи по постоянному и переменному току. Это обеспечивает линейное усиление и необходимый сдвиг фаз, что в комплексе с достаточным усиlemeniem DD1C создает условия для возникновения синусоидальных колебаний. Стабилитрон VD2 используется в качестве ЧМ модулятора. Катушка L1 содержит 3x27 витков провода ПЭВ-2 диаметром 0,22 мм, намотанных на унифицированном трехсекционном каркасе от радиоприемников. Поскольку амплитуда треугольного напряжения на выходе DD1C достигает 8 В, в качестве VD2 можно применить стабилитроны с напряжением стабилизации 10–12 В в металлическом корпусе (за исключением термокомпенсированных типа Д818). Современные термокомпенсированные стабилитроны типа КС в качестве VD2 непригодны.

Если радиолюбитель имеет звуковой генератор и высокочастотный генератор сигналов, их можно использовать совместно с ГКЧ для получения частотных меток на вольт-амперных характеристиках узлов ТР по методике [5]. Если ЭО низкочастотный и этих приборов нет, то их можно изготовить самостоятельно. Схема низкочастотного маркерного генератора (НМГ) показана на рис. 2. Она представляет собой мультивибратор, выполненный на DD2A и DD2B, генерирующий при изменении сопротивления резистора R1 симметричные прямоугольные импульсы в диапазоне 0,2–3 кГц, что позволяет полностью контролировать АЧХ УНЧ ТР. Для большей линейности шкалы НМГ резистор R1 лучше применить группы Б или В (например, от регуляторов тембра ламповых приемников).

Схема высокочастотного маркерного генератора (ВМГ) изображена на рис. 3. Он выполнен на DD2D и полностью аналогичен по построению ЧМ генератору ГКЧ (см. рис. 1). При изменении емкости конденсатора C1

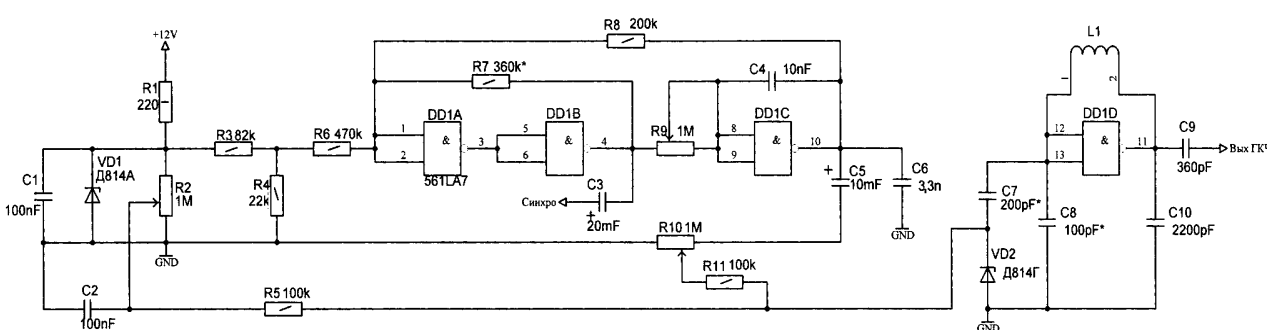


рис. 1

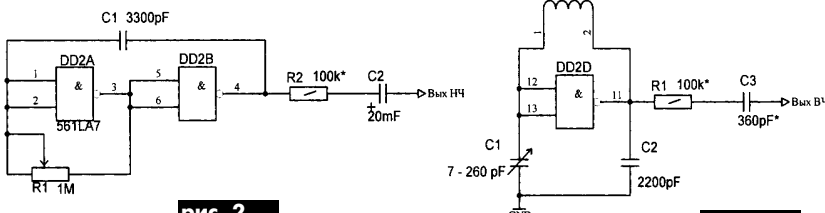


рис. 2

рис. 3

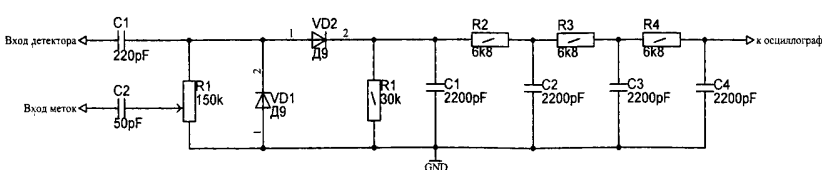


рис. 4

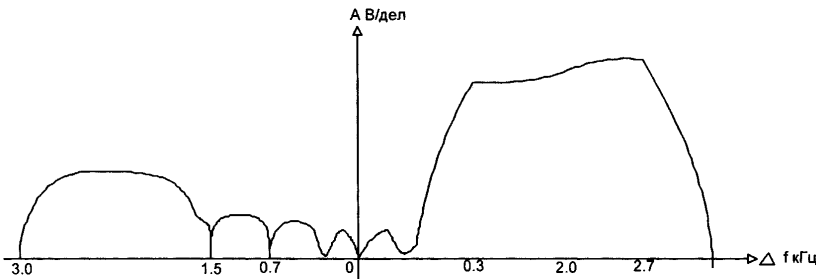


рис. 5

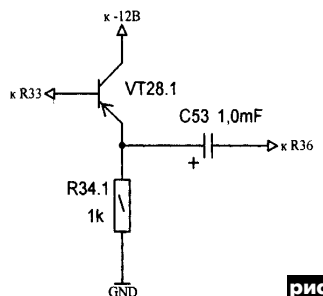


рис. 6

перекрывается диапазон 0,9–4,5 МГц. Конденсатор С1 с твердым диэлектриком от радиоприемника «Нейва» (использована одна секция). Количество витков и диаметр провода катушки L1 такие же, как и у L1 на рис.1. Схема детекторной головки показана на **рис.4**. Головка состоит из амплитудного детектора с удвоением напряжения и низкочастотного интегрирующего RC-фильтра. Величину напряжения меток устанавливают резистором R1.

Настройка низкочастотной части ГКЧ заключается в получении (для реальной микросхемы) напряжения смещения на входах DD1A, необходимого для возникновения генерации. Практически это делается так: вместо R3 и R4 (рис.1) временно подсоединяют вспомогательный потенциометр (ВП) на 100–150 кОм, подвижный контакт которого предварительно устанавливают в среднее положение и подключают ко входу DD1A. К выходу DD1B подключают ЭО. Перемещением подвижного контакта ВП в ту или другую сторону (зависит от конкретного экземпляра микросхемы) добиваются сначала возникновения генерации, а затем симметрии прямоугольного (а значит, и треугольного) напряжения. Затем измеряют получившиеся сопротивления относительно подвижного контакта ВП. Их значения и будут соответствовать R3 и R4.

«Укладку» ВЧ диапазона ГКЧ проводят следующим образом. Устанавливают R2 в среднее положение, что соответствует постоянному напряжению на VD2 около 4 В. Подбором индуктивности L1 добиваются частоты 1,9 МГц, которая зависит от конкретно примененных DD1 и VD2. Перемещая движок R2 вверх и вниз, контролируют значения граничных частот, которые должны (проверено на 4-х экземплярах D814Г) находиться в пределах 1,7–2,1 МГц.

Так как при обратном приложенном напряжении VD2 ведет себя как варикап, то при увеличении напряжения емкость VD2 уменьшается. Следовательно, частота ГКЧ при нарастании амплитуды треугольного напряжения увеличивается. Поэтому нижняя боковая полоса (НБП) должна располагаться слева, потом идут нулевые биения между сигналом ГКЧ и частотой гетеродина и далее располагается верхняя боковая полоса (ВБП). Но поскольку в балансном смесителе при частоте сигнала с одной боковой полосой (ОБП) меньшей, чем частота гетеродина (т.е. при их вычитании), ОБП сигнал инвертируется, то (при правильной взаимной фазировке высокочастотного и низкочастотного фазовращателей) НБП будет располагаться на экране ЭО не слева относительно нулевых биений, а справа (**рис.5**). Подавленная ВБП при этом располагается слева, что соответствует правильной настройке ТР. На измерении амплитуд НБП и ВБП с помощью масштабной сетки осциллографа и его аттенюаторов и основана настоящая методика. Отношение амплитуд (в дБ) при сбалансированных по амплитудам фазовращателях как раз и есть величина подавления ВБП.

Для примера рассмотрим настройку некоторых узлов трансивера РА3ААЕ [6] как полностью соответствующего требованиям, указанным в начале статьи. Поскольку его настройка достаточно хорошо описана в [6,7],

остановимся лишь на некоторых вопросах, вытекающих из предлагаемой методики, требованиях [8] к параметрам ТР, а также доработках ТР из собственного опыта.

Режим RX. Чувствительность предварительного усилителя низкой частоты (ПУНЧ RX) около 100 мкВ. Так как диапазон 1,8 МГц «богат» на QRL гораздо большей амплитуды, то возможны многократные «удары по ушам», вызванные не только уровнем QRL, но и широким спектром гармоник, возникающих уже после низкочастотного фильтра C44L14C45 [6] при несимметричном ограничении ПУНЧ RX, поскольку ограничительные диоды VD22, VD23 начинают работать при амплитудах 0,5–0,7 В. Поэтому линейности и перегрузочной способности при настройке узла НЧ необходимо уделить особое внимание. Отсоединив C50 от S2.2 и подсоединив к нему резистор сопротивлением 1 кОм (равным характеристическому сопротивлению фильтра C44L14C45), подвижный контакт потенциометра R36 устанавливают в верхнее по схеме положение. К выходу усилителя мощности подключают эквивалент нагрузки – резистор сопротивлением 50–60 Ом. ЭО подключают параллельно R36. На C50 от звукового генератора подают через последовательно включенный потенциометр сопротивлением 0,1–1 МОм сигнал, соответствующий началу ограничения. Подбором резистора R32 симметрируют усилитель. Подключив ЭО к эквиваленту нагрузки усилителя мощности (УМНЧ RX), изменяют уровень сигнала таким образом, чтобы на R36 был неограниченный сигнал, а на нагрузке – только началь ограничения. Симметрируют УМНЧ RX подбором резистора R38. Искажения типа «ступенек» (при необходимости) устраняют подбором экземпляра VD30 (германиевый или кремниевый) или включением последовательно с ним добавочного резистора на 50–100 Ом. Ток покоя VT31, VT32 (без сигнала) должен быть равен 3–5 мА. Резкое нарастание громкости и появление искажений при приближении подвижного контакта R36 к верхнему по схеме положению вызвано плохим межкаскадным согласованием (входное сопротивление УМНЧ RX около 500 Ом). Устранения этого явления, улучшения плавности регулирования и, как результат, увеличения чувствительности ТР можно добиться введением эмиттерного повторителя на VT28.1 (**рис.6**) аналогично схемотехнике микрофонного усилителя TX.

(Окончание следует)

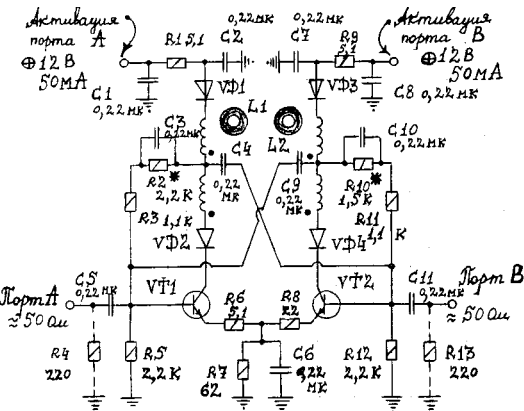
Литература

- Павелько И. Простой способ улучшения эффективности антенны// Радиоаматор.– 1999.– №5.– С.19–20.
- Функциональный генератор// Радио.– 1978.– №8.– С.60.
- Генератор качающейся частоты// Радио.– 1980.– №8.– С.58.
- Анufriev L. Функциональный генератор// Радиоежегодник.– 1983.– С.189.
- Степанов Б. Простой ГКЧ// Радиоежегодник.– 1983.– С.186.
- Поляков В. Трансивер прямого преобразования// Радио.– 1982.– №10.– С.49/№11.– С.50.
- Поляков В. Радиолюбителю о технике прямого преобразования.–М.: Патриот.– 1990.
- Регламент аматорського зв'язку України



Простой реверсивный усилитель трансивера с разным усилением в режимах приема и передачи

В. А. Артеменко, UT5UDJ, г. Киев



VT₁...VT₄ КД 522А; VT₁...VT₂ КТ606А

рис. 1

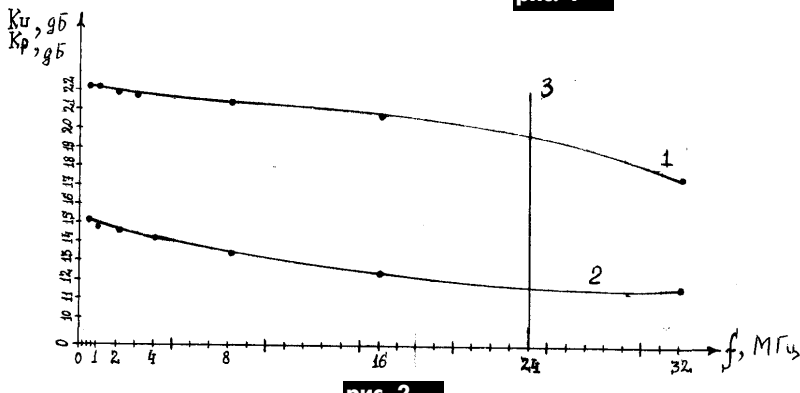


рис. 2

В [1] дана схема простого реверсивного усилителя, который имеет усиление 20 дБ как в режиме приема, так и в режиме передачи. Если усиление 20 дБ вполне приемлемо для режима приема, то в режиме передачи такое усиление часто излишне, особенно при использовании кварцевого ФОС с затуханием в полосе пропускания до 6 дБ. На основе схемного решения [1] автор разработал реверсивный усилитель с разным усилением для различных направлений прохождения сигнала (рис. 1).

Усиление реверсивных усилителей с рецистивной ООС определяется соотношением сопротивлений резисторов в цепях базы и эмиттера транзистора. Для данной схемы такими резисторами являются R₃ и R₆, R₁₁ и R₈. Так как резисторы R₃ и R₁₁ входят в цепь ООС одновременно как VT₁, так VT₂, их сопротивление нельзя подбирать. Если номиналы R₆ и R₈ выбрать разными, то получим и разные коэффициенты усиления транзисторов VT₁ и VT₂. Поэтому при подаче питания на VT₁ (активации порта А) сигнал проходит с усилением 20 дБ, а при активации порта В – около 14 дБ.

Резисторы R₄ и R₁₃ препятствуют самовозбуждению усилителя при подключении к его портам генератора или нагрузки с

большим реактивным сопротивлением (например, ФОС).

Настройка усилителя сводится к установке токопотребления 45...50 мА для одного плача усилителя подбором сопротивлений резисторов R₂* и R₁₀*. Желательно использовать резисторы R₄ и R₁₃ с номиналом 51 Ом, которые после установки токопотребления заменяют резисторами сопротивлением 220 Ом.

АЧХ усилителя показана на рис.2, при активации порта А (1) и порта В (2). Прямая 3 отмечает начало спада усиления нереверсивного ШПУ с коэффициентом усиления 20 дБ. Данный усилитель не является сверхдинамичным по интегромульяции,

поэтому в высокодинамичном трансивере его нужно устанавливать только после кварцевого ФОС. Применение реверсивных усилителей с различным коэффициентом усиления в режимах приема и передачи позволяет уменьшить уровень несущей, т.е. добиться большего подавления несущей по отношению к максимальному уровню неискаженного сигнала и улучшить параметры основной платы трансивера в режиме передачи.

Литература

1. Артеменко В.А. Универсальный реверсивный усилитель высокой частоты//Радиоаматор.–1998.–№8. –С.20–21.

Реплика

Живой интерес читателей нашего журнала вызвала статья В.Н.Шостака из Харькова под названием "Малогабаритный УКВ ЧМ передатчик", опубликованная в РА 2/2000. Во всех письмах и звонках в редакцию задавали один вопрос: "Где можно приобрести интегральную микросборку AL2602?"

К сожалению, многочисленные безуспешные попытки разыскать AL2602, уклончивая позиция самого г-на Шостака, убедили нас в том, что его утверждение о "недавнем появлении в продаже" этой микросборки, мягко говоря, не соответствует действительности. Очевидно, что данная микросборка либо вообще не существует, либо ее промышленный выпуск еще не наложен, поэтому здесь, скорее всего, имела место попытка, используя страницы нашего журнала, изучить потенциальный спрос на данное изделие накануне его появления на рынке. Автору в этом повезло, чего не скажешь о читателях.

Приносим свои извинения читателям за невольное введение в заблуждение данной публикаций!

Электронные компоненты, электромеханика и конструктивы для связи и телекоммуникаций

Постоянные поставки: ATMEL, MOTOROLA, ANALOG DEVICES, MAXIM, HARTING, SCHROFF, PHOENIX CONTACT, BOPLA, ROSE, TYCO, EPCOS

Новая программа:

СВЧ-компоненты и материалы (ALIGENT, EXELICS, MITEQ, FUJITSU, ALPHA, ROGERS и др.)

ИНКОМТЕХ

www.incomtech.com.ua, eletech@incomtech.com.ua, (044)2133785



Сетевой адаптер со стабилизированным выходом для питания аппаратуры связи

Р. Н. Балинский, г. Харьков

СВЯЗЬ

В настоящее время для питания радиоэлектронной аппаратуры широкое распространение получили сетевые адаптеры отечественного и импортного производства – компактные малогабаритные блоки питания выпрямленного и слаженного от пульсаций питающего напряжения; часть из них имеет встроенный стабилизатор, но всего лишь на одно выходное напряжение: адаптеров, имеющих 4...6 выходных стабилизированных напряжения, в настоящее время не существует.

Выпрямители на 4...6 напряжений содержат внутри трансформатор с отпайками, выпрямитель и конденсатор, поэтому уровень пульсаций на выходе большой. От такого адаптера питание радиоаппаратуры из-за фона затруднено, а питание генераторов передатчиков вообще невозможно. Многие адаптеры не обеспечивают на выходе паспортные напряжения при колебаниях токах нагрузки, трансформаторы разогреваются из-за ненормального расчета.

В статье приведено описание сетевого адаптера, обеспечивающего 6 стабилизованных выходных напряжений (3; 4,5; 6; 7,5; 9; 12 В) с током нагрузки до 300 мА и максимальной пульсацией до 2 мВ. Этот адаптер предназначен для питания генераторов, радиомикрофонов, передатчиков, другой связной аппаратуры, а также бытовой электроники (радиоприемников, диктофонов, плейеров, игрушек и т.п.). При колебаниях питающего напряжения и потребляемого тока адаптер обеспечивает высокую стабильность выходного напряжения. Для удобства эксплуатации введены сервисные узлы – устройства сигнализации внутреннего состояния адаптера. С помощью миниатюрного школьного знакосинтезирующего индикатора типа АЛС-362Б1, содержащего 4 светодиода, отображаются 4 состояния: нормальная работа выпрямителя, нормальная работа

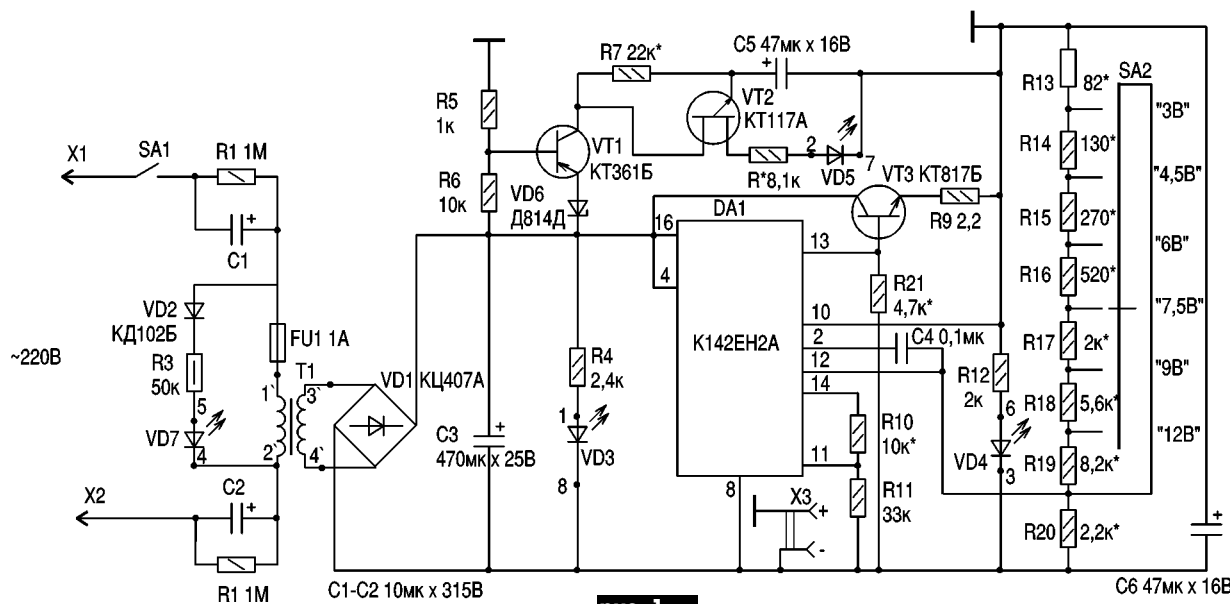
стабилизатора, перегрузка и перегорание сетевого предохранителя. При перегрузке пульсирует светодиод, выходное напряжение отключается, ток уменьшается вплоть до исчезновения перегрузки, после чего адаптер автоматически восстанавливает работу. Создать в малогабаритном корпусе этот удобный прибор удалось благодаря новой схемотехнике, а также применению миниатюрных радиокомпонентов. Переделка был подвергнут импортный сетевой адаптер на 6 выпрямленных напряжений, который имеет все вышеуказанные недостатки.

На **рис.1** показана принципиальная схема адаптера. Через выключатель SA1, гасящие конденсаторы C1, C2 и вспаиваемый предохранитель FU1 напряжение ~220 В поступает на первичную обмотку трансформатора T1, выполненного на кольцевом ленточном магнитопроводе типа ОЛ20/32-16 из пермаллоя марки 50НП; он имеет коэффициент трансформации 1:1. После моста VD1 получается слаженное напряжение 15 В, которое поступает на стабилизатор DA1, а затем на усилитель мощности на транзисторе VT3. Светодиод VD4 подтверждает наличие стабилизированного напряжения. Резистором R10 настраивают уровень срабатывания перегрузки: он должен превышать максимальный выходной ток в 1,5...2,2 раза. Когда сработает защита от перегрузки, светодиод VD3 светится, а VD4 гаснет; на выходе напряжение падает почти до нуля, а ток нагрузки составляет 7 мА. При этом срабатывает предупредительная сигнализация, собранная на транзисторах VT1 и VT2, и светодиод VD5 мигает.

Для отвода тепла транзистор VT3 установлен на радиаторе (**рис.2**). При перегорании предохранителя FU1 все светодиоды гаснут, а VD2 начинает светиться. Если нет возможности намотать трансформатор, можно обой-

тись и без него. Для этого нужно соединить точки 1'-3' и 2'-4', а между точками 1'-2' включить намотанный из никрома резистор сопротивлением 50 Ом. Схема по-прежнему будет работать без гальванического разделения от питающей сети. Но, поскольку пластмассовый корпус радиоаппарата является хорошим изолятором, это не нарушает нормальной работы изделия.

Для нового адаптера из старого использованы печатная плата с вилкой X1 и X2 для включения в сеть ~220 В. Остается переключатель на 6 положений и гнездо выходного напряжения X3. Существующий трансформатор исключен, а печатные дорожки на плате уничтожены скальпелем. Монтаж внутри адаптера навесной и осуществляется с помощью перемычек из провода МГТФ-0,7 мм или телефонного. По этой причине на монтажной плате (**рис.3**) указаны перекрещивающиеся провода, что не должно смущать радиолюбителя, так как до появления печатных плат всю радиоаппаратуру изготавливали таким способом. Чертеж монтажной платы приведен в масштабе 1:1. При использовании другого исходного адаптера потребуется соответствующая корректировка. Из-за дефицита места использованы импортные электролитические конденсаторы типа K57-35 как малогабаритные; по этой причине применина микросхема DA1 типа K142EH2A в корпусе 402.16-2 как более плоская. Этую микросхему прикрепляют к медному уголку толщиной 0,5 мм (**рис.4**), который служит также радиатором; микросхему устанавливают вертикально и прикрепляют к плате. В адаптере имеется и переключатель напряжения сети ~110/220 В, который в этой схеме служит для включения в сеть ~220 В. Для этого его необходимо демонтировать с задней крышки и перенести на боковую сторону, укрепив двумя небольшими скобами.



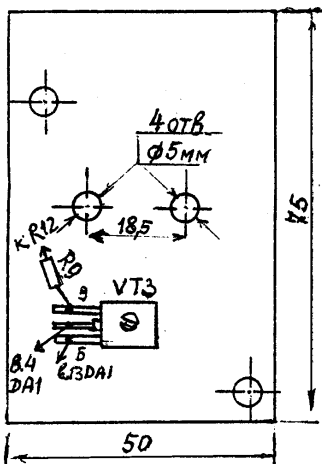


рис. 2

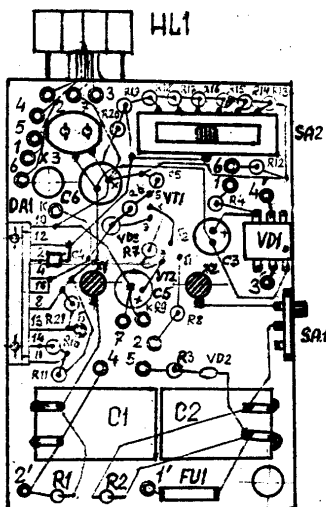


рис. 3

HL1 АЛС-362Б1

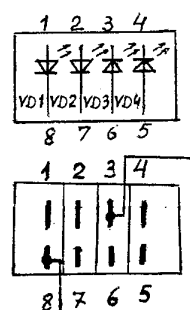


рис. 4

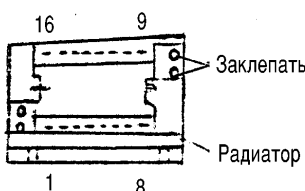


рис. 5

В схеме применены резисторы типа МЛТ, R9 типа С2-33Н-0,125 Вт; все радиокомпоненты, кроме C1, C2, VD1, устанавливаются вертикально, что экономит место. Под выводы элементов в нужном месте платы сверлят отверстия диаметром чуть меньше диаметра выводов для придания жесткости крепления. Для закрепления индикатора HL1 (рис.5) использован пластмассовый прямоугольный корпус электролитического конденсатора типа К53-21 на 100 мкФ х 16 В, так как его габариты подходят. Для этого нужно высверлить "внутренности" конденсатора, надфилем проточить прямоугольное окно для индикатора, в которое с натягом вставлять индикатор. После подпайки к нему соответствующих проводов его заливают клеем (БФ-2; "Суперцемент", "Момент" и др.), а для крепления этого индикатора к адаптеру в корпус заливают два небольших луженых проводника Ø1мм. После затвердения клея эти два проводника нагретым паяльником вплавляют в корпус адаптера (рис.6).

Трансформатор изготавливают следующим образом. На торoidalный сердечник ОЛ 20/32-16 из пермалоя 50НП наматывают два слоя фторопластовой ленты для предотвращения пробоя изоляции провода первичной обмотки трансформатора на сердечник; эту ленту можно заменить на конденсаторную или телефонную типа КТН. С помощью шпули наматывают 475 витков первичной обмотки проводом ПЭВ-2 Ø0,25. Затем двумя слоями изоляции изолируют первичную обмотку, наматывают вторичную обмотку, состоящую из такого же количества витков и на выводы вешают бирки. Собранный трансформатор следует прикрепить внутри адаптера к верхней крышке. Для этого из луженой проволоки Ø1 мм делают две скобы, которые накладывают на края трансформатора, а их концы разогретым паяльником вплавляют в корпус крышки, получается жесткая конструкция. Важно при этом, чтобы две скобы для исключения K3 не замыкались друг с другом. Выводы трансформатора впиваются в монтажную плату.

Радиатор для охлаждения транзистора VT3 (рис.2) изготавливают из меди (алюминия, дюрала и т.п.) толщиной 0,3 мм. Транзистор крепят к радиатору винтом М3x4. Для улучшения теплоотдачи можно рекомендовать смазать радиатор под транзистором пастой КПТ-8. Для дополнительного отвода тепла сверлом Ø3 мм в нижней крышке сверлят два отверстия. При сборке нужно следить за тем, чтобы не замкнуть на радиатор выводы сетевой вилки. Для крепления конденсаторов C1

и C2 следует по их бокам просверлить в плате по два отверстия, пропустить провод Ø0,15 мм и снизу запаять их концы. При отсутствии индикатора HL1 типа АЛС-362Б1 сигнализацию можно сделать на светодиодах рассыпью, используя подходящий корпус.

Перед настройкой следует на монтажной плате перемычками соединить выводы 1-7 индикатора HL1 с соответствующими выводами монтажной платы (рис.3). При отсутствии T1 следует изолированной никромовой проволокой Ø0,15 мм намотать на резисторе МЛТ-0,5-1 МОм сопротивление 50 Ом и его концы впаять в соответствующие точки платы.

Для **настройки** необходимы: ЛАТР, ламповый вольтметр, тестер, осциллограф. Вместо резисторов R13..R19 следует впаять потенциометр на 22 кОм, а в разъем включить ламповый вольтметр и осциллограф. Для исключения срабатывания защиты вместо R10 впаять потенциометр на 15 кОм, и его движок поставить на минимум. Через ЛАТР подать переменное напряжение 220 В, на выходе получить напряжение 12 В. Затем выпаять потенциометр настройки выходного напряжения, замерить его сопротивление и снова впаять в схему. Таким же образом нужно проверить все остальные напряжения (9; 7,5; 6; 4,5; 3 В) и впаять близкие по номиналу постоянные резисторы. Светодиоды VD3 и VD4 должны светиться. В выходной разъем адаптера X3 включить нагрузку в виде проволочного потенциометра на 1 кОм, например, типа СП3-40 и последовательно с ним – тестер для проверки тока нагрузки. Изменяя ток нагрузки от 10 до 300 мА, а также сетевое напряжение на ±10%, проверить стабильность выходного напряжения и уровень пульсаций. Для уменьшения пульсаций можно увеличить емкость конденсаторов C3 и C6.

Следующий этап – настройка защиты от перегрузки. Следует учитывать, что при снижении выходного напряжения уменьшается также ток срабатывания защиты. Если при 12 В он равен 660 мА, то при 3 В – 350 мА. Поэтому можно ограничиться настройкой защиты на 12 и 3 В.

Заключительный этап – проверка узла предупредительной сигнализации. Для этого следует вместо R7 впаять потенциометр на 47 кОм, а вместо R8 – потенциометр на 1 кОм и последовательно с ним включить тестер. На выходе стабилизатора выставить 12 В; вращая потенциометр нагрузки, добиться срабатывания защиты. Затем потенциометром R7 установить нужную частоту пульсации светодиода VD5, а резистором R8 – ток 3 мА через светодиод. При снижении тока нагрузки сигнализация отключается. Впаять на место R7 и R8 резисторы нужной величины. Выпаять из схемы FU1 – светодиод VD2 должен засветиться, а остальные погаснуть. В заключение к адаптеру следует подключить радиоприемник. Если при работе радиостанций наблюдается фон, то следует соответственно между выводами 3' и 4' T1 и "+" и "-" выпрямителя VD1 включить конденсаторы емкостью до 0,1 мкФ – фон исчезнет.

Окончательная проверка адаптера состоит в технологическом «прогоне», когда на несколько часов к нему подключают реальную нагрузку, например, тот же радиоприемник. Ток потребления желательно установить максимальный: при этом выявляются скрытые дефекты.

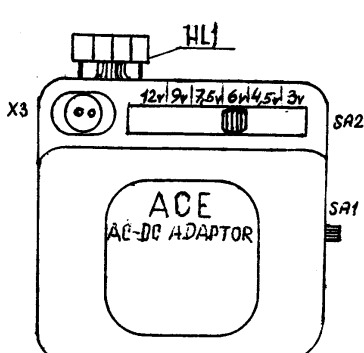


рис. 6



Стандарт APCO25: основные положения

А.Ю. Пивовар, г. Полтава

От редакции. В РА 3,4/2000 в статье этого же автора были изложены основы популярного цифрового стандарта транкинговой связи TETRA. Данная статья знакомит наших читателей с другим перспективным цифровым стандартом APCO25.

Время аналогового транкинга заканчивается. В мире интерес к нему падает. А пока цифровой транкинг в поисках рынков сбыта начал массированную атаку на украинскую радиосвязь, рождая бесконечные дебаты и прогнозы. Внимательно наблюдая за конкурентной борьбой различных систем, стандартов и технологий цифрового транкинга на мировом рынке, отечественные компании готовятся к их скорому приходу в Украину. Выбор стандарта цифрового транкинга – результат многостороннего анализа. Представляю читателям стандарт APCO25 – один из наиболее перспективных стандартов, шансы которого на распространение в Украине достаточно высоки.

Стандарт APCO Project 25 (или APCO25) разработан усилиями Ассоциации представителей систем связи служб общественной безопасности (Association of Public-Safety Communication Official – APCO), США. Работы по созданию стандарта были начаты в конце 1989 г., а последние документы по установлению стандарта утверждены и подписаны в августе 1995 г. на международной конференции и выставке APCO в Детройте. Это основной конкурент стандарта TETRA, который быстро приобретает статус международного. В настоящее время его поддерживают около 90 организаций во всем мире.

Стандарт APCO25 создавался в интересах государственных структур, правоохранительных и силовых ведомств, поэтому при его разработке были учтены особые требования. Он предусматривает возможность работы в любом из стандартных диапазонов частот, используемых системами подвижной радиосвязи: 138–74; 406–512 или 746–869 МГц.

APCO25 основан на использовании технологии FDMA (технологии многостанционного доступа с частотным разделением каналов), которая подразумевает, что на каждом частотном канале может вести связь одна пара (или одна группа) корреспондентов, является открытым стандартом. Это позволяет приобретать соответствующее оборудование у различных поставщиков, что оживит конкуренцию между производителями радиосистем и снижает риск попадания покупателей в зависимость от одного разработчика.

В стандарте приведены спецификации на несколько важнейших интерфейсов:

CAI (Common Air Interface) – радиointерфейс между базовой и абонентской радиостанциями, а также абонентскими радиостанциями;

DPI (Data Port Interface) – интерфейс порта передачи данных определяет связь абонентского оборудования с оконечными пользовательскими устройствами;

DHI (Data Host Interface) – интерфейс внешнего узла передачи данных определяет

взаимодействие базовой станции с внешними компьютерами или сетями;

ICI (Inter-connect Interface) – интерфейс телефонной сети общего пользования (ТФОП);

NMI (Network Management Interface) – интерфейс управления сетью;

ISI (Inter System Interface) – межсистемный интерфейс описывает взаимодействие с другими базовыми станциями в многозоновых сетях.

Системная архитектура APCO25 поддерживает как обычные (конвенциональные), так и транкинговые системы радиосвязи. Неспоримым преимуществом APCO25 является наличие средств взаимодействия между различными подразделениями, что особенно актуально для служб безопасности, которым часто нужно согласовывать свои действия, например, в случае ликвидации последствий стихийных бедствий или террористических актов.

Стандарт APCO25 разработан таким образом, чтобы обеспечить плавный переход от аналоговых к цифровым системам с сохранением ранее сделанных инвестиций и уже сформированного парка пользовательских радиостанций. Прежде всего базовыми станциями смогут воспользоваться владельцы стандартных аналоговых ЧМ радиостанций. Предусмотрен переход к цифровой передаче речи в два этапа. На первом этапе будет использоватьсь сетка с шагом частот 12,5 кГц и четырехпозиционная частотная модуляция с постоянной огибающей (C4FM). На втором этапе шаг сетки частот будет составлять 6,25 кГц и предусматривается более эффективный метод модуляции – четырехпозиционная фазовая модуляция со слаживанием фазы (CQPSK). Сочетание указанных методов модуляции позволяет использовать на разных этапах одинаковые приемники, дополняемые различными усилителями мощности (на первом этапе – простые усилители с высоким КПД, на втором – усилители с высокой линейностью и ограниченной шириной спектра). При этом демодулятор может обрабатывать сигналы по любому из методов.

Для цифровой передачи речи APCO25 предусматривает использование стандартного вокодера – устройства преобразования голосового сигнала в цифровой формат IMBE (Improved Multi-Band Excitation – модифицированный метод многополосного возбуждения). Этот вокодер порождает поток со скоростью 4400 бит/с. Для исправления ошибок в цифровом речевом сигнале применяется избыточное корректирующее кодирование, порождающее дополнительный поток со скоростью 2800 бит/с.

Заложенная в стандарте APCO25 система идентификации абонентов позволяет адресовать в одной сети не менее 2 млн. радиостанций и до 65 тыс групп. При этом задержка при установлении канала связи в подсистеме в соответствии с функциональными и техническими требованиями к стандарту APCO25 не должна превышать 500 мс (в режиме прямой связи 250 мс, при связи через ретранслятор 350 мс).

Разработчики стандарта APCO25 уделили много внимания вопросам передачи данных. Так, из шести основных интерфейсов цифровой транкинговой системы, описываемых стандартом, два (DPI, DHI) относятся исключительно к службам передачи данных. Стандартом APCO25 предусмотрены два варианта передачи данных – с подтверждением приема и без подтверждения. Для исправления ошибок при передаче данных в обоих случаях применяется помехоустойчивое решетчатое кодирование (кодовая скорость: 3/4 для передачи с подтверждением и 1/2 без подтверждения), а также межблочное перемежение. С учетом того, что скорость передачи данных в радиоканале равна 9600 бит/с, пользовательская скорость составит 7200 или 4800 бит/с соответственно.

В стандарте предусмотрены механизмы обеспечения безопасности связи, обеспечивающие защиту от перехвата сообщений, повтора сообщений с задержкой и с искажением информации, создания преднамеренной помехи, анализа трафика абонентов, создание дубликатов абонентов и т.д. Противодействие большинству этих угроз в APCO25 обеспечивается тремя способами: конфиденциальностью связи, аутентификацией абонентов и сообщений и системой управления ключевой информацией. В основе всех указанных способов обеспечения безопасности связи лежит криптографическое шифрование информации.

В настоящее время аппаратуру стандарта APCO25 производят несколько компаний в разных странах мира. Базовые станции на сегодняшний день выпускают только два производителя – Motorola (США) и ADI Limited (Австралия). Абонентские радиосредства поставляют фирмы Motorola, RACAL, RELM, Transcrypt и др. В частности, Motorola выпускает базовые станции QUANTAR, а также семейство абонентских и мобильных терминалов. RACAL производит абонентские станции, E.F. Johnson выпускает абонентские и мобильные терминалы. Аналогичную продукцию начинает осваивать компания RELM. Фирма Technionics (Канада) изготавливает мобильные терминалы воздушного базирования. Другая канадская компания Daniels, переоборудуя абонентские радиостанции Motorola, предлагает своим заказчикам маломощные радиостанции, работающие от солнечных батарей, специально для использования в малонаселенных районах. Однако пока стоимость оборудования высока.

На сегодняшний день известны несколько реализаций систем мобильной связи в стандарте APCO25. В соответствии со стандартом APCO25 фирма Motorola в 1996 г. разработала систему ASTRO. Ее можно рассматривать как результат многоэтапной эволюции аналогового стандарта SmartZone по направлению к интегрированной передаче голоса и данных в цифровой форме. По утверждению сотрудников компании, при разработке было обеспечено полное соответствие ASTRO и APCO25. Тем не менее специалисты обращают внимание на то, что некото-



рис. 1

ные промежуточные решения не в полной мере удовлетворяют всем спецификациям APCO25. Например, транкинговый канал управления не соответствует стандарту: он передает данные со скоростью 3600 бит/с вместо рекомендованных 9600 бит/с. Система ASTRO позволяет работать в диапазонах ОВЧ, УВЧ, а также 800 МГц. В системе можно использовать аналоговые ЧМ радиостанции, но все ее преимущества реализуются при использовании цифровых радиостанций серий Spectra, SABER, XTS. На **рис. 1** показаны мобильные цифровые радиостанции Spectra, а на **рис. 2** – портативные цифровые радиостанции серии XTS. Последние совместимы не только с системами, поддерживающими цифровой радиоинтерфейс APCO25, но и с конвенциональными системами, могут работать в транкинговых системах SmartNet и SmartZone.

Наиболее полно спецификации стандарта APCO25 воплощены в базовом оборудовании компании ADI – цифровой базовой станции ADI Zoneva-25. Она полностью отвечает требованиям стандарта APCO25 и предназначена для построения конвенциональных систем цифровой связи с частотным разделением каналов. Станция ADI Zoneva-25 может работать как с цифровыми радиостанциями

APCO 25, так и с аналоговыми, что позволяет с минимальными затратами перейти от уже эксплуатируемых аналоговых систем связи к цифровым. Благодаря высокой выходной мощности и цифровому речепреобразованию, станция обеспечивает большую зону обслуживания при высоком качестве голосовой связи. В конфигурации с двумя приемо-передатчиками Zoneva-25 позволяет организовать связь между радиостанциями разных частотных диапазонов. Модульная конструкция и широкие возможности станции позволяют создавать на базе Zoneva-25 системы различного масштаба – от обычного ретранслятора до многоканальных, смешанных по диапазонам и режимам работы, крупных конвенциональных сетей подвижной радиосвязи.

Одним из основных препятствий на пути внедрения цифровых стандартов является их несовместимость и высокая стоимость, что не позволяет значительно увеличить число абонентов. В последнее время наметилась тенденция к сближению протоколов TETRA и APCO25: комитет APCO25 объявил о подписании корпоративного соглашения с европейским комитетом TETRA с целью дальнейшего взаимодействия. Предполагается, что APCO25, сегодня основанный на частотном разделении каналов, в будущем будет вклю-



рис. 2

чать возможности временного разделения TDMA, принятого в TETRA, который, в свою очередь, рассматривает возможности совместимости с APCO25. Этот путь открывает дорогу к единому мировому стандарту цифровых систем, объединяющему преимущества различных технологий и протоколов.

В Украине системы стандарта APCO25 пока не развернуты, однако специалисты, в основном из силовых структур и правоохранительных органов, проявляют большой интерес к данному стандарту, привлекательность которого заключается в его преемственности с существующими аналоговыми системами радиосвязи, большом количестве производителей оборудования и возможности построения сетей связи во всех стандартных диапазонах частот.

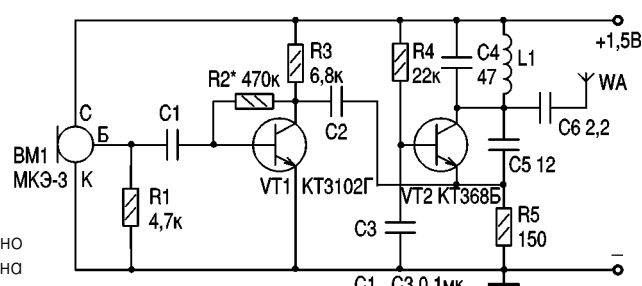
Простой радиомикрофон

В. В. Коновал, Хмельницкая обл.

Предлагаю схему простого радиомикрофона, который можно использовать, например, для настройки телевизионной антенны на телеретранслятор. Один человек на улице направляет антенну, а другой в доме следит за качеством изображения. Тот, что на улице, имеет приемник и слушает своего напарника, который сообщает по радиомикрофону о качестве изображения.

Радиомикрофон (**см. рисунок**) работает в диапазоне 88–108 МГц с частотной модуляцией. Дальность действия этого устройства невелика, всего 20–30 м, но зато чувствительность микрофона очень высокая, благодаря применению в микрофонном усилителе транзистора KT3102Г с коэффициентом передачи тока 400–1000.

Детали для радиомикрофона желательно применять малогабаритные: конденсаторы типа K10-73, K10-19 и т.д.; резисторы ти-



па МЛТ, ВС и др. Если назначение радиомикрофона не требует высокой чувствительности, то транзистор VT1 KT3102 может быть с любой буквой, в противном случае следует применять транзистор с буквами Е или Г.

Катушка L1 намотана бескаркасным способом и содержит 4 витка провода с лаковой изоляцией диаметром 0,6 мм. Диаметр катушки 4–5 мм. Антenna – кусок провода длиной 10–50 см. Питание – от одного гальванического элемента напряжением 1,5 В. Ток потребления 1...2,5 мА.



Всем тем, для кого гражданская радиосвязь – не просто слова, а стиль жизни, сообщаем приятное известие: 17 октября 2000 г. Всеукраинская ассоциация пользователей Си-Би связи "Союз-27" зарегистрирована в Министерстве юстиции Украины (свидетельство о регистрации №1507). Нам вдвое приятно это осознавать потому, что к данному событию редакция журнала имеет прямое отношение – именно цикл публикаций "Радиоаматора", подготовленный в редакции и отражающий позицию редколлегии, "разбудил" сибирскую общественность и послужил "спусковым крючком" этого процесса, который привел в конечном итоге к ее объединению во Всеукраинскую ассоциацию. От всей души поздравляем новую организацию с "днем рождения" и желаем ей удачи в решении тех непростых задач, которые она призвана решить, для того чтобы защитить интересы своих членов. Сообщаем адрес страницы ассоциации "Союз-27" в Интернете <http://www.cb.rs.net.ua>.

Немного о Маусом EM-27: доработка модулятора и не только

С.А.Цапко, г.Киев

Многие владельцы Маусом EM-27 заметили «недостатки» этой станции, из-за которых, возможно, кто-то отказался от приобретения данного аппарата. И, по моему мнению, зря. Во-первых, назовите мне модель Си-Би станции, которая не требует доработок, то ли по приемно-передающему тракту, то ли по модулятору или еще по какой-либо причине. Во-вторых, учитывая сервис, который мы получили с появлением этих моделей (я на начало 2000 г. насчитал шесть модификаций), и цену (130–150\$), можно сказать, что на сегодняшний день это одна из самых популярных Си-Би станций в киевском эфире. В свое время было много споров по поводу Маусом из-за потенциометров, которые регулярно «сыпались», ионисторов подпитки памяти, из-за которых постоянно «зависал» процессор, и т.п. Но обратите внимание, потенциометрами «страдали» и Dragon, и Megajet, и Nygen, и многие другие модели, в которых применяли аналогичные комплектующие. Ионисторы, не выдержавшие критики, в новых моделях завод заменил на аккумуляторы (в основном это Varta) – и проблемы с « зависанием» процессора отпали. Провести подобную замену сможет любой любитель, имеющий минимум знаний в области электроники. В станциях, не имеющих развязки под аккумулятор, достаточно применить простую схему включения, показанную на **рис.1**.

Вы. 1 включают вместо плюсового вывода ионистора, резистор подбирают с учетом емкости аккумулятора таким образом, чтобы ток заряда составлял одну десятую от емкости минус 20–25%. Связано это с тем, что станция может находиться во включенном состоянии больше времени, чем нужно для полного заряда аккумулятора. Таким образом, заведомо занижая ток заряда, мы пытаемся предотвратить его перезаряд. Хотя практика показала, что аккумуляторы Varta (проработавшие у меня в станции уже более 2 лет) не очень критичны к точности подбора тока, и для них этих 20–25% вполне достаточно. Диод можно применить любой малогабаритный на соответствующее напряжение. Отмету, что моя станция с этой доработкой работает уже в течение 2 лет практически круглосуточно.

О модуляции. Исходные амплитуд-

но-частотная характеристика (АЧХ) и фазочастотная характеристика (ФЧХ) микрофонного усилителя с модулятором, полученные с помощью программы Electronics Workbench 5.12 Professional Edition показаны соответственно на **рис.2,а и б**. Весь «недостаток» модулятора этой станции в режиме FM заключается именно в его АЧХ.

На **рис.3,а и б** показаны АЧХ и ФЧХ после доработки. Стоит обратить внимание на то, что никаких коренных изменений не проводилось, все узлы и схема остались в первоначальном виде, за исключением номиналов обвязки ОУ. Так что при аккуратном выполнении работ по модификации модулятора непосвященный человек, даже если он специалист в области электроники, визуально не заметит изменений на плате станции. Многие пытались добиться улучшения параметров «накруткой» девиации, применением дополнительных микрофонных усилителей и т.п. Практически во всех случаях появлялось субъективное улучшение, но только субъективное. На самом деле из-за перегрузок по входу ОУ при применении дополнительных микрофонных усилителей появлялись гармоники, которые на слух воспринимались как расширение спектра в области высоких частот, как говорится, со всеми вытекающими последствиями. Схема модулятора станции с измененными номиналами элементов показана на **рис.4**.

Максимальный подъем АЧХ наблюдается на частоте 2400–2500 Гц (в заводском варианте 1800 Гц). Вверх от этой частоты – срез около 12 дБ на октаву, вниз около 3 дБ на октаву. Таким образом: 1) никаких гармоник; 2) получаем мягкую, глубокую модуляцию, пригодную как для работы по городу, так и для DX; 3) не уродуем схему всяческими дополнительными элементами. Я работал на переделанной станции около 1,5 года, потом ее установили на автомобиль, мне было очень интересно, как этот аппарат будет работать в автомобиле, особенно на предельных дистанциях. Должен отметить, что при приеме станции с расстояния 60–80 км, когда по стрелочному S-метру уровень сигнала колебался в пределах 1–3 балла (автомобиль был в движении), по модуляции станция проходила на 5 баллов. При этом станция на автомобиле работала мощно-

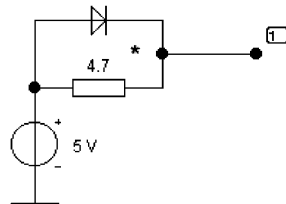
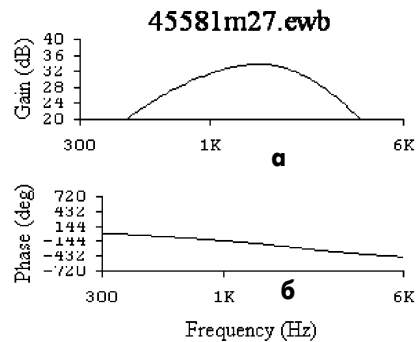
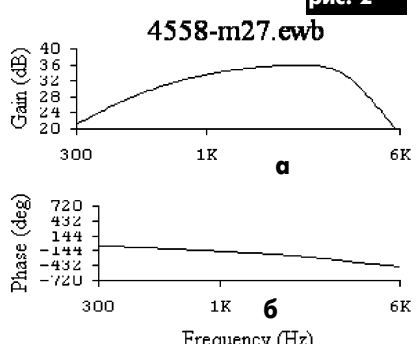


рис. 1



45581m27.ewb



4558-m27.ewb

рис. 3

стью 10 Вт на антенну TURBO 2001, жестко врезанную в крышу машины, а прием проводился на Маусом HM-27D, 10 Вт, антenna 5/8, AT-92 "SUPER LEMM", установлена на 9-этажном здании на 18-метровой телескопической мачте. Общая высота точки крепления антенны от уровня естественной земли около 48 м. Базовый комплект далеко не из худших, но и расстояния для таких мощностей и Си-Би связи автомобиль – база, согласитесь, немалые. В общем, пробуйте доработку и сами убедитесь.

ВНИМАНИЕ! Прежде чем браться за паяльник, подумайте, хватит ли у

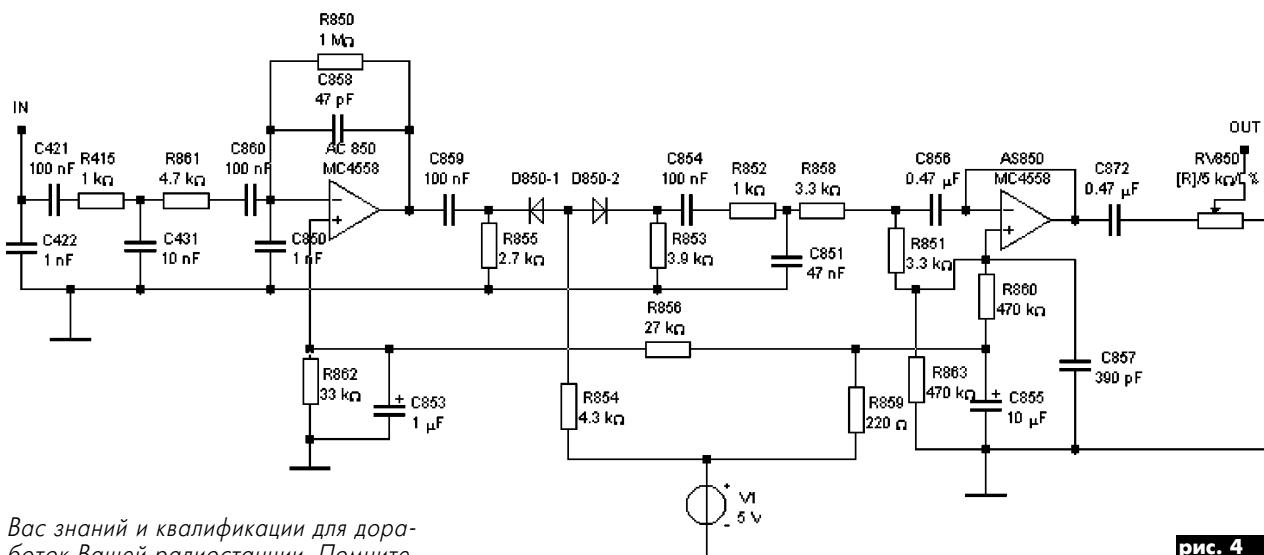


рис. 4

Вас знаний и квалификации для доработок Вашей радиостанции. Помните, что современная Си-Би радиостанция – сложное электронное устройство, изготовленное по современной технологии.

В таких станциях, как Maycom EM-27, применяется процессор, управляющий

всеми режимами радиостанции, при выходе которого из строя Ваша станция превратится в мертвый кусок железа, любая ошибка или неосторожное движение могут привести к непоправимым последстви-

ям. А для опытного любителя подобная доработка – «развлечение». Так что лучше доверьте эту работу специалистам.

Двуликий Янус – новая ALINCO DR-135T

(Материал предоставлен АО «МКТ-КОМЮНИКЕЙШН»)



Эпоха бурного развития средств радиосвязи стала историей. И, казалось бы, уже все придумано и предложено что-либо новое непросто. Но с течением времени возникает и необходимость расширения возможностей радиостанций. Так, в последнее время неуклонно растет потребность в передаче данных по радиоэфиру. Особенно это актуально для нашей страны, где развитие проводных коммуникаций не успевает за развитием цифровых технологий. Другое направление, которое активно развивается, – это система определения местоположения объектов с использованием GPS-приемников.

Именно такую новинку презентует официальный дилер японской фирмы ALINCO в Украине АО „МКТ-КОМЮНИКЕЙШН“. Радиостанция ALINCO DR-135 (см. фото) представляет собой новую концепцию для мобильных и базовых радиостанций. Эта модель сочетает в себе мощность, многофункциональность и привлекательный дизайн. Новинка создана и для голосовой связи, и для передачи данных. Как радиостанция для голосовой связи, DR-135 предоставляет большой набор функций, и вместе с тем она проста в эксплуатации, а лицевая панель имеет эргономичное исполнение и максимально приспособлена для того, чтобы сделать управление работой максимально удобным. Эта радиостанция имеет дисплей на 7 знаков и большую, легко управляемую контрольную панель; шаг рабочих каналов 25 или 12,5 кГц; массивный радиатор; предусмотрены функция тревоги против похищения, вкл./выкл. ключом зажигания и многое другое.

Возможна пакетная передача данных или работа в системе APRS (определения местоположения) с использованием дополнительного модуля EJ-41U, который встраивают в станцию. При использовании этого модуля можно передавать данные со скоростью от 1200 до 9600 бит/с, а при подключении внешнего GPS-приемника передавать координаты местоположения. На задней панели есть разъем для подключения компьютера или

GPS-приемника непосредственно к радиостанции. Использование дополнительного логического модуля позволяет Alinco DR-135 работать в системе SmartTrunk II.

Легкости управления и комфорта при эксплуатации способствуют следующие возможности:

- 100 ячеек памяти с возможностью присвоения буквенно-цифровых обозначений;
- большой 7-значный буквенно-цифровой дисплей, работающий в 3 различных режимах;
- CTCSS и DCS кодер-декодер плюс 4 европейских вызывных тона;
- 3 уровня выходной мощности 50/10/5 Вт;
- авиадиапазон приемника (только для модели DR-135T);
- большой DTMF-микрофон (при выборе модели с этим микрофоном);
- режим мультисканирования;
- работа в режимах передачи данных или APRS с дополнительным модулем EJ-41U, встраиваемым в радиостанцию;
- режим запоминания и установки параметров передачи данных с помощью вкл./выкл. питания;
- порт данных на передней панели и компьютерный разъем на задней панели;
- кнопка для вкл./выкл. ключом зажигания;
- кабель для клонирования;
- функция защиты от кражи;
- 10 ячеек памяти для быстрого набора номера;
- MARS/CAP совместимость (DR-135T);
- отображение питающего напряжения на передней панели;
- шаг рабочих каналов 25 или 12,5 кГц.

Особого внимания заслуживает также тот факт, что компьютер или GPS-приемник подключают непосредственно к радиостанции по порту RS-232.



Новое в технике связи

Компания "КРОКУС-КОМ" – высокотехнологичная и малозатратная структура рыночной ориентации, основанная в 1990 г. на базе интеллектуального и материально-технического потенциала НИИ и промышленных предприятий ВПК Украины.

Комплексная унифицированная система модернизации электромеханических АТС – АПЛУС и АОН "КРОКУС" для АТСК, АТСКУ, АТСК 100/2000, УАТСК 100/400, ПСК 1000 и им подобных предназначена для:

- формирования управляемого высокоточного сигнала автоматического определения номера абонента (АОН) с коэффициентом гармоник не выше 1% в соответствии с требованиями цифровых АМТС с дистанционно управляемой категорией и анализом состояния доступа к АМТС;

- децентрализации и формирования высокоточной электронной выдержки времени приборов 1-й ступени группирования для исходящей связи АТС;

- автоматического повременного учета стоимости местных, зоновых, междугородных и международных тел-

елефонных разговоров согласно требований ОТТ России и КНД-45 Украины;

- управления доступом абонента к телефонной сети общего пользования по всем видам исходящей связи посредством функции "электронного кросса";
- защиты абонента от несанкционированного доступа к его абонентской линии;

- создания центра технической эксплуатации и настройки АТС на базе расширенной дистанционной диагностики АТС и ее составляющих (включая канальный трафик) и стендового тестового оборудования;

- построения управляемой телефонной сети с возможностью интегрированного централизованного анализа и оперативного ее управления от биллинговых, АСРК систем и диспетчерских комплексов.

Система АПЛУС и АОН "КРОКУС" предоставляет следующую информацию о:

- телефонных разговорах в структуре: время, длительность, полный номеронабор абонента "B", перечень приборов, участвующих в дан-

ном соединении;

- безработных абонентах;
- всех категориях сигнала АОН (доступ к АМТС) с возможностью дистанционного электронного изменения категорий;

- прохождении сигнала АОН по приборам АТС;

- количестве и длительности разговоров и занятий на прибор;

- работоспособности и текущем состоянии прибора;

- номере абонента, занявшего данный прибор на исходящем соединении;

- корректности работы маркера, абонентского регистра адреса;

- замыкания проводов "D"(E) между собой или на корпус;

- подсадках на АТС;

- нагрузочной характеристике в эрлангах на статив, прибор, направление, всю АТС за любой час, день, год;

- степени работоспособности таксофонного аппарата;

- абонентах-правонарушителях в пределах АТС;

- качестве сигнала АОН;

- работоспособности контроллеров до дискретного элемента замены;

- прочих технологических параметрах.

Состав системы:

- индивидуальный контроллер

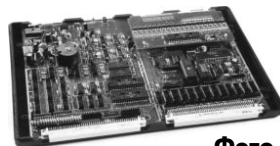


Фото 1

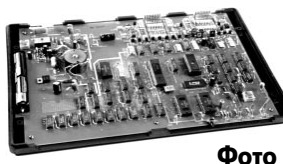


Фото 2

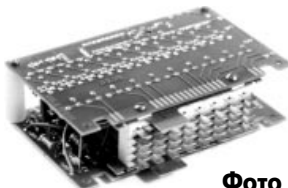


Фото 3

ИК10(11) (фото 1);

– центральный контроллер (фото 2);

– индивидуальная выдержка времени (фото 3);

– плата электронного коммутатора ПЭК-2;

– стендовое оборудование.

(Продолжение следует)

Новинки на рынке профессиональных радиостанций

(Материал подготовлен информационно-аналитическим отделом Концерна АЛЕКС)

На рынке профессиональных средств радиосвязи в уходящем году появилось множество новинок. Прежде всего нужно отметить обновление мо-

дельного ряда ведущих мировых производителей портативных и мобильных радиостанций – японских корпораций KENWOOD и ICOM. Эти станции фактически не только дополняют, но и существенно расширяют спектр выпускаемых ранее и получивших огромную популярность моделей. Рассмотрим более подробно некоторые из них.

Портативные станции 2000 г. **IC-F3GT/IC-F3GS** на диапазон 136–174 МГц и **IC-F4GT/IC-F4GS** на диапазон 400–520 МГц являются последними разработками в области профессиональных носимых радиостанций. Выпускаются две модификации на два основных диапазона частот 136–174/400–520 МГц; IC-F3GS/IC-F4GS – модификации с усеченной

клавиатурой на диапазоны 136–174/400–520 МГц.

Новые станции по сравнению с предыдущими моделями имеют меньшие габариты и массу, лучший внешний вид, большее количество каналов, в них применяют новые типы аккумуляторов с большой емкостью. Станции имеют большее количество подключаемых сигнальных модулей, увеличенные кнопки клавиатуры, больший дисплей с улучшенной читаемостью, более надежное крепление аккумулятора, новый тип антенн.

Новые радиостанции обеспечивают полную поддержку новых сервисных функций транкинговой системы SmarTrunk-II по расширенной спецификации OMNI, или также можно одновременно пользоваться в 1, 2, 3 или 5 разных системах. Для повышения скорости доступа в многоканальную систему применен новый механизм сканирования каналов. Станции изготовлены в соответствии с жесткими требованиями военного стандарта MIL-STD 810, что делает возможным их применение в самых тяжелых условиях эксплуатации.

Мобильные радиостанции **Kenwood TK760G/TK860G/TK768G/TK868G/TK762G/TK862G** (см. фото) работают в диапазонах частот 136–174, 403–430 и 450–520 МГц. Количество каналов и банков: TK760G/860G – 128 каналов (от 1x128к до 128x1к), TK768G/868G – 128 или 8 каналов (в зависимости от версии), TK762G/862G – 8 каналов. Выходная мощность станций 25 Вт, чувствительность (при 12 дБ SINAD) 0,25 мВ. Радиостанции работоспо-

собны в диапазоне температур от -30 до +60 °C, имеют габариты 140x40x170 мм, масса 1,1 кг.

Особенности станций:

– работают в SmarTrunk-II с дополнительной логической платой;

– оснащены многопозиционным сегментным ЖК-индикатором (кроме TK-762G/862G);

– поддерживают DTMF-сигнализацию;

– имеют компандер аудиосигнала;

– поддерживают разные полосы пропускания по ПЧ (широкая и узкая);

– обладают способностью хранения текстовой идентификационной информации;

– возможность дистанционной блокировки и разблокировки с помощью DTMF-кода;

– поддерживают 2-тоновую сигнализацию;

– обладают возможностью приложения кнопкам управления большого количества функций;

– имеют сертификат качества ISO9001;

– соответствуют американскому военному стандарту MIL-STD 810 C/D/E.

К сожалению, рамки публикации не позволяют рассказать обо всех новых радиостанциях: **Icom IC-F30GS/F40GS, F30GT/F40GT, Kenwood TK260G/360G, TK270G/370G, TK2107/3107** и многих других. Разумеется, заинтересованные читатели всегда могут получить квалифицированные консультации в специализированной фирме.



КОНЦЕРН АЛЕКС

СИСТЕМЫ ПРОФЕССИОНАЛЬНОЙ РАДИОСВЯЗИ

- КОНСУЛЬТАЦИИ
- ПРОЕКТИРОВАНИЕ
- ПОСТАВКА
- МОНТАЖ
- НАЛАДКА
- ГАРАНТИЯ

тел. (044) 246-46-46 (5 линий)
факс (044) 246-47-00
mail@alex-ua.com

CONCERN
ALEX

Спутниковый интернет у вас дома

(Продолжение. Начало см. в РА 10/2000)

Рассмотрим процессы инсталляции платы SkyStar1 и программного обеспечения под нее, а также реальные возможности, которые получает обладатель неограниченного доступа к ресурсам спутникового Интернета.

Прежде всего напомним системные требования к компьютеру, на который будет установлена плата SkyStar1. Процессор – Pentium 166 или выше; объем оперативной памяти минимум 32 Mb; 32 Mb свободного места на жестком диске; видеокарта, поддерживающая режим 800x600 High Color (16 бит), и звуковая карта, совместимая с Sound Blaster. Кроме того, необходим свободный слот шины PCI, куда собственно и будет установлена плата SkyStar1. Что касается различных операционных систем, то на сегодняшний день можно найти программное обеспечение SkyStar1 практически к любой из них. Для этого, например, можно посетить сайт <http://welcome.to/roks>.

Инсталляция платы SkyStar1 начинается с установки ее в свободный PCI слот. После включения компьютера и загрузки операционной системы (посмотрим вариант Windows'98 [95]) будет обнаружено новое Plug&Play устройство – PCI Multimedia Device. Для продолжения нажмите кнопку Далее, после чего от системы поступит предложение провести поиск наиболее свежего драйвера для устройства либо отобразить список всех драйверов, чтобы выбрать наиболее подходящий. Выбираем первый пункт (по умолчанию) и далее указываем системе дисковый накопитель, на котором находятся драйверы устройства. Очевидно, это будет устройство чтения компакт-дисков, при этом компакт-диск, входящий в комплект поставки вместе с платой SkyStar1, должен быть вставлен в компьютер. После непрерывного поиска на экран будет выведено сообщение о том, что все готово для установки драйвера данного устройства (TTDVB.INF в корневом каталоге компакт-диска). После успешного завершения установки программного обеспечения нажмите кнопку Готово.

Теперь необходимо провести запуск программы Setup.exe из корневого каталога компакт-диска. После ее запуска последует предложение определиться с языком дальнейшего общения (английский или немецкий). Далее подряд высвечиваются несколько окон, в результате будет определена директория расположения программы работы с платой SkyStar1 и название раздела в папке Программы главного меню. При этом можно принять установки, предлагаемые по умолчанию, используя кнопку Next для продолжения работы. После окончания установки программного обеспечения

последует просьба перезагрузить компьютер, что и необходимо сделать.

После перезагрузки нужно проверить корректность установки всех программных драйверов, для чего можно нажать правую кнопку мыши на иконке Мой компьютер и в контекстном меню выбрать пункт Свойства или в главном меню – пункт Настройка; далее – Панель управления и в ней открыть раздел Система. В пункте Звуковые, видео и игровые устройства должна появиться надпись Technisat SkyStar1 DVB, а в пункте Сетевые платы – Virtual DVB/IP NetWork Adapter (рис. 1).

Необходимо также проверить установку IP-адреса для Virtual DVB/IP NetWork Adapter. Для этого нужно щелкнуть на иконке Сетевое окружение правой кнопкой мыши и в открывшемся меню выбрать пункт Свойства или через главное меню: Пуск→Настройка→Панель управления→Сеть. В окне Свойства: TCP/IP нужно открыть закладку IP-адрес, поставить флашок на пункте Указать IP-адрес явным образом и установить IP-адрес – 192.168.2.xxx и маску подсети – 255.255.255.xxx.

После этого можно переходить к настройке программы DVB Data Services и Интернет обозревателя, для чего запустить программу DVB Data Services через главное меню: Пуск→Программы→SkyStar1→DVB Data Services.

Вначале настроить тюнер. Для этого в выветшившемся окне программы DVB Data Services необходимо выбрать закладку State/Tuner и в зоне Tuner Setting в строке Frequency (kHz) набрать частоту 12461000, а в строке Symbol rate (Sb/s) – 27500000. В разделе Polarization поставить флашок в окне H, как это показано на рис.2.

После установки этих параметров нажать кнопку Apply, программа проведет необходимую настройку и будут показаны величины уровня (Signal level) и качества (Signal quality) принимаемого сигнала.

Затем переходим к закладке Filter Option. Для настройки на 103-й транспондер необходимо отметить флашками пункты: decimal, Set multicast PIDs automatic и Calculate MAC address from the IP address of the dialup connection. После установки этих параметров нажать кнопку Apply и перейти к настройкам свойств web-обозревателя (для примера, Microsoft Internet

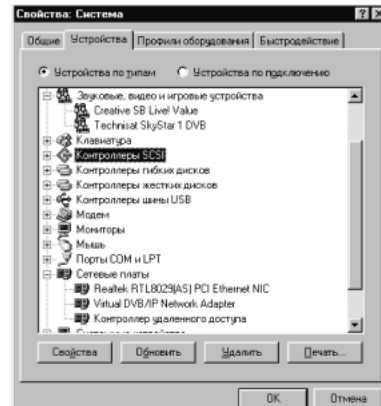


рис. 1

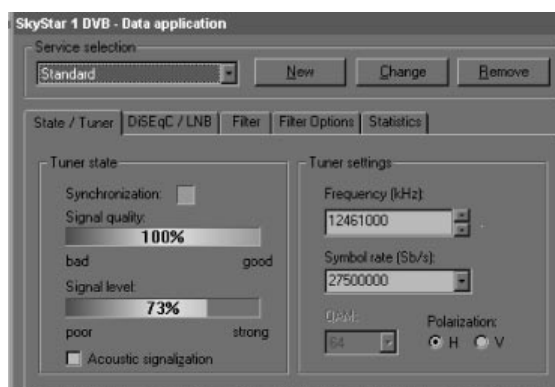


рис. 2

Explorer). В меню обозревателя нажать Сервис, выбрать раздел Свойства обозревателя и вкладку Подключение.

Необходимо прописать адрес прокси-сервера EON, для этого нажать кнопку Настройка сети..., отменить флашками пункты Автоматическое определение настроек и Использовать прокси-сервер, прописать адрес – 194.177.32.196, порт – 8080. Затем нажать кнопку Дополнительно и отметить опцию Один прокси-сервер для всех протоколов. Закрыть все окна обозревателя нажатием кнопки OK.

Теперь все готово для приема данных через спутник, остается только установить связь со своим наземным провайдером при загруженной программе DVB Data Services и ввести любой web-адрес.

В начале работы со спутниковым Интернетом появится окно, запрашивающее пользователя о логине и пароле на доступ к EON. Необходимо их ввести, при этом можно отметить пункт Сохранить пароль в списке паролей, чтобы избежать ввода логина и пароля каждый раз, когда нужно загрузить web-обозреватель. Кстати, скорость приема данных можно посмотреть, открыв вкладку Statistics в программе DVB Data Services.

(Продолжение следует)

Самодельное реле для коммутации антенных входов при приеме программ со спутников

Н. Черняев, пос. Березанка, Николаевская обл.

При использовании одновходовых аналогового и цифрового спутниковых тюнеров можно применить самодельное реле для коммутации антенных входов. Антенный сплиттер на F-разъемах освобождаем от внутренней начинки и закрепляем в его корпусе реле на 12 В, например РЭС-49. Соединяем выводы реле с выводами F-разъемов.

Один вывод обмотки реле соединяем с корпусом сплиттера, а второй выводим к тюнеру, имеющему управляющее напряжение 12 В. Сплиттер можно использовать с 4–6 F-разъемами. Такое устройство гораздо дешевле фирменных реле, а по качеству и надежности им не уступает.



СКТВ



Влияние кабельных выравнивателей на АЧХ магистральных сетей КТВ

Г.И.Постников, В.П.Шемчак, г. Киев

В статье рассмотрена одна из причин неравномерности амплитудно-частотной характеристики (АЧХ) коэффициента передачи магистральных сетей кабельного телевидения (КТВ) – несоответствие частотных характеристик затухания кабельных выравнивателей и магистрального кабеля.

Операторы сетей кабельного телевидения давно заметили, что амплитудно-частотная характеристика коэффициента передачи в магистральных сетях имеет большую неравномерность, чем та, которую они рассчитывали получить. Причин тому немало: плохое согласование, некачественное оборудование и материалы, непрофессиональный монтаж и т.д. Рассмотрим одну из главных, на наш взгляд, причин – несоответствие частотных характеристик затухания кабельных выравнива-

телей (КВ) и магистрального кабеля. Для этого оценим расчетную АЧХ магистральной сети и сравним полученные результаты с экспериментальными данными.

Вначале определим допустимое значение неравномерности АЧХ в сетях КТВ. В соответствии со стандартом CENELEC EN 50083 разность уровней несущих изображения в полосе частот 47–862 МГц на выходе любой абонентской розетки должна быть меньше 12 дБ. Это означает, что неравномерность АЧХ от выхода головной станции кабельного телевидения до входа в телевизионный приемник не должна превышать ± 6 дБ.

Магистральная сеть состоит из участков соединительного кабеля, частотно-независимых ответвителей и усилителей магистральных (УМ), имеющих в своем составе сменные модули КВ с рабочим затуханием на 3, 6, 9, 12, 15 и 18 дБ. Измерения (в лабораторных условиях и в действующих сетях кабельного телевидения) показывают, что собственная неравномерность АЧХ УМ лежит в пределах 0,5–1 дБ, а наибольшую неравномерность в АЧХ вносят КВ.

Назначение выравнивателей – коррекция частотной характеристики затухания длинных кабельных линий. Они, как правило, представляют собой Т-образные четы-

рехполюсники, затухание которых зависит от частоты по определенному закону. Выравниватели не должны вносить рассогласования, поэтому схемы выравнивателей строят так, чтобы их входное и выходное сопротивления не зависели от частоты.

На **рис.1** показана принципиальная схема простейшего КВ, а на **рис.2** – его АЧХ, где K_{nKh} – АЧХ кабеля; A_{nKh} – АЧХ выравнивателя; B_{nKh} – суммарная АЧХ кабеля и выравнивателя; A_0 – затухание выравнивателя при $F=0$; A_n – рабочее затухание выравнивателя; K_n , K_h – затухание кабеля соответственно на нижней F_n и верхней частоте F_h рассматриваемого диапазона; K_h-K_n – наклон АЧХ кабеля.

Рассчитаем коэффициент затухания и элементы принципиальной схемы КВ, взяв за основу методику [1]. Коэффициент затухания КВ на текущей круговой частоте w_i

$$A_i = 10 \lg [(a_0 - 1)/(x_i^2 + 1) + 1],$$

$$\text{где } x_i = \omega_i(\omega_h^2 - \omega_n^2)x_n/w_n(\omega_h^2 - \omega_i^2);$$

$$x_n = [(a_0 - a_n)/(a_n - 1)]^{1/2}, a_{0(n)} = 10^{0,1 A_{0(n)}}.$$

Элементы принципиальной схемы **рис.1**:

$$L_1 = R_0 \omega_0^{1/2} (1 - 1/x_n(\omega_h^2 - \omega_n^2));$$

$$C_1 = 1/\omega_h^2 L_1; L_2 = R_0^2 / \omega_h^2 L_1;$$

$$C_2 = 1/\omega_h^2 L_2;$$

$$R_1 = R_0(a_0^{1/2} - 1)/(a_0^{1/2} + 1);$$

$$R_2 = 2R_0 a_0^{1/2} / (a_0 - 1).$$

На **рис.2** видно, что АЧХ КВ при любом значении A_0 проходит через три точки: A_0 , A_n , F_h . Чем больше A_0 , тем больше кривизна линии между точками A_n и F_h . Вид АЧХ между точками A_n и F_h должен быть такой, чтобы суммарная АЧХ КВ и кабеля была как можно, ближе к прямой B_{nKh} . Как видно из расчетных формул, параметром, однозначно определяющим вид АЧХ КВ и соответственно номиналы элементов его принципиальной схемы, является A_0 . Изменяя A_0 , можно найти такую величину, при которой неравномерность суммарной АЧХ КВ и магистрального кабеля будет минимальной.

Искомое значение A_0 приблизительно можно определить по формуле

$$A_0 \approx A_n [F_h/(F_h - F_n)]^{1/2}.$$

Для полосы частот 47–862 МГц $A_0 \approx 1,0284 A_n$. Более точно A_0 можно найти с помощью функции "Поиск решения", входящей в стандартный набор программного пакета MS Excel-97. Критерием поиска решения является минимизация среднеквадратического отклонения суммарной АЧХ КВ и кабеля от прямой B_{nKh} .

На **рис.3** показаны: 1 – АЧХ кабеля ComScope-540 длиной 355,5 м; 2 – АЧХ КВ с рабочим затуханием $A_n = 18$ дБ; 3 – суммарная АЧХ КВ и кабеля.

Рассчитанная неравномерность суммарной АЧХ КВ и кабеля составляет $\pm 1,2$ дБ

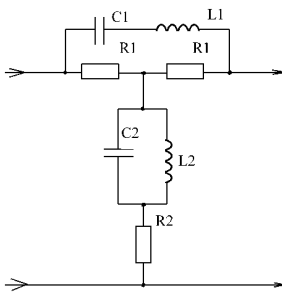


рис. 1

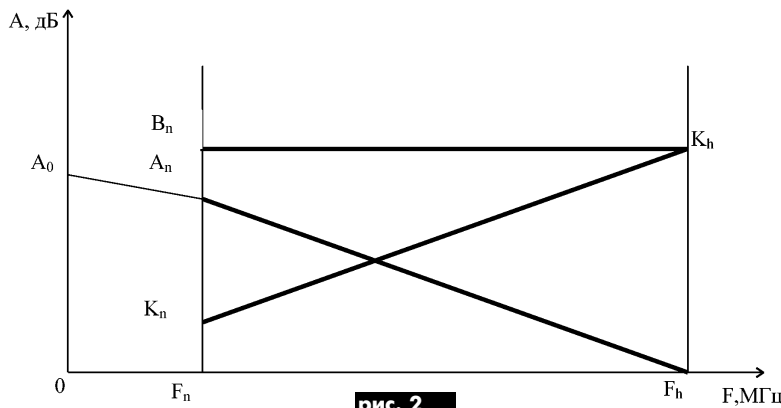


рис. 2

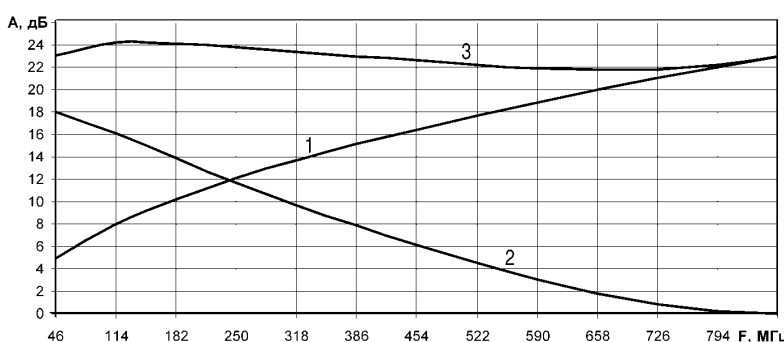


рис. 3



при $A_0=18,46$ дБ.

В лабораторных условиях измерена АЧХ четырех каскадно-включенных УМ. В качестве магистрального использовался кабель Trilogy-1100 (200 и 80 м) и CommScope-F1160BV (300 м). Суммарный наклон АЧХ кабеля 57 дБ.

В качестве УМ испытаны четыре группы по четыре усилителя от ведущих фирм производителей оборудования для систем КТВ. Все УМ и соединительные кабели предварительно проверяли. Неравномерность АЧХ каждого УМ в отдельности не превышала $\pm 0,5$ дБ.

На **рис.4** в качестве примера показаны: 1 – расчетная АЧХ четырех каскадно-включенных УМ; 2 – измеренная АЧХ при использовании штатного КВ; 3 – измеренная АЧХ доработанного КВ с улучшенными характеристиками. Доработку КВ проводила фирма-производитель оборудования.

Из рис.4 следует, что расчетная АЧХ (даже с применением простых выравнивателей) значительно лучше экспериментально измеренной со штатными КВ: неравномерность АЧХ расчетная ± 3 дБ, измеренная $+5$ и -4 дБ. Кроме этого, характеристика имеет завал как в области низких, так и в области высоких частот.

Неравномерность АЧХ с доработанными КВ лучше расчетной и составляет $\pm 2,3$ дБ. Измерения неравномерности АЧХ остальных групп усилителей проводили со штатными КВ, при этом неравномерность составила ± 5 дБ.

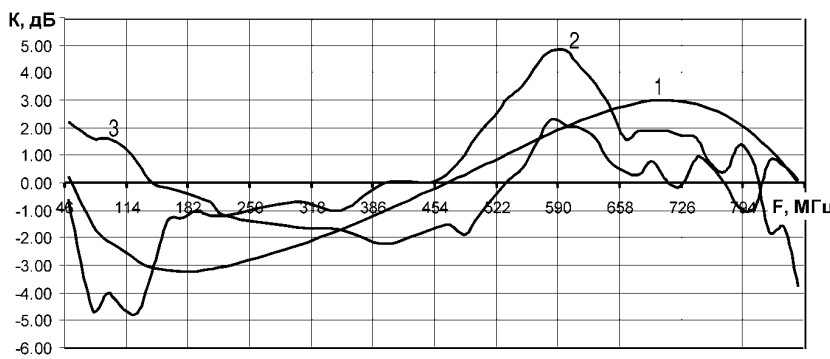


рис. 4

Выводы

1. АЧХ КВ вносит существенный вклад в неравномерность АЧХ магистральной сети.

2. Не все производители оборудования для сетей КТВ уделяют должное внимание расчету параметров, изготовлению и настройке модулей КВ.

3. В широкополосных сетях КТВ (47–862 МГц) фактором, ограничивающим длину магистрали, может стать неравномерность АЧХ.

4. Длину магистрали определяет максимально допустимый суммарный наклон АЧХ магистрального кабеля на рабочих частотах. По нашим расчетам, если не применять специальных мер по улучшению равномерности АЧХ, максимальный наклон в магистральной сети составляет ориентировочно 106–108 дБ. Это соответствует 6 каскадам УМ при рабочем затухании КВ 18 дБ. Применяя в УМ вы-

сококачественные КВ, можно увеличить количество каскадов до 10–12.

5. При проектировании сетей КТВ необходимо стремиться к уменьшению числа каскадов, применяя магистральный кабель с меньшим погонным затуханием и КВ с рабочим затуханием не менее 15 дБ.

6. Для компенсации потерь в магистральном кабеле и КВ коэффициент усиления УМ должен быть не менее 25 дБ (см. рис.3), а с учетом потерь в кабеле при его старении – более 27 дБ.

Литература

1. Иванча Н. Н. Инженерный расчет частотных кабельных эквалайзеров// Техника кино и телевидения.– 1999.– №2.
2. Песков С. Н. Кабельные эквалайзеры// Радиоаматор.– 2000.– №8. С.50–51.

Радиовещанию – 80 лет

2 ноября 1920 г. в эфир вышла первая в мире радиовещательная станция KDKA в г.Питтсбурге (США), которая начала регулярные радиопередачи для населения. Таким образом, привычному нам всем радиовещанию исполнилось 80 лет.

К тому времени прошло уже 25 лет от изобретения радио А.С.Поповым и Г.Маркони. В первые годы радио завоевало себе место главным образом в морском флоте, где иная связь была просто невозможна. Эфир заполнился писком морячки, поскольку связь велась только в телеграфном режиме. В тот рождественский вечер 1906 г. операторы кораблей и береговых постов на побережье Новой Англии (США) вели обычную работу в эфире, усердно работая ключами. Вдруг посреди точек и тире кода Морзе в наушниках операторов зазвучали звуки скрипки, а затем приятный мужской голос пожелал всем счастливого Рождества. Операторы испытали просто религиозное потрясение, поскольку подумали, что эта радиопередача велась прямо с неба.

Этот голос принадлежал Реджинальду Фессендену (1866–1932) инженеру и изобретателю, впервые сконструировавшему аппаратуру для передачи в эфир музыкальных и голосовых сигналов. В этом же 1906 г. Ли де Форест изобрел радиолампу – триод, с помощью которой можно усиливать широкополосные звуковые сигналы. Благодаря этому начали появляться первые радиолюбители, которые постепенно усовершенствовали приемную и передающую аппаратуру и стали регулярно связываться между собой.

Но для большинства людей это все казалось забавой, не имеющей практического значения.

Развитие радиолюбительства привело к тому, что уже перед первой мировой войной некоторые из радиолюбителей пробовали передавать в эфир новости, музыкальные передачи и даже интервью со знаменитостями. Но слушать все это могли лишь немногие другие радиолюбители. Возникшие в то время радиокорпорации уловили необходимость серийного выпуска радиоприемников для того, чтобы желающие могли послушать музыку и новости, которые передавали время от времени радиолюбители, имеющие передатчики.

Когда окончилась мировая война, инженер и предприниматель Дж.Вестингауз, основавший компанию по производству радиоаппаратуры, задумался над вопросом, как увеличить производство радиоприемников. Его гениальная идея состояла в том, что для увеличения производства радиоприемников нужно поднять интерес населения к этой аппаратуре. А чтобы населению было интересно, нужны не случайные передачи любителей без определенной программы и расписания работы, а коммерческие радиостанции, имеющие строгий график выхода в эфир, регулярно передающие новости и даже работающие по заказам населения.

Вестингауз обратился к своему другу доктору Френку Конраду (**см. фото**), который был известным радиолюбителем в Питтсбурге. Конрад регулярно передавал в эфир для своих друзей популярную музыку. Поэтому Вестингауз дал Конраду средства для построения ком-

мерической радиостанции. Идея увлекла Конрада, и в течение 1920 г. радиостанция была создана. Выход в эфир 2 ноября был не случайным, как раз в это время в США проходили президентские выборы, и Конрад объявил по радио их результат гораздо раньше того, как это сделали газеты.

Штат первой коммерческой радиостанции KDKA состоял всего из четырех человек. Но сама идея коммерческого радиовещания имела бешеный успех. Во всем мире началась настоящая лихорадка построения таких радиостанций. Уже через 4 года в мире было более 500 коммерческих радиостанций. Население миллионами покупало радиоприемники (что собственно Вестингаузу и было нужно).

В 1923 г. вышла в эфир первая в Советской России радиостанция им.Коминтерна. А 16 ноября 1924 г. начались радиопередачи первой в Украине широковещательной радиостанции в г.Харькове. Этот день теперь является Днем Радио в Украине.



3-я МЕЖДУНАРОДНА ВЫСТАВКА ЭЛЕКТРОННЫХ КОМПОНЕНТОВ И КОМПЛЕКТУЮЩИХ "МИР ЭЛЕКТРОНИКИ - 2000"

А. Л. Кульский, г. Киев

Проходившая в Киеве 3-я Международная выставка электронных компонентов и комплектующих "Мир электроники - 2000" произвела на зрителей большое и очень благоприятное впечатление.

Не станет скрывать, для значительного числа посетителей эта выставка стала неожиданностью. Потому что наглядно продемонстрировала, что за последние три-пять лет полностью изменилась идеология при выборе комплектующих для разработки и производства электронных приборов и систем. Ее основа - полный отказ от ориентации только на отечественные электронные компоненты. Сегодня стала доступной самая современная продукция лучших мировых производителей.

Фирма СЭА предлагает большой выбор самого современного паяльного оборудования (в том числе и для монтажа на поверхность), ультраяркие светодиоды фирмы HEWLETT PACKARD самых различных конструктивных оформлений, цвета свечения (от инфракрасного до синего) и диаграммы направленности. Что касается такого неотъемлемого атрибута современной аппаратуры, как графические и знаковые индикаторы, то их предлагается 79 разновидностей. Здесь же, на стенде фирмы СЭА, можно было увидеть современную измерительную технику. В частности, осциллографы фирмы TEKTRONIX, в том числе и ручные носимые серии THS, имеющие полосу пропускания до 200 МГц. Аналогово-цифровые осциллографы фирмы HAMEG, сочетающие в себе возможности измерительного прибора и персонального компьютера. Уникальные малогабаритные спектроанализаторы (3066/3086), цифровые мультиметры и многое другое.

Известные киевские предприятия "Квазар - ИС" и КО "Кристалл" продемонстрировали свою продукцию в стандарте SMD, т.е. предназначенну для поверхностного монтажа. Так, широко известные и очень популярные серии стабилизаторов типа KC133 - KC182, KC212 - KC233 теперь выпускают в корпусе КТ-46А (SOT-23), как и кремниевые вариакапы KB121 - KB122. Это же относится к диодам Шоттки, полевым малошумящим транзисторам и т.д. Что касается аналоговых микросхем, то вполне достойно выглядят (для некоторых областей применений) такие ОУ, как K140УД25, K140УД26, KР1435УД3 и т. п.

Вообще, невиданный бум вот уже несколько лет продолжается в производстве компонентов для поверхностного монтажа. Резкое сокращение массогабаритных характеристик аппаратуры, очевидное улучшение АЧХ, автоматическая высокоскоростная сборка - вот далеко не полный перечень возможностей, которые принесли с собой SMD- компоненты.

И тем не менее традиционный монтаж в отверстия печатной платы пока что держит свои позиции. Правда, для этого традиционным компонентам пришлось существенно преобразиться. В частности, традиционные для промышленно-бытовой и специальной аппаратуры резисторы типа С2-23-0,125 сейчас быстро вытесняют новые типы резисторов, габариты которых сокращены вдвое при той же мощности рассеяния. Памятные многим радиолюбителям и профессионалам высокочастотные дроссели типа ДМ заменяют совершенно новыми, габариты которых втрое меньше.

Существенно возрастает выпуск устройств, использующих кварцевые резонаторы - это и малогабаритные высокостабильные (класса 7) и ультрастабильные (класса 8 и 9) кварцевые генераторы, разнообразные по параметрам частотно-зависимые фильтры и пр. Одно из старейших в России предприятий (основанный еще 150 лет назад в Санкт-Петербурге) завод МОРИОН представил кварцевые генераторы, управляемые напряжением.

Но, конечно же, продукция TEXAS INSTRUMENTS (микроконтроллеры MSP 430), а также микросхемы системы ФАПЧ, или устройство адресного кодирования для платного видеодомофона фирмы TECHNETIX, предназначенные для микроволновой связи и спутникового приема, и еще сотни других великолепных устройств - все это пока не имеет достойных конкурентов в СНГ.

Поэтому основа для перспективной электронной техники, разрабатываемой в Украине, это прежде всего широкое применение электронных компонентов и комплектующих лучших мировых производителей, т. е. американских, японских, европейских.

Но при этом не стоит игнорировать те отдельные удачные типы комплектующих, которые производят в СНГ. В целом выставка продемонстрировала, с какой компонентной базой мировая электроника входит в третье тысячелетие.

Абрам Федорович Иоффе
(к 120-летию со дня рождения)

Во всем мире Абрама Федоровича Иоффе называли "папой полупроводников". Еще в 1931 г. он опубликовал статью с пророческим названием "Полупроводники - новый материал электротехники". В то время даже терминов таких не было: "физика полупроводников", "класс полупроводников". Физики, изучавшие свойства полупроводников, жаловались, что не повторяются результаты измерений, что вещества очень "капризные". Иоффе впервые выдвинул положение, что "капризы" - сильная реакция на незначительные примеси - могут быть главным достоинством полупроводников. Вместе с учениками Иоффе провел ряд блестящих исследований в области полупроводников, которые открыли путь исследованиям и внедрению нового класса электронных приборов во всем мире.

Абрам Федорович Иоффе родился 29 октября 1880 г. в г. Ромны бывшей Полтавской губернии в семье финансового служащего. Окончив Роменское реальное училище (гимназии в городе не было), Иоффе поступает в Технологический институт в Петербурге. После окончания института в 1902 г. по рекомендации профессоров Иоффе едет в Мюнхен к самому Рентгену. У Рентгена он прошел такую школу физического эксперимента, о которой можно только мечтать. Иоффе сделал у Рентгена значительное исследование по упругому последействию кварца, за которое Мюнхенский университет присвоил ему докторскую степень с высшим отличием. Дружеские отношения с Рентгена Иоффе сохранил до самой смерти учителя.

В России Иоффе пришлось еще раз защищать докторскую диссертацию, без этого тогда нельзя было стать профессором и читать лекции студентам. За ряд блестящих исследований в 1918 г. Иоффе избран членом-корреспондентом Академии наук. Он стал директором Ленинградского физико-технического института и проявил себя как блестящий организатор науки. Иоффе хорошо чувствовал направление развития науки и перспективность разных направлений. Всегда имел свою точку зрения и не поддавался конъюнктурным обстоятельствам.

Количество его учеников колоссально. Большинство академиков-физиков прошло школу Иоффе. Достаточно назвать такие имена, как Калица, Курчатов, Аричимович, Кикоин, Ландau, Френкель, Семенов, Кондратьев. Иоффе никогда не ущемлял индивидуальности ученого, не торопил, всеми способами старался воспитать творческую активность, хотели и осознавали, что ошибки неизбежны. "Лучше десять неверных идей, чем вообще ни одной" - говорил он. Абрам Федорович с энтузиазмом поддерживал и такие идеи, которые представлялись не очень реальными, порой даже фантастическими.

Одним из мощных инструментов воспитания молодых ученых были знаменитые семинары Иоффе. На них приезжали крупные физики из разных городов страны. Иностранные ученые, находясь в СССР, всегда были гостями и участниками этих семинаров. Нильс Бор, Поль Ланжевен, Фредерик Жолио-Кюри, Поль Дирак, Вильям Брэйт и многие другие участвовали в семинарах Иоффе.

Ученые Иоффе основывали новые институты (всего их было основано 16) в других городах. Иоффе приезжал в эти города вместе с учениками, каждого человека представляя, следил, как они живут, работают, заботились, чтобы на новом месте их не обходили, не обижали.

Абрам Федорович Иоффе умер 14 октября 1960 г., не дожив двух недель до предполагаемого юбилея - 80-летия. Умер этот удивительный человек, находясь на своем рабочем месте. Имя великого ученого пользовалось широкой известностью и уважением во всем мире. Он был почетным членом восьми иностранных академий наук, почетным доктором пяти университетов мира.

Л. Подопригора, г. Киев

